Ein und Ausgabe: Farbmetrisches Drucker-Reflektiv-System ORS19_96a für relativen CIELAB-Buntton $h^* = lab^*h^* = h_{ab}/360 = 162/360 = 0.451$ $u^* = g00b$

Daten für jede Farbe:
lab^*tch^* und lab^*icu^*
Elementar-Buntontext:
$u^* = g00b$
Kontrastreduzierungsfaktor:
$c_R = 1.0$
Dreiecks-Helligkeit t^*

Daten für Maximalfarbe (Ma):
$LAB^*LAB^*_{Ma}$: 53 −64 21
$LAB^*LCH^*_{Ma}$: 53 69 162
$lab^*rgb^*_{Ma}$: 0.0 1.0 0.0
$lab^*olv^*_{Ma}$: 0.0 1.0 0.0
Dreiecks-Helligkeit t^*

%Umfang $u^*_{rel} = 89$
%Regularität $g^*_{R,rel} = 72$ $g^*_{C,rel} = 57$

ORS19_96a; adaptierte CIELAB-Daten

	$L^*=L^*_a$	a^*_a	b^*_a	$C^*_{ab,a}$	$h^*_{ab,a}$
O_{Ma}	48.75	65.07	39.43	76.08	31
Y_{Ma}	90.92	−10.28	87.24	87.85	97
L_{Ma}	52.69	−65.43	20.75	68.65	162
C_{Ma}	59.61	−28.97	−46.21	54.56	238
V_{Ma}	28.39	23.63	−44.12	50.06	298
M_{Ma}	49.58	73.93	−9.55	74.55	353
N_{Ma}	18.89	0.0	0.0	0.0	0
W_{Ma}	96.9	0.0	0.0	0.0	0
R_{CIE}	39.92	58.74	27.99	65.07	25
J_{CIE}	81.26	−2.88	71.56	71.62	92
G_{CIE}	52.23	−42.41	13.6	44.55	162
B_{CIE}	30.57	1.41	−46.46	46.49	272

	$L^*=L^*_a$	a^*_a	b^*_a	$C^*_{ab,a}$	$h^*_{ab,a}$
r00	48.88	66.47	31.67	73.63	25
r25	55.85	52.39	47.48	70.7	42
r50	65.45	35.22	58.37	68.17	59
r75	75.19	17.82	69.41	71.66	76
g00	87.03	−3.34	82.83	82.9	92
g25	80.72	−25.0	69.5	73.86	110
g50	70.64	−39.53	51.97	65.3	127
g75	61.93	−52.09	36.83	63.8	145
g00b	52.8	−65.27	20.93	68.56	162
g25b	55.7	−49.57	−8.38	50.28	190
g50b	57.82	−38.39	−28.91	48.07	217
g75b	55.5	−22.04	−45.94	50.97	244
b00r	41.6	1.37	−45.0	45.03	272
b25r	29.0	25.08	−43.12	49.89	300
b50r	38.04	46.53	−28.38	54.51	329
b75r	49.48	72.88	−3.75	72.98	357

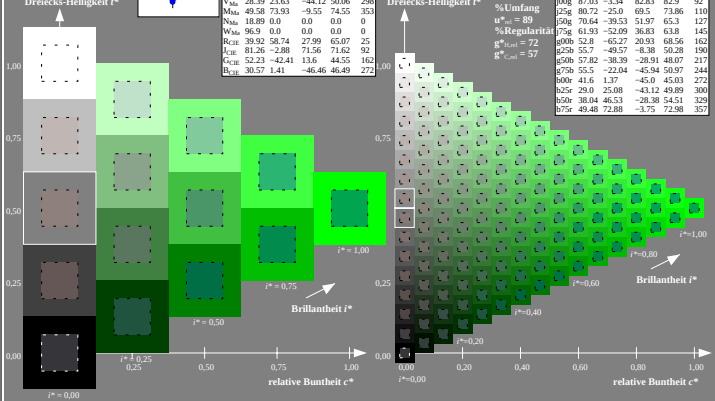

Ein und Ausgabe: Farbmetrisches Drucker-Reflektiv-System ORS19_96a für relativen CIELAB-Buntton $h^* = lab^*h^* = h_{ab}/360 = 190/360 = 0.527$ $u^* = g25b$

Daten für jede Farbe:
lab^*tch^* und lab^*icu^*
Elementar-Buntontext:
$u^* = g25b$
Kontrastreduzierungsfaktor:
$c_R = 1.0$
Dreiecks-Helligkeit t^*

Daten für Maximalfarbe (Ma):
$LAB^*LAB^*_{Ma}$: 56 −49 −7
$LAB^*LCH^*_{Ma}$: 56 50 190
$lab^*rgb^*_{Ma}$: 0.0 1.0 0.5
$lab^*olv^*_{Ma}$: 0.0 1.0 0.44
Dreiecks-Helligkeit t^*

%Umfang $u^*_{rel} = 89$
%Regularität $g^*_{R,rel} = 72$ $g^*_{C,rel} = 57$

ORS19_96a; adaptierte CIELAB-Daten

	$L^=L^*_a$	a^*_a	b^*_a	$C^*_{ab,a}$	$h^*_{ab,a}$
O_{Ma}	48.75	65.07	39.43	76.08	31
Y_{Ma}	90.92	−10.28	87.24	87.85	97
L_{Ma}	52.69	−65.43	20.75	68.65	162
C_{Ma}	59.61	−28.97	−46.21	54.56	238
V_{Ma}	28.39	23.63	−44.12	50.06	298
M_{Ma}	49.58	73.93	−9.55	74.55	353
N_{Ma}	18.89	0.0	0.0	0.0	0
W_{Ma}	96.9	0.0	0.0	0.0	0
R_{CIE}	39.92	58.74	27.99	65.07	25
J_{CIE}	81.26	−2.88	71.56	71.62	92
G_{CIE}	52.23	−42.41	13.6	44.55	162
B_{CIE}	30.57	1.41	−46.46	46.49	272

	$L^=L^*_a$	a^*_a	b^*_a	$C^*_{ab,a}$	$h^*_{ab,a}$
r00	48.88	66.47	31.67	73.63	25
r25	55.85	52.39	47.48	70.7	42
r50	65.45	35.22	58.37	68.17	59
r75	75.19	17.82	69.41	71.66	76
g00	87.03	−3.34	82.83	82.9	92
g25	80.72	−25.0	69.5	73.86	110
g50	70.64	−39.53	51.97	65.3	127
g75	61.93	−52.09	36.83	63.8	145
g00b	52.8	−65.27	20.93	68.56	162
g25b	55.7	−49.57	−8.38	50.28	190
g50b	57.82	−38.39	−28.91	48.07	217
g75b	55.5	−22.04	−45.94	50.97	244
b00r	41.6	1.37	−45.0	45.03	272
b25r	29.0	25.08	−43.12	49.89	300
b50r	38.04	46.53	−28.38	54.51	329
b75r	49.48	72.88	−3.75	72.98	357

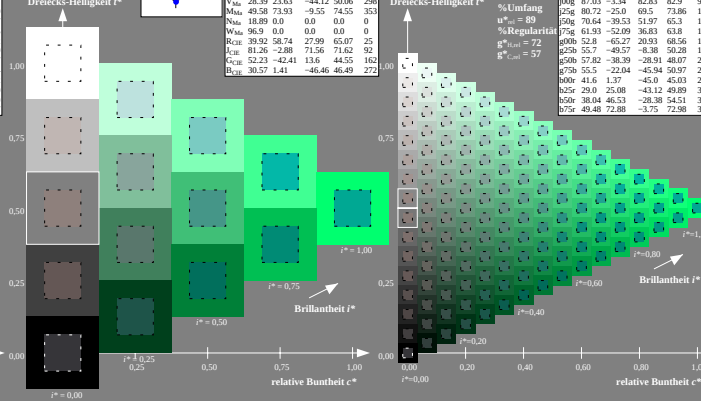

Ein und Ausgabe: Farbmetrisches Drucker-Reflektiv-System ORS19_96a für relativen CIELAB-Buntton $h^* = lab^*h^* = h_{ab}/360 = 217/360 = 0.603$ $u^* = g50b$

Daten für jede Farbe:
lab^*tch^* und lab^*icu^*
Elementar-Buntontext:
$u^* = g50b$
Kontrastreduzierungsfaktor:
$c_R = 1.0$
Dreiecks-Helligkeit t^*

Daten für Maximalfarbe (Ma):
$LAB^*LAB^*_{Ma}$: 58 −37 −28
$LAB^*LCH^*_{Ma}$: 58 48 217
$lab^*rgb^*_{Ma}$: 0.0 1.0 0.74
$lab^*olv^*_{Ma}$: 0.0 1.0 0.74
Dreiecks-Helligkeit t^*

%Umfang $u^*_{rel} = 89$
%Regularität $g^*_{R,rel} = 72$ $g^*_{C,rel} = 57$

ORS19_96a; adaptierte CIELAB-Daten

	$L^=L^*_a$	a^*_a	b^*_a	$C^*_{ab,a}$	$h^*_{ab,a}$
O_{Ma}	48.75	65.07	39.43	76.08	31
Y_{Ma}	90.92	−10.28	87.24	87.85	97
L_{Ma}	52.69	−65.43	20.75	68.65	162
C_{Ma}	59.61	−28.97	−46.21	54.56	238
V_{Ma}	28.39	23.63	−44.12	50.06	298
M_{Ma}	49.58	73.93	−9.55	74.55	353
N_{Ma}	18.89	0.0	0.0	0.0	0
W_{Ma}	96.9	0.0	0.0	0.0	0
R_{CIE}	39.92	58.74	27.99	65.07	25
J_{CIE}	81.26	−2.88	71.56	71.62	92
G_{CIE}	52.23	−42.41	13.6	44.55	162
B_{CIE}	30.57	1.41	−46.46	46.49	272

	$L^=L^*_a$	a^*_a	b^*_a	$C^*_{ab,a}$	$h^*_{ab,a}$
r00	48.88	66.47	31.67	73.63	25
r25	55.85	52.39	47.48	70.7	42
r50	65.45	35.22	58.37	68.17	59
r75	75.19	17.82	69.41	71.66	76
g00	87.03	−3.34	82.83	82.9	92
g25	80.72	−25.0	69.5	73.86	110
g50	70.64	−39.53	51.97	65.3	127
g75	61.93	−52.09	36.83	63.8	145
g00b	52.8	−65.27	20.93	68.56	162
g25b	55.7	−49.57	−8.38	50.28	190
g50b	57.82	−38.39	−28.91	48.07	217
g75b	55.5	−22.04	−45.94	50.97	244
b00r	41.6	1.37	−45.0	45.03	272
b25r	29.0	25.08	−43.12	49.89	300
b50r	38.04	46.53	−28.38	54.51	329
b75r	49.48	72.88	−3.75	72.98	357

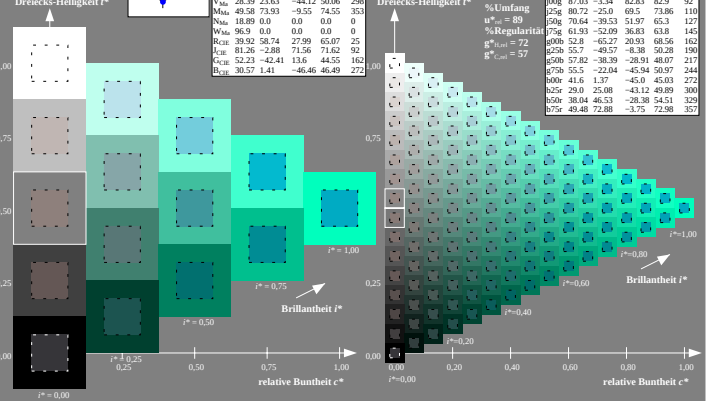

Ein und Ausgabe: Farbmetrisches Drucker-Reflektiv-System ORS19_96a für relativen CIELAB-Buntton $h^* = lab^*h^* = h_{ab}/360 = 244/360 = 0.679$ $u^* = g75b$

Daten für jede Farbe:
lab^*tch^* und lab^*icu^*
Elementar-Buntontext:
$u^* = g75b$
Kontrastreduzierungsfaktor:
$c_R = 1.0$
Dreiecks-Helligkeit t^*

Daten für Maximalfarbe (Ma):
$LAB^*LAB^*_{Ma}$: 55 −21 −45
$LAB^*LCH^*_{Ma}$: 55 51 244
$lab^*rgb^*_{Ma}$: 0.0 0.5 1.0
$lab^*olv^*_{Ma}$: 0.0 0.87 1.0
Dreiecks-Helligkeit t^*

%Umfang $u^*_{rel} = 89$
%Regularität $g^*_{R,rel} = 72$ $g^*_{C,rel} = 57$

ORS19_96a; adaptierte CIELAB-Daten

	$L^=L^*_a$	a^*_a	b^*_a	$C^*_{ab,a}$	$h^*_{ab,a}$
O_{Ma}	48.75	65.07	39.43	76.08	31
Y_{Ma}	90.92	−10.28	87.24	87.85	97
L_{Ma}	52.69	−65.43	20.75	68.65	162
C_{Ma}	59.61	−28.97	−46.21	54.56	238
V_{Ma}	28.39	23.63	−44.12	50.06	298
M_{Ma}	49.58	73.93	−9.55	74.55	353
N_{Ma}	18.89	0.0	0.0	0.0	0
W_{Ma}	96.9	0.0	0.0	0.0	0
R_{CIE}	39.92	58.74	27.99	65.07	25
J_{CIE}	81.26	−2.88	71.56	71.62	92
G_{CIE}	52.23	−42.41	13.6	44.55	162
B_{CIE}	30.57	1.41	−46.46	46.49	272

	$L^=L^*_a$	a^*_a	b^*_a	$C^*_{ab,a}$	$h^*_{ab,a}$
r00	48.88	66.47	31.67	73.63	25
r25	55.85	52.39	47.48	70.7	42
r50	65.45	35.22	58.37	68.17	59
r75	75.19	17.82	69.41	71.66	76
g00	87.03	−3.34	82.83	82.9	92
g25	80.72	−25.0	69.5	73.86	110
g50	70.64	−39.53	51.97	65.3	127
g75	61.93	−52.09	36.83	63.8	145
g00b	52.8	−65.27	20.93	68.56	162
g25b	55.7	−49.57	−8.38	50.28	190
g50b	57.82	−38.39	−28.91	48.07	217
g75b	55.5	−22.04	−45.94	50.97	244
b00r	41.6	1.37	−45.0	45.03	272
b25r	29.0	25.08	−43.12	49.89	300
b50r	38.04	46.53	−28.38	54.51	329
b75r	49.48	72.88	−3.75	72.98	357

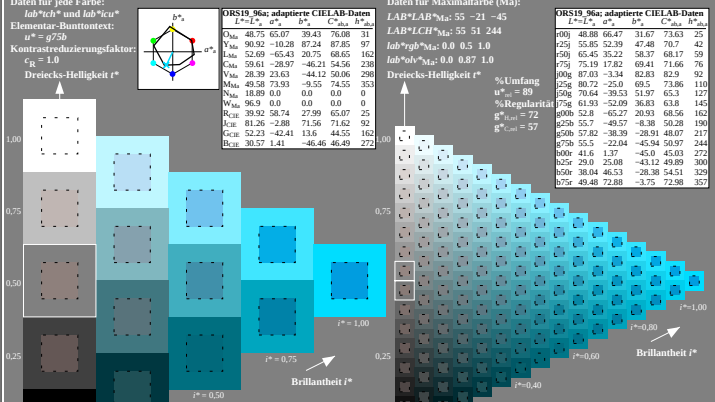

Ein und Ausgabe: Farbmetrisches Drucker-Reflektiv-System ORS19_96a für relativen CIELAB-Buntton $h^* = lab^*h^* = h_{ab}/360 = 272/360 = 0.755$ $u^* = b00r$

Daten für jede Farbe:
lab^*tch^* und lab^*icu^*
Elementar-Buntontext:
$u^* = b00r$
Kontrastreduzierungsfaktor:
$c_R = 1.0$
Dreiecks-Helligkeit t^*

Daten für Maximalfarbe (Ma):
$LAB^*LAB^*_{Ma}$: 42 1 −44
$LAB^*LCH^*_{Ma}$: 42 45 272
$lab^*rgb^*_{Ma}$: 0.0 0.0 1.0
$lab^*olv^*_{Ma}$: 0.0 0.42 1.0
Dreiecks-Helligkeit t^*

%Umfang $u^*_{rel} = 89$
%Regularität $g^*_{R,rel} = 72$ $g^*_{C,rel} = 57$

ORS19_96a; adaptierte CIELAB-Daten

	$L^=L^*_a$	a^*_a	b^*_a	$C^*_{ab,a}$	$h^*_{ab,a}$
O_{Ma}	48.75	65.07	39.43	76.08	31
Y_{Ma}	90.92	−10.28	87.24	87.85	97
L_{Ma}	52.69	−65.43	20.75	68.65	162
C_{Ma}	59.61	−28.97	−46.21	54.56	238
V_{Ma}	28.39	23.63	−44.12	50.06	298
M_{Ma}	49.58	73.93	−9.55	74.55	353
N_{Ma}	18.89	0.0	0.0	0.0	0
W_{Ma}	96.9	0.0	0.0	0.0	0
R_{CIE}	39.92	58.74	27.99	65.07	25
J_{CIE}	81.26	−2.88	71.56	71.62	92
G_{CIE}	52.23	−42.41	13.6	44.55	162
B_{CIE}	30.57	1.41	−46.46	46.49	272

	$L^=L^*_a$	a^*_a	b^*_a	$C^*_{ab,a}$	$h^*_{ab,a}$
r00	48.88	66.47	31.67	73.63	25
r25	55.85	52.39	47.48	70.7	42
r50	65.45	35.22	58.37	68.17	59
r75	75.19	17.82	69.41	71.66	76
g00	87.03	−3.34	82.83	82.9	92
g25	80.72	−25.0	69.5	73.86	110
g50	70.64	−39.53	51.97	65.3	127
g75	61.93	−52.09	36.83	63.8	145
g00b	52.8	−65.27	20.93	68.56	162
g25b	55.7	−49.57	−8.38	50.28	190
g50b	57.82	−38.39	−28.91	48.07	217
g75b	55.5	−22.04	−45.94	50.97	244
b00r	41.6	1.37	−45.0	45.03	272
b25r	29.0	25.08	−43.12	49.89	300
b50r	38.04	46.53	−28.38	54.51	329
b75r	49.48	72.88	−3.75	72.98	357

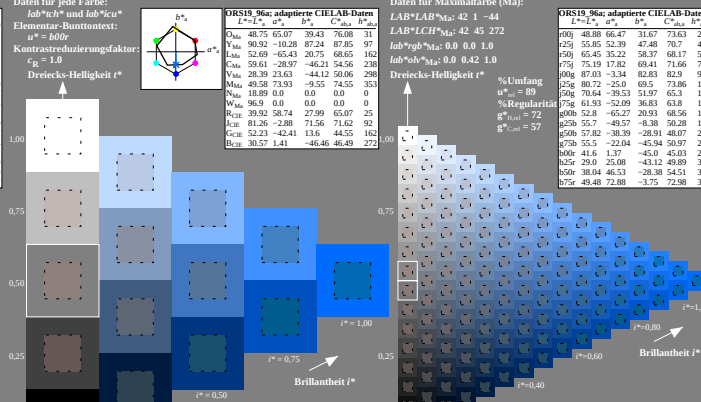

Ein und Ausgabe: Farbmetrisches Drucker-Reflektiv-System ORS19_96a für relativen CIELAB-Buntton $h^* = lab^*h^* = h_{ab}/360 = 300/360 = 0.834$ $u^* = b25r$

Daten für jede Farbe:
lab^*tch^* und lab^*icu^*
Elementar-Buntontext:
$u^* = b25r$
Kontrastreduzierungsfaktor:
$c_R = 1.0$
Dreiecks-Helligkeit t^*

Daten für Maximalfarbe (Ma):
$LAB^*LAB^*_{Ma}$: 29 25 −42
$LAB^*LCH^*_{Ma}$: 29 50 300
$lab^*rgb^*_{Ma}$: 0.5 0.0 1.0
$lab^*olv^*_{Ma}$: 0.03 0.0 1.0
Dreiecks-Helligkeit t^*

%Umfang $u^*_{rel} = 89$
%Regularität $g^*_{R,rel} = 72$ $g^*_{C,rel} = 57$

ORS19_96a; adaptierte CIELAB-Daten

	$L^=L^*_a$	a^*_a	b^*_a	$C^*_{ab,a}$	$h^*_{ab,a}$
O_{Ma}	48.75	65.07	39.43	76.08	31
Y_{Ma}	90.92	−10.28	87.24	87.85	97
L_{Ma}	52.69	−65.43	20.75	68.65	162
C_{Ma}	59.61	−28.97	−46.21	54.56	238
V_{Ma}	28.39	23.63	−44.12	50.06	298
M_{Ma}	49.58	73.93	−9.55	74.55	353
N_{Ma}	18.89	0.0	0.0	0.0	0
W_{Ma}	96.9	0.0	0.0	0.0	0
R_{CIE}	39.92	58.74	27.99	65.07	25
J_{CIE}	81.26	−2.88	71.56	71.62	92
G_{CIE}	52.23	−42.41	13.6	44.55	162
B_{CIE}	30.57	1.41	−46.46	46.49	272

	$L^=L^*_a$	a^*_a	b^*_a	$C^*_{ab,a}$	$h^*_{ab,a}$
r00	48.88	66.47	31.67	73.63	25
r25	55.85	52.39	47.48	70.7	42
r50	65.45	35.22	58.37	68.17	59
r75	75.19	17.82	69.41	71.66	76
g00	87.03	−3.34	82.83	82.9	92
g25	80.72	−25.0	69.5	73.86	110
g50	70.64	−39.53	51.97	65.3	127
g75	61.93	−52.09	36.83	63.8	145
g00b	52.8	−65.27	20.93	68.56	162
g25b	55.7	−49.57	−8.38	50.28	190
g50b	57.82	−38.39	−28.91	48.07	217
g75b	55.5	−22.04	−45.94	50.97	244
b00r	41.6	1.37	−45.0	45.03	272
b25r	29.0	25.08	−43.12	49.89	300
b50r	38.04	46.53	−28.38	54.51	329
b75r	49.48	72.88	−3.75	72.98	357

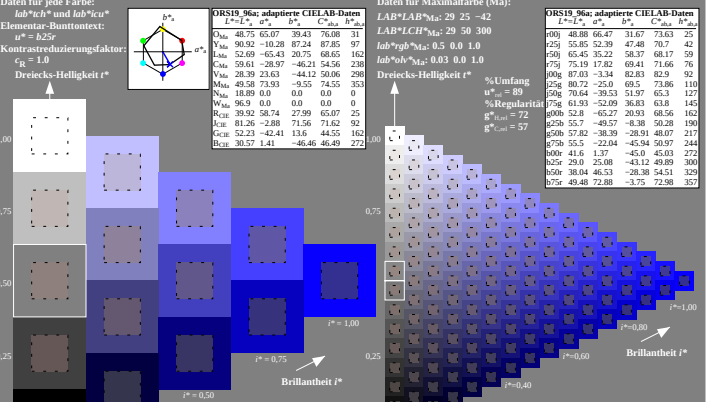

Ein und Ausgabe: Farbmetrisches Drucker-Reflektiv-System ORS19_96a für relativen CIELAB-Buntton $h^* = lab^*h^* = h_{ab}/360 = 329/360 = 0.913$ $u^* = b50r$

Daten für jede Farbe:
lab^*tch^* und lab^*icu^*
Elementar-Buntontext:
$u^* = b50r$
Kontrastreduzierungsfaktor:
$c_R = 1.0$
Dreiecks-Helligkeit t^*

Daten für Maximalfarbe (Ma):
$LAB^*LAB^*_{Ma}$: 38 47 −27
$LAB^*LCH^*_{Ma}$: 38 55 329
$lab^*rgb^*_{Ma}$: 1.0 0.0 1.0
$lab^*olv^*_{Ma}$: 0.46 0.0 1.0
Dreiecks-Helligkeit t^*

%Umfang $u^*_{rel} = 89$
%Regularität $g^*_{R,rel} = 72$ $g^*_{C,rel} = 57$

ORS19_96a; adaptierte CIELAB-Daten

	$L^=L^*_a$	a^*_a	b^*_a	$C^*_{ab,a}$	$h^*_{ab,a}$
O_{Ma}	48.75	65.07	39.43	76.08	31
Y_{Ma}	90.92	−10.28	87.24	87.85	97
L_{Ma}	52.69	−65.43	20.75	68.65	162
C_{Ma}	59.61	−28.97	−46.21	54.56	238
V_{Ma}	28.39	23.63	−44.12	50.06	298
M_{Ma}	49.58	73.93	−9.55	74.55	353
N_{Ma}	18.89	0.0	0.0	0.0	0
W_{Ma}	96.9	0.0	0.0	0.0	0
R_{CIE}	39.92	58.74	27.99	65.07	25
J_{CIE}	81.26	−2.88	71.56	71.62	92
G_{CIE}	52.23	−42.41	13.6	44.55	162
B_{CIE}	30.57	1.41	−46.46	46.49	272

	$L^=L^*_a$	a^*_a	b^*_a	$C^*_{ab,a}$	$h^*_{ab,a}$
r00	48.88	66.47	31.67	73.63	25
r25	55.85	52.39	47.48	70.7	42
r50	65.45	35.22	58.37	68.17	59
r75	75.19	17.82	69.41	71.66	76
g00	87.03	−3.34	82.83	82.9	92
g25	80.72	−25.0	69.5	73.86	110
g50	70.64	−39.53	51.97	65.3	127
g75	61.93	−52.09	36.83	63.8	145
g00b	52.8	−65.27	20.93	68.56	162
g25b	55.7	−49.57	−8.38	50.28	190
g50b	57.82	−38.39	−28.91	48.07	217
g75b	55.5	−22.04	−45.94	50.97	244
b00r	41.6	1.37	−45.0	45.03	272
b25r	29.0	25.08	−43.12	49.89	300
b50r	38.04	46.53	−28.38	54.51	329
b75r	49.48	72.88	−3.75	72.98	357

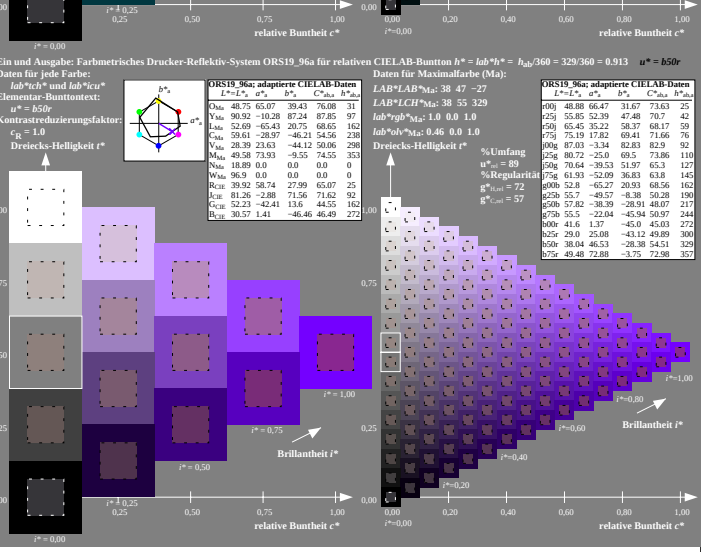

Ein und Ausgabe: Farbmetrisches Drucker-Reflektiv-System ORS19_96a für relativen CIELAB-Buntton $h^* = lab^*h^* = h_{ab}/360 = 357/360 = 0.992$ $u^* = b75r$

Daten für jede Farbe:
lab^*tch^* und lab^*icu^*
Elementar-Buntontext:
$u^* = b75r$
Kontrastreduzierungsfaktor:
$c_R = 1.0$
Dreiecks-Helligkeit t^*

Daten für Maximalfarbe (Ma):
$LAB^*LAB^*_{Ma}$: 49 73 −3
$LAB^*LCH^*_{Ma}$: 49 73 357
$lab^*rgb^*_{Ma}$: 1.0 0.0 0.5
$lab^*olv^*_{Ma}$: 1.0 0.0 0.88
Dreiecks-Helligkeit t^*

%Umfang $u^*_{rel} = 89$
%Regularität $g^*_{R,rel} = 72$ $g^*_{C,rel} = 57$

ORS19_96a; adaptierte CIELAB-Daten

	$L^=L^*_a$	a^*_a	b^*_a	$C^*_{ab,a}$	$h^*_{ab,a}$
O_{Ma}	48.75	65.07	39.43	76.08	31
Y_{Ma}	90.92	−10.28	87.24	87.85	97
L_{Ma}	52.69	−65.43	20.75	68.65	162
C_{Ma}	59.61	−28.97	−46.21	54.56	238
V_{Ma}	28.39	23.63	−44.12	50.06	298
M_{Ma}	49.58	73.93	−9.55	74.55	353
N_{Ma}	18.89	0.0	0.0	0.0	0
W_{Ma}	96.9	0.0	0.0	0.0	0
R_{CIE}	39.92	58.74	27.99	65.07	25
J_{CIE}	81.26	−2.88	71.56	71.62	92
G_{CIE}	52.23	−42.41	13.6	44.55	162
B_{CIE}	30.57	1.41	−46.46	46.49	272

	$L^=L^*_a$	a^*_a	b^*_a	$C^*_{ab,a}$	$h^*_{ab,a}$
r00	48.88	66.47	31.67	73.63	25
r25	55.85	52.39	47.48	70.7	42
r50	65.45	35.22	58.37	68.17	59
r75	75.19	17.82	69.41	71.66	76
g00	87.03	−3.34	82.83	82.9	92
g25	80.72	−25.0	69.5	73.86	110
g50	70.64	−39.53	51.97	65.3	127
g75	61.93	−52.09	36.83	63.8	145
g00b	52.8	−65.27	20.93	68.56	162
g25b	55.7	−49.57	−8.38	50.28	190
g50b	57.82	−38.39	−28.91	48.07	217
g75b	55.5	−22.04	−45.94	50.97	244
b00r	41.6	1.37	−45.0	45.03	272
b25r	29.0	25.08	−43.12	49.89	300
b50r	38.04	46.53	−28.38	54.51	329
b75r	49.48	72.88	−3.75	72.98	357

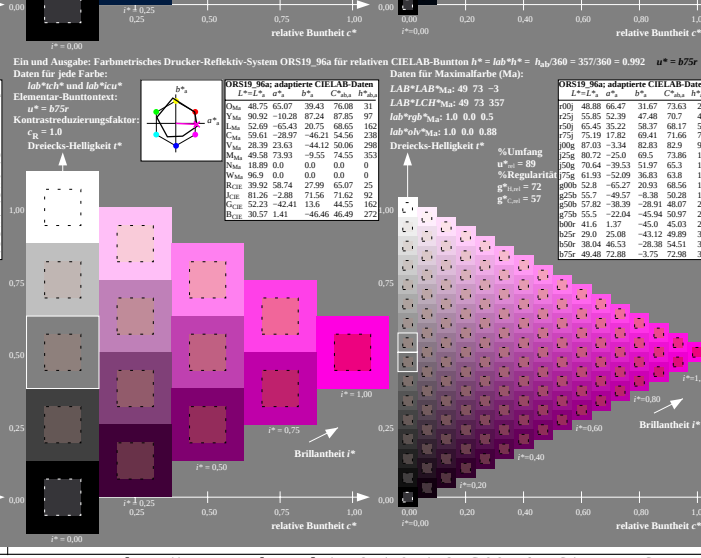

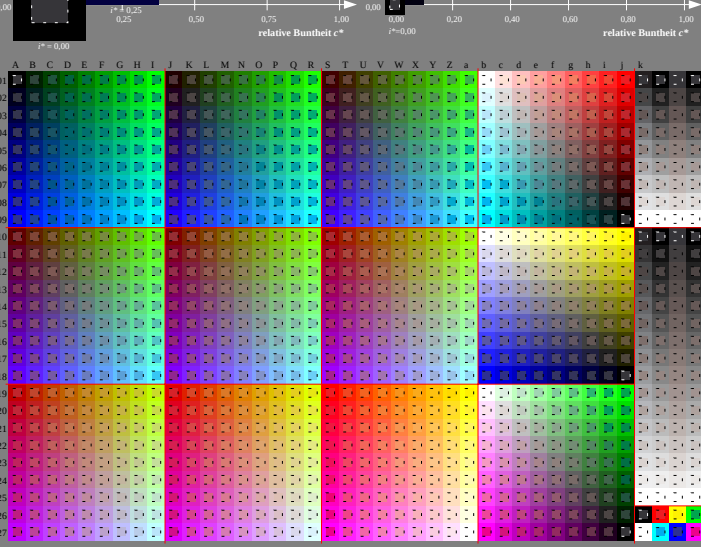

Ein und Ausgabe: Farbmetrisches Drucker-Reflektiv-System ORS19_96a für relativen CIELAB-Buntton $h^* = lab^*h^* = h_{ab}/360 = 162/360 = 0.451$ $u^* = g00b$

Daten für jede Farbe: *lab*tch** und *lab*icu**
Elementar-Buntkontext: $u^* = g00b$
Kontrastreduzierungsfaktor: $c_R = 1.0$
Dreiecks-Helligkeit t^*

Daten für Maximalfarbe (Ma):
*LAB*LAB**$_{Ma}$: 53 −64 21
*LAB*LCH**$_{Ma}$: 53 69 162
*lab*rgb**$_{Ma}$: 0.0 1.0 0.0
*lab*olv**$_{Ma}$: 0.0 1.0 0.0
Dreiecks-Helligkeit t^*

%Umfang $u^*_{rel} = 89$
%Regularität $g^*_{H,rel} = 72$
$g^*_{C,rel} = 57$

ORS19_96a; adaptierte CIELAB-Daten

	$L^*=L^*_a$	a^*_a	b^*_a	$C^*_{ab,a}$	$h^*_{ab,a}$
O_{Mu}	48.75	65.07	39.43	76.08	31
Y_{Mu}	90.92	−10.28	87.24	87.85	97
L_{Mu}	52.69	−65.43	20.75	68.65	162
C_{Mu}	59.61	−28.97	−46.21	54.56	238
V_{Mu}	28.39	23.63	−44.12	50.06	298
M_{Mu}	49.58	73.93	−9.55	74.55	353
N_{Mu}	18.89	0.0	0.0	0.0	0
W_{Mu}	96.9	0.0	0.0	0.0	0
R_{CIE}	39.92	58.74	27.99	65.07	25
J_{CIE}	81.26	−2.88	71.56	71.62	92
G_{CIE}	52.23	−42.41	13.6	44.55	162
B_{CIE}	30.57	1.41	−46.46	46.49	272

ORS19_96a; adaptierte CIELAB-Daten

	$L^*=L^*_a$	a^*_a	b^*_a	$C^*_{ab,a}$	$h^*_{ab,a}$
r00j	48.88	66.47	31.67	73.63	25
r25j	55.85	52.39	47.48	70.7	42
r50j	65.45	35.22	58.37	68.17	59
r75j	75.19	17.82	69.41	71.66	76
g00g	87.03	−3.34	82.83	82.9	92
g25g	80.72	−25.0	69.5	73.86	110
g50g	70.64	−39.53	51.97	65.3	127
g75g	61.93	−52.09	36.83	63.8	145
g00b	52.8	−65.27	20.93	68.56	162
g25b	55.7	−49.57	−8.38	50.28	190
g50b	57.82	−38.39	−28.91	48.07	217
g75b	55.5	−22.04	−45.94	50.97	244
b00r	41.6	1.37	−45.0	45.03	272
b25r	29.0	25.08	−43.12	49.89	300
b50r	38.04	46.53	−28.38	54.51	329
b75r	49.48	72.88	−3.75	72.98	357

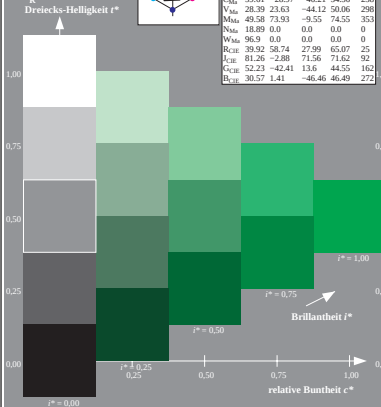

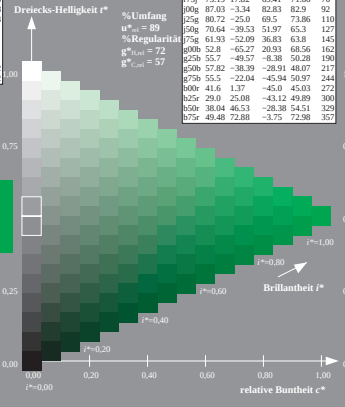

Ein und Ausgabe: Farbmetrisches Drucker-Reflektiv-System ORS19_96a für relativen CIELAB-Buntton $h^* = lab^*h^* = h_{ab}/360 = 190/360 = 0.527$ $u^* = g25b$

Daten für jede Farbe: *lab*tch** und *lab*icu**
Elementar-Buntkontext: $u^* = g25b$
Kontrastreduzierungsfaktor: $c_R = 1.0$
Dreiecks-Helligkeit t^*

Daten für Maximalfarbe (Ma):
*LAB*LAB**$_{Ma}$: 56 −49 −7
*LAB*LCH**$_{Ma}$: 56 50 190
*lab*rgb**$_{Ma}$: 0.0 1.0 0.5
*lab*olv**$_{Ma}$: 0.0 1.0 0.44
Dreiecks-Helligkeit t^*

%Umfang $u^*_{rel} = 89$
%Regularität $g^*_{H,rel} = 72$
$g^*_{C,rel} = 57$

ORS19_96a; adaptierte CIELAB-Daten

	$L^=L^*_a$	a^*_a	b^*_a	$C^*_{ab,a}$	$h^*_{ab,a}$
O_{Mu}	48.75	65.07	39.43	76.08	31
Y_{Mu}	90.92	−10.28	87.24	87.85	97
L_{Mu}	52.69	−65.43	20.75	68.65	162
C_{Mu}	59.61	−28.97	−46.21	54.56	238
V_{Mu}	28.39	23.63	−44.12	50.06	298
M_{Mu}	49.58	73.93	−9.55	74.55	353
N_{Mu}	18.89	0.0	0.0	0.0	0
W_{Mu}	96.9	0.0	0.0	0.0	0
R_{CIE}	39.92	58.74	27.99	65.07	25
J_{CIE}	81.26	−2.88	71.56	71.62	92
G_{CIE}	52.23	−42.41	13.6	44.55	162
B_{CIE}	30.57	1.41	−46.46	46.49	272

ORS19_96a; adaptierte CIELAB-Daten

	$L^=L^*_a$	a^*_a	b^*_a	$C^*_{ab,a}$	$h^*_{ab,a}$
r00j	48.88	66.47	31.67	73.63	25
r25j	55.85	52.39	47.48	70.7	42
r50j	65.45	35.22	58.37	68.17	59
r75j	75.19	17.82	69.41	71.66	76
g00g	87.03	−3.34	82.83	82.9	92
g25g	80.72	−25.0	69.5	73.86	110
g50g	70.64	−39.53	51.97	65.3	127
g75g	61.93	−52.09	36.83	63.8	145
g00b	52.8	−65.27	20.93	68.56	162
g25b	55.7	−49.57	−8.38	50.28	190
g50b	57.82	−38.39	−28.91	48.07	217
g75b	55.5	−22.04	−45.94	50.97	244
b00r	41.6	1.37	−45.0	45.03	272
b25r	29.0	25.08	−43.12	49.89	300
b50r	38.04	46.53	−28.38	54.51	329
b75r	49.48	72.88	−3.75	72.98	357

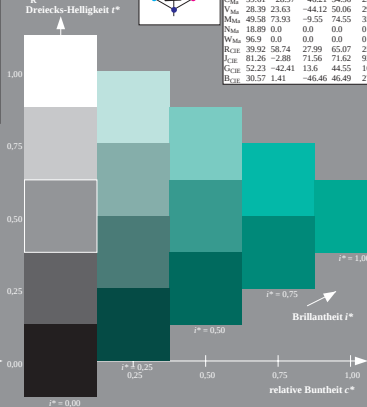

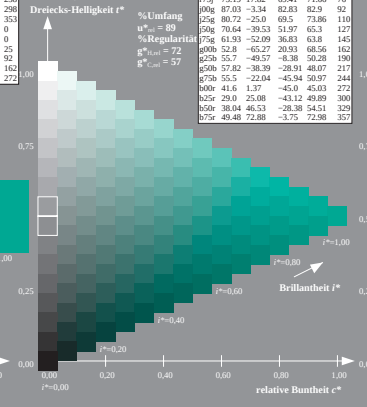

Ein und Ausgabe: Farbmetrisches Drucker-Reflektiv-System ORS19_96a für relativen CIELAB-Buntton $h^* = lab^*h^* = h_{ab}/360 = 217/360 = 0.603$ $u^* = g50b$

Daten für jede Farbe: *lab*tch** und *lab*icu**
Elementar-Buntkontext: $u^* = g50b$
Kontrastreduzierungsfaktor: $c_R = 1.0$
Dreiecks-Helligkeit t^*

Daten für Maximalfarbe (Ma):
*LAB*LAB**$_{Ma}$: 58 −37 −28
*LAB*LCH**$_{Ma}$: 58 48 217
*lab*rgb**$_{Ma}$: 0.0 1.0 1.0
*lab*olv**$_{Ma}$: 0.0 1.0 0.74
Dreiecks-Helligkeit t^*

%Umfang $u^*_{rel} = 89$
%Regularität $g^*_{H,rel} = 72$
$g^*_{C,rel} = 57$

ORS19_96a; adaptierte CIELAB-Daten

	$L^=L^*_a$	a^*_a	b^*_a	$C^*_{ab,a}$	$h^*_{ab,a}$
O_{Mu}	48.75	65.07	39.43	76.08	31
Y_{Mu}	90.92	−10.28	87.24	87.85	97
L_{Mu}	52.69	−65.43	20.75	68.65	162
C_{Mu}	59.61	−28.97	−46.21	54.56	238
V_{Mu}	28.39	23.63	−44.12	50.06	298
M_{Mu}	49.58	73.93	−9.55	74.55	353
N_{Mu}	18.89	0.0	0.0	0.0	0
W_{Mu}	96.9	0.0	0.0	0.0	0
R_{CIE}	39.92	58.74	27.99	65.07	25
J_{CIE}	81.26	−2.88	71.56	71.62	92
G_{CIE}	52.23	−42.41	13.6	44.55	162
B_{CIE}	30.57	1.41	−46.46	46.49	272

ORS19_96a; adaptierte CIELAB-Daten

	$L^=L^*_a$	a^*_a	b^*_a	$C^*_{ab,a}$	$h^*_{ab,a}$
r00j	48.88	66.47	31.67	73.63	25
r25j	55.85	52.39	47.48	70.7	42
r50j	65.45	35.22	58.37	68.17	59
r75j	75.19	17.82	69.41	71.66	76
g00g	87.03	−3.34	82.83	82.9	92
g25g	80.72	−25.0	69.5	73.86	110
g50g	70.64	−39.53	51.97	65.3	127
g75g	61.93	−52.09	36.83	63.8	145
g00b	52.8	−65.27	20.93	68.56	162
g25b	55.7	−49.57	−8.38	50.28	190
g50b	57.82	−38.39	−28.91	48.07	217
g75b	55.5	−22.04	−45.94	50.97	244
b00r	41.6	1.37	−45.0	45.03	272
b25r	29.0	25.08	−43.12	49.89	300
b50r	38.04	46.53	−28.38	54.51	329
b75r	49.48	72.88	−3.75	72.98	357

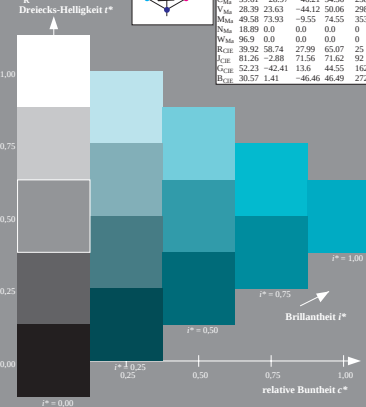

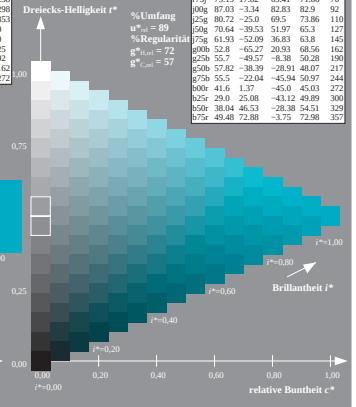

Ein und Ausgabe: Farbmetrisches Drucker-Reflektiv-System ORS19_96a für relativen CIELAB-Buntton $h^* = lab^*h^* = h_{ab}/360 = 244/360 = 0.679$ $u^* = g75b$

Daten für jede Farbe: *lab*tch** und *lab*icu**
Elementar-Buntkontext: $u^* = g75b$
Kontrastreduzierungsfaktor: $c_R = 1.0$
Dreiecks-Helligkeit t^*

Daten für Maximalfarbe (Ma):
*LAB*LAB**$_{Ma}$: 55 −21 −45
*LAB*LCH**$_{Ma}$: 55 51 244
*lab*rgb**$_{Ma}$: 0.0 0.5 1.0
*lab*olv**$_{Ma}$: 0.0 0.87 1.0
Dreiecks-Helligkeit t^*

%Umfang $u^*_{rel} = 89$
%Regularität $g^*_{H,rel} = 72$
$g^*_{C,rel} = 57$

ORS19_96a; adaptierte CIELAB-Daten

	$L^=L^*_a$	a^*_a	b^*_a	$C^*_{ab,a}$	$h^*_{ab,a}$
O_{Mu}	48.75	65.07	39.43	76.08	31
Y_{Mu}	90.92	−10.28	87.24	87.85	97
L_{Mu}	52.69	−65.43	20.75	68.65	162
C_{Mu}	59.61	−28.97	−46.21	54.56	238
V_{Mu}	28.39	23.63	−44.12	50.06	298
M_{Mu}	49.58	73.93	−9.55	74.55	353
N_{Mu}	18.89	0.0	0.0	0.0	0
W_{Mu}	96.9	0.0	0.0	0.0	0
R_{CIE}	39.92	58.74	27.99	65.07	25
J_{CIE}	81.26	−2.88	71.56	71.62	92
G_{CIE}	52.23	−42.41	13.6	44.55	162
B_{CIE}	30.57	1.41	−46.46	46.49	272

ORS19_96a; adaptierte CIELAB-Daten

	$L^=L^*_a$	a^*_a	b^*_a	$C^*_{ab,a}$	$h^*_{ab,a}$
r00j	48.88	66.47	31.67	73.63	25
r25j	55.85	52.39	47.48	70.7	42
r50j	65.45	35.22	58.37	68.17	59
r75j	75.19	17.82	69.41	71.66	76
g00g	87.03	−3.34	82.83	82.9	92
g25g	80.72	−25.0	69.5	73.86	110
g50g	70.64	−39.53	51.97	65.3	127
g75g	61.93	−52.09	36.83	63.8	145
g00b	52.8	−65.27	20.93	68.56	162
g25b	55.7	−49.57	−8.38	50.28	190
g50b	57.82	−38.39	−28.91	48.07	217
g75b	55.5	−22.04	−45.94	50.97	244
b00r	41.6	1.37	−45.0	45.03	272
b25r	29.0	25.08	−43.12	49.89	300
b50r	38.04	46.53	−28.38	54.51	329
b75r	49.48	72.88	−3.75	72.98	357

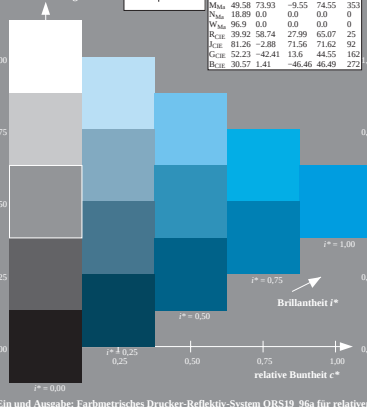

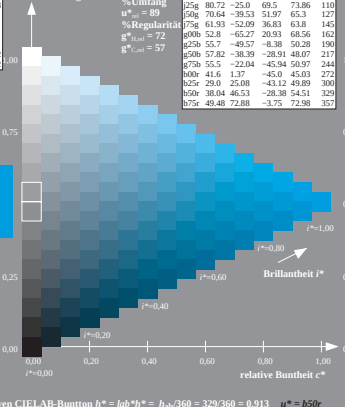

Ein und Ausgabe: Farbmetrisches Drucker-Reflektiv-System ORS19_96a für relativen CIELAB-Buntton $h^* = lab^*h^* = h_{ab}/360 = 272/360 = 0.755$ $u^* = b00r$

Daten für jede Farbe: *lab*tch** und *lab*icu**
Elementar-Buntkontext: $u^* = b00r$
Kontrastreduzierungsfaktor: $c_R = 1.0$
Dreiecks-Helligkeit t^*

Daten für Maximalfarbe (Ma):
*LAB*LAB**$_{Ma}$: 42 1 −44
*LAB*LCH**$_{Ma}$: 42 45 272
*lab*rgb**$_{Ma}$: 0.0 0.0 1.0
*lab*olv**$_{Ma}$: 0.0 0.42 1.0
Dreiecks-Helligkeit t^*

%Umfang $u^*_{rel} = 89$
%Regularität $g^*_{H,rel} = 72$
$g^*_{C,rel} = 57$

ORS19_96a; adaptierte CIELAB-Daten

	$L^=L^*_a$	a^*_a	b^*_a	$C^*_{ab,a}$	$h^*_{ab,a}$
O_{Mu}	48.75	65.07	39.43	76.08	31
Y_{Mu}	90.92	−10.28	87.24	87.85	97
L_{Mu}	52.69	−65.43	20.75	68.65	162
C_{Mu}	59.61	−28.97	−46.21	54.56	238
V_{Mu}	28.39	23.63	−44.12	50.06	298
M_{Mu}	49.58	73.93	−9.55	74.55	353
N_{Mu}	18.89	0.0	0.0	0.0	0
W_{Mu}	96.9	0.0	0.0	0.0	0
R_{CIE}	39.92	58.74	27.99	65.07	25
J_{CIE}	81.26	−2.88	71.56	71.62	92
G_{CIE}	52.23	−42.41	13.6	44.55	162
B_{CIE}	30.57	1.41	−46.46	46.49	272

ORS19_96a; adaptierte CIELAB-Daten

	$L^=L^*_a$	a^*_a	b^*_a	$C^*_{ab,a}$	$h^*_{ab,a}$
r00j	48.88	66.47	31.67	73.63	25
r25j	55.85	52.39	47.48	70.7	42
r50j	65.45	35.22	58.37	68.17	59
r75j	75.19	17.82	69.41	71.66	76
g00g	87.03	−3.34	82.83	82.9	92
g25g	80.72	−25.0	69.5	73.86	110
g50g	70.64	−39.53	51.97	65.3	127
g75g	61.93	−52.09	36.83	63.8	145
g00b	52.8	−65.27	20.93	68.56	162
g25b	55.7	−49.57	−8.38	50.28	190
g50b	57.82	−38.39	−28.91	48.07	217
g75b	55.5	−22.04	−45.94	50.97	244
b00r	41.6	1.37	−45.0	45.03	272
b25r	29.0	25.08	−43.12	49.89	300
b50r	38.04	46.53	−28.38	54.51	329
b75r	49.48	72.88	−3.75	72.98	357

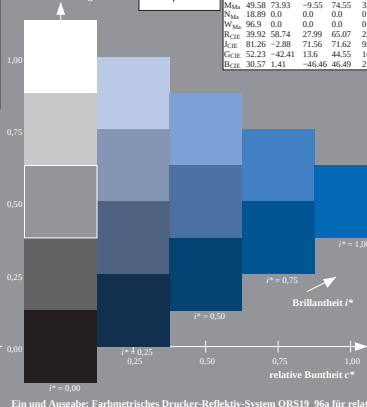

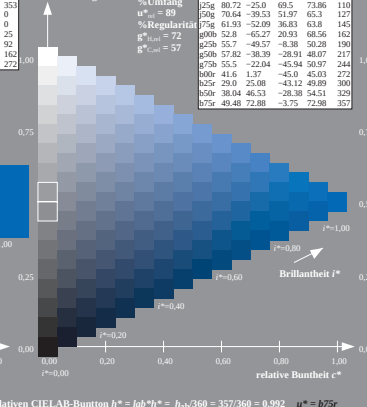

Ein und Ausgabe: Farbmetrisches Drucker-Reflektiv-System ORS19_96a für relativen CIELAB-Buntton $h^* = lab^*h^* = h_{ab}/360 = 300/360 = 0.834$ $u^* = b25r$

Daten für jede Farbe: *lab*tch** und *lab*icu**
Elementar-Buntkontext: $u^* = b25r$
Kontrastreduzierungsfaktor: $c_R = 1.0$
Dreiecks-Helligkeit t^*

Daten für Maximalfarbe (Ma):
*LAB*LAB**$_{Ma}$: 29 25 −42
*LAB*LCH**$_{Ma}$: 29 50 300
*lab*rgb**$_{Ma}$: 0.5 0.0 1.0
*lab*olv**$_{Ma}$: 0.03 0.0 1.0
Dreiecks-Helligkeit t^*

%Umfang $u^*_{rel} = 89$
%Regularität $g^*_{H,rel} = 72$
$g^*_{C,rel} = 57$

ORS19_96a; adaptierte CIELAB-Daten

	$L^=L^*_a$	a^*_a	b^*_a	$C^*_{ab,a}$	$h^*_{ab,a}$
O_{Mu}	48.75	65.07	39.43	76.08	31
Y_{Mu}	90.92	−10.28	87.24	87.85	97
L_{Mu}	52.69	−65.43	20.75	68.65	162
C_{Mu}	59.61	−28.97	−46.21	54.56	238
V_{Mu}	28.39	23.63	−44.12	50.06	298
M_{Mu}	49.58	73.93	−9.55	74.55	353
N_{Mu}	18.89	0.0	0.0	0.0	0
W_{Mu}	96.9	0.0	0.0	0.0	0
R_{CIE}	39.92	58.74	27.99	65.07	25
J_{CIE}	81.26	−2.88	71.56	71.62	92
G_{CIE}	52.23	−42.41	13.6	44.55	162
B_{CIE}	30.57	1.41	−46.46	46.49	272

ORS19_96a; adaptierte CIELAB-Daten

	$L^=L^*_a$	a^*_a	b^*_a	$C^*_{ab,a}$	$h^*_{ab,a}$
r00j	48.88	66.47	31.67	73.63	25
r25j	55.85	52.39	47.48	70.7	42
r50j	65.45	35.22	58.37	68.17	59
r75j	75.19	17.82	69.41	71.66	76
g00g	87.03	−3.34	82.83	82.9	92
g25g	80.72	−25.0	69.5	73.86	110
g50g	70.64	−39.53	51.97	65.3	127
g75g	61.93	−52.09	36.83	63.8	145
g00b	52.8	−65.27	20.93	68.56	162
g25b	55.7	−49.57	−8.38	50.28	190
g50b	57.82	−38.39	−28.91	48.07	217
g75b	55.5	−22.04	−45.94	50.97	244
b00r	41.6	1.37	−45.0	45.03	272
b25r	29.0	25.08	−43.12	49.89	300
b50r	38.04	46.53	−28.38	54.51	329
b75r	49.48	72.88	−3.75	72.98	357

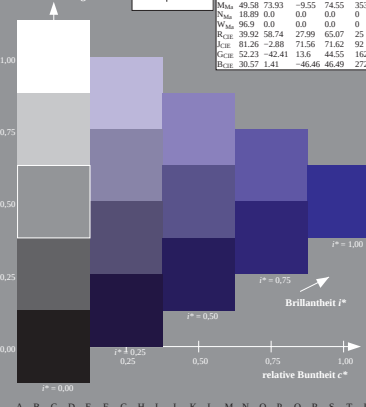

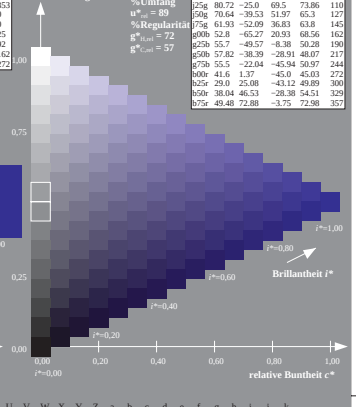

Ein und Ausgabe: Farbmetrisches Drucker-Reflektiv-System ORS19_96a für relativen CIELAB-Buntton $h^* = lab^*h^* = h_{ab}/360 = 329/360 = 0.913$ $u^* = b50r$

Daten für jede Farbe: *lab*tch** und *lab*icu**
Elementar-Buntkontext: $u^* = b50r$
Kontrastreduzierungsfaktor: $c_R = 1.0$
Dreiecks-Helligkeit t^*

Daten für Maximalfarbe (Ma):
*LAB*LAB**$_{Ma}$: 38 47 −27
*LAB*LCH**$_{Ma}$: 38 55 329
*lab*rgb**$_{Ma}$: 1.0 0.0 1.0
*lab*olv**$_{Ma}$: 0.46 0.0 1.0
Dreiecks-Helligkeit t^*

%Umfang $u^*_{rel} = 89$
%Regularität $g^*_{H,rel} = 72$
$g^*_{C,rel} = 57$

ORS19_96a; adaptierte CIELAB-Daten

	$L^=L^*_a$	a^*_a	b^*_a	$C^*_{ab,a}$	$h^*_{ab,a}$
O_{Mu}	48.75	65.07	39.43	76.08	31
Y_{Mu}	90.92	−10.28	87.24	87.85	97
L_{Mu}	52.69	−65.43	20.75	68.65	162
C_{Mu}	59.61	−28.97	−46.21	54.56	238
V_{Mu}	28.39	23.63	−44.12	50.06	298
M_{Mu}	49.58	73.93	−9.55	74.55	353
N_{Mu}	18.89	0.0	0.0	0.0	0
W_{Mu}	96.9	0.0	0.0	0.0	0
R_{CIE}	39.92	58.74	27.99	65.07	25
J_{CIE}	81.26	−2.88	71.56	71.62	92
G_{CIE}	52.23	−42.41	13.6	44.55	162
B_{CIE}	30.57	1.41	−46.46	46.49	272

ORS19_96a; adaptierte CIELAB-Daten

	$L^=L^*_a$	a^*_a	b^*_a	$C^*_{ab,a}$	$h^*_{ab,a}$
r00j	48.88	66.47	31.67	73.63	25
r25j	55.85	52.39	47.48	70.7	42
r50j	65.45	35.22	58.37	68.17	59
r75j	75.19	17.82	69.41	71.66	76
g00g	87.03	−3.34	82.83	82.9	92
g25g	80.72	−25.0	69.5	73.86	110
g50g	70.64	−39.53	51.97	65.3	127
g75g	61.93	−52.09	36.83	63.8	145
g00b	52.8	−65.27	20.93	68.56	162
g25b	55.7	−49.57	−8.38	50.28	190
g50b	57.82	−38.39	−28.91	48.07	217
g75b	55.5	−22.04	−45.94	50.97	244
b00r	41.6	1.37	−45.0	45.03	272
b25r	29.0	25.08	−43.12	49.89	300
b50r	38.04	46.53	−28.38	54.51	329
b75r	49.48	72.88	−3.75	72.98	357

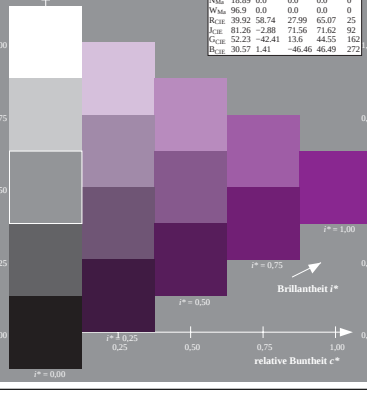

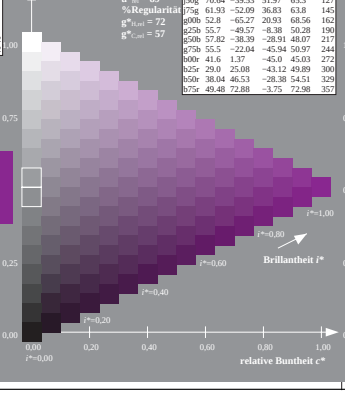

Ein und Ausgabe: Farbmetrisches Drucker-Reflektiv-System ORS19_96a für relativen CIELAB-Buntton $h^* = lab^*h^* = h_{ab}/360 = 357/360 = 0.992$ $u^* = b75r$

Daten für jede Farbe: *lab*tch** und *lab*icu**
Elementar-Buntkontext: $u^* = b75r$
Kontrastreduzierungsfaktor: $c_R = 1.0$
Dreiecks-Helligkeit t^*

Daten für Maximalfarbe (Ma):
*LAB*LAB**$_{Ma}$: 49 73 −3
*LAB*LCH**$_{Ma}$: 49 73 357
*lab*rgb**$_{Ma}$: 1.0 0.0 0.5
*lab*olv**$_{Ma}$: 1.0 0.0 0.88
Dreiecks-Helligkeit t^*

%Umfang $u^*_{rel} = 89$
%Regularität $g^*_{H,rel} = 72$
$g^*_{C,rel} = 57$

ORS19_96a; adaptierte CIELAB-Daten

	$L^=L^*_a$	a^*_a	b^*_a	$C^*_{ab,a}$	$h^*_{ab,a}$
O_{Mu}	48.75	65.07	39.43	76.08	31
Y_{Mu}	90.92	−10.28	87.24	87.85	97
L_{Mu}	52.69	−65.43	20.75	68.65	162
C_{Mu}	59.61	−28.97	−46.21	54.56	238
V_{Mu}	28.39	23.63	−44.12	50.06	298
M_{Mu}	49.58	73.93	−9.55	74.55	353
N_{Mu}	18.89	0.0	0.0	0.0	0
W_{Mu}	96.9	0.0	0.0	0.0	0
R_{CIE}	39.92	58.74	27.99	65.07	25
J_{CIE}	81.26	−2.88	71.56	71.62	92
G_{CIE}	52.23	−42.41	13.6	44.55	162
B_{CIE}	30.57	1.41	−46.46	46.49	272

ORS19_96a; adaptierte CIELAB-Daten

	$L^=L^*_a$	a^*_a	b^*_a	$C^*_{ab,a}$	$h^*_{ab,a}$
r00j	48.88	66.47	31.67	73.63	25
r25j	55.85	52.39	47.48	70.7	42
r50j	65.45	35.22	58.37	68.17	59
r75j	75.19	17.82	69.41	71.66	76
g00g	87.03	−3.34	82.83	82.9	92
g25g	80.72	−25.0	69.5	73.86	110
g50g	70.64	−39.53	51.97	65.3	127
g75g	61.93	−52.09	36.83	63.8	145
g00b	52.8	−65.27	20.93	68.56	162
g25b	55.7	−49.57	−8.38	50.28	190
g50b	57.82	−38.39	−28.91	48.07	217
g75b	55.5	−22.04	−45.94	50.97	244
b00r	41.6	1.37	−45.0	45.03	272
b25r	29.0	25.08	−43.12	49.89	300
b50r	38.04	46.53	−28.38	54.51	329
b75r	49.48	72.88	−3.75	72.98	357

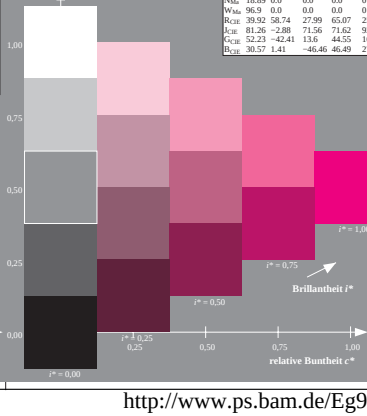

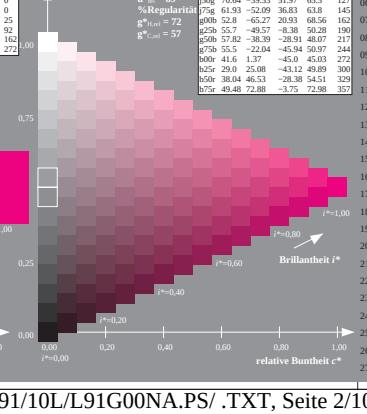

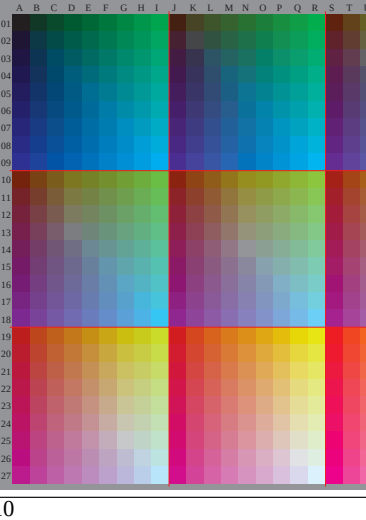

Ein und Ausgabe: Farbmetrisches Drucker-Reflektiv-System ORS19_96a für relativen CIELAB-Buntton $h^* = lab^*h^* = h_{ab}/360 = 162/360 = 0.451$ $u^* = g00b$ lab^*rgb^*

Daten für jede Farbe: lab^*tch^* und lab^*icu^*

Elementar-Buntkontext: $u^* = g00b$

Kontrastreduzierungsfaktor: $c_R = 1.0$

Dreiecks-Helligkeit t^*

Daten für Maximalfarbe (Ma): $LAB^*LAB^*_{Ma}$: 53 −64 21 $LAB^*LCH^*_{Ma}$: 53 69 162 $lab^*rgb^*_{Ma}$: 0.0 1.0 0.0 $lab^*ohv^*_{Ma}$: 0.0 1.0 0.0

Dreiecks-Helligkeit t^*

%Umfang $u^*_{rel} = 89$

%Regularität $g^*_{H,rel} = 72$ $g^*_{C,rel} = 57$

ORS19_96a; adaptierte CIELAB-Daten

	$L^*=L^*_a$	a^*_a	b^*_a	$C^*_{ab,a}$	$h^*_{ab,a}$
O_{Ma}	48.75	65.07	39.43	76.08	31
Y_{Ma}	90.92	−10.28	87.24	87.85	97
L_{Ma}	52.69	−65.43	20.75	68.65	162
C_{Ma}	59.61	−28.97	−46.21	54.56	238
V_{Ma}	28.39	23.63	−44.12	50.06	298
M_{Ma}	49.58	73.93	−9.55	74.55	353
N_{Ma}	18.89	0.0	0.0	0.0	0
W_{Ma}	96.9	0.0	0.0	0.0	0
R_{CIE}	39.92	58.74	27.99	65.07	25
J_{CIE}	81.26	−2.88	71.56	71.62	92
G_{CIE}	52.23	−42.41	13.6	44.55	162
B_{CIE}	30.57	1.41	−46.46	46.49	272

	$L^*=L^*_a$	a^*_a	b^*_a	$C^*_{ab,a}$	$h^*_{ab,a}$
r00	48.88	66.47	31.67	73.63	25
r25	55.85	52.39	47.48	70.7	42
r50	65.45	35.22	58.37	68.17	59
r75	75.19	17.82	69.41	71.66	76
g00	87.03	−3.34	82.83	82.9	92
g25	80.72	−25.0	69.5	73.86	110
g50	70.64	−39.53	51.97	65.3	127
g75	61.93	−52.09	36.83	63.8	145
g00	52.8	−65.27	20.93	68.56	162
g25	55.7	−49.57	−8.38	50.28	190
g50	57.82	−38.39	−28.91	48.07	217
g75	55.5	−22.04	−45.94	50.97	244
b00	41.6	1.37	−45.0	45.03	272
b25	29.0	25.08	−43.12	49.89	300
b50	38.04	46.53	−28.38	54.51	329
b75	49.48	72.88	−3.75	72.98	357

Ein und Ausgabe: Farbmetrisches Drucker-Reflektiv-System ORS19_96a für relativen CIELAB-Buntton $h^* = lab^*h^* = h_{ab}/360 = 190/360 = 0.527$ $u^* = g25b$ lab^*rgb^*

Daten für jede Farbe: lab^*tch^* und lab^*icu^*

Elementar-Buntkontext: $u^* = g25b$

Kontrastreduzierungsfaktor: $c_R = 1.0$

Dreiecks-Helligkeit t^*

Daten für Maximalfarbe (Ma): $LAB^*LAB^*_{Ma}$: 56 −49 −7 $LAB^*LCH^*_{Ma}$: 56 50 190 $lab^*rgb^*_{Ma}$: 0.0 1.0 0.5 $lab^*ohv^*_{Ma}$: 0.0 1.0 0.44

Dreiecks-Helligkeit t^*

%Umfang $u^*_{rel} = 89$

%Regularität $g^*_{H,rel} = 72$ $g^*_{C,rel} = 57$

ORS19_96a; adaptierte CIELAB-Daten

	$L^*=L^*_a$	a^*_a	b^*_a	$C^*_{ab,a}$	$h^*_{ab,a}$
O_{Ma}	48.75	65.07	39.43	76.08	31
Y_{Ma}	90.92	−10.28	87.24	87.85	97
L_{Ma}	52.69	−65.43	20.75	68.65	162
C_{Ma}	59.61	−28.97	−46.21	54.56	238
V_{Ma}	28.39	23.63	−44.12	50.06	298
M_{Ma}	49.58	73.93	−9.55	74.55	353
N_{Ma}	18.89	0.0	0.0	0.0	0
W_{Ma}	96.9	0.0	0.0	0.0	0
R_{CIE}	39.92	58.74	27.99	65.07	25
J_{CIE}	81.26	−2.88	71.56	71.62	92
G_{CIE}	52.23	−42.41	13.6	44.55	162
B_{CIE}	30.57	1.41	−46.46	46.49	272

	$L^*=L^*_a$	a^*_a	b^*_a	$C^*_{ab,a}$	$h^*_{ab,a}$
r00	48.88	66.47	31.67	73.63	25
r25	55.85	52.39	47.48	70.7	42
r50	65.45	35.22	58.37	68.17	59
r75	75.19	17.82	69.41	71.66	76
g00	87.03	−3.34	82.83	82.9	92
g25	80.72	−25.0	69.5	73.86	110
g50	70.64	−39.53	51.97	65.3	127
g75	61.93	−52.09	36.83	63.8	145
g00	52.8	−65.27	20.93	68.56	162
g25	55.7	−49.57	−8.38	50.28	190
g50	57.82	−38.39	−28.91	48.07	217
g75	55.5	−22.04	−45.94	50.97	244
b00	41.6	1.37	−45.0	45.03	272
b25	29.0	25.08	−43.12	49.89	300
b50	38.04	46.53	−28.38	54.51	329
b75	49.48	72.88	−3.75	72.98	357

Ein und Ausgabe: Farbmetrisches Drucker-Reflektiv-System ORS19_96a für relativen CIELAB-Buntton $h^* = lab^*h^* = h_{ab}/360 = 217/360 = 0.603$ $u^* = g50b$ lab^*rgb^*

Daten für jede Farbe: lab^*tch^* und lab^*icu^*

Elementar-Buntkontext: $u^* = g50b$

Kontrastreduzierungsfaktor: $c_R = 1.0$

Dreiecks-Helligkeit t^*

Daten für Maximalfarbe (Ma): $LAB^*LAB^*_{Ma}$: 58 −37 −28 $LAB^*LCH^*_{Ma}$: 58 48 217 $lab^*rgb^*_{Ma}$: 0.0 1.0 0.74 $lab^*ohv^*_{Ma}$: 0.0 1.0 0.74

Dreiecks-Helligkeit t^*

%Umfang $u^*_{rel} = 89$

%Regularität $g^*_{H,rel} = 72$ $g^*_{C,rel} = 57$

ORS19_96a; adaptierte CIELAB-Daten

	$L^*=L^*_a$	a^*_a	b^*_a	$C^*_{ab,a}$	$h^*_{ab,a}$
O_{Ma}	48.75	65.07	39.43	76.08	31
Y_{Ma}	90.92	−10.28	87.24	87.85	97
L_{Ma}	52.69	−65.43	20.75	68.65	162
C_{Ma}	59.61	−28.97	−46.21	54.56	238
V_{Ma}	28.39	23.63	−44.12	50.06	298
M_{Ma}	49.58	73.93	−9.55	74.55	353
N_{Ma}	18.89	0.0	0.0	0.0	0
W_{Ma}	96.9	0.0	0.0	0.0	0
R_{CIE}	39.92	58.74	27.99	65.07	25
J_{CIE}	81.26	−2.88	71.56	71.62	92
G_{CIE}	52.23	−42.41	13.6	44.55	162
B_{CIE}	30.57	1.41	−46.46	46.49	272

	$L^*=L^*_a$	a^*_a	b^*_a	$C^*_{ab,a}$	$h^*_{ab,a}$
r00	48.88	66.47	31.67	73.63	25
r25	55.85	52.39	47.48	70.7	42
r50	65.45	35.22	58.37	68.17	59
r75	75.19	17.82	69.41	71.66	76
g00	87.03	−3.34	82.83	82.9	92
g25	80.72	−25.0	69.5	73.86	110
g50	70.64	−39.53	51.97	65.3	127
g75	61.93	−52.09	36.83	63.8	145
g00	52.8	−65.27	20.93	68.56	162
g25	55.7	−49.57	−8.38	50.28	190
g50	57.82	−38.39	−28.91	48.07	217
g75	55.5	−22.04	−45.94	50.97	244
b00	41.6	1.37	−45.0	45.03	272
b25	29.0	25.08	−43.12	49.89	300
b50	38.04	46.53	−28.38	54.51	329
b75	49.48	72.88	−3.75	72.98	357

Ein und Ausgabe: Farbmetrisches Drucker-Reflektiv-System ORS19_96a für relativen CIELAB-Buntton $h^* = lab^*h^* = h_{ab}/360 = 244/360 = 0.679$ $u^* = g75b$ lab^*rgb^*

Daten für jede Farbe: lab^*tch^* und lab^*icu^*

Elementar-Buntkontext: $u^* = g75b$

Kontrastreduzierungsfaktor: $c_R = 1.0$

Dreiecks-Helligkeit t^*

Daten für Maximalfarbe (Ma): $LAB^*LAB^*_{Ma}$: 55 −21 −45 $LAB^*LCH^*_{Ma}$: 55 51 244 $lab^*rgb^*_{Ma}$: 0.0 0.5 1.0 $lab^*ohv^*_{Ma}$: 0.0 0.87 1.0

Dreiecks-Helligkeit t^*

%Umfang $u^*_{rel} = 89$

%Regularität $g^*_{H,rel} = 72$ $g^*_{C,rel} = 57$

ORS19_96a; adaptierte CIELAB-Daten

	$L^*=L^*_a$	a^*_a	b^*_a	$C^*_{ab,a}$	$h^*_{ab,a}$
O_{Ma}	48.75	65.07	39.43	76.08	31
Y_{Ma}	90.92	−10.28	87.24	87.85	97
L_{Ma}	52.69	−65.43	20.75	68.65	162
C_{Ma}	59.61	−28.97	−46.21	54.56	238
V_{Ma}	28.39	23.63	−44.12	50.06	298
M_{Ma}	49.58	73.93	−9.55	74.55	353
N_{Ma}	18.89	0.0	0.0	0.0	0
W_{Ma}	96.9	0.0	0.0	0.0	0
R_{CIE}	39.92	58.74	27.99	65.07	25
J_{CIE}	81.26	−2.88	71.56	71.62	92
G_{CIE}	52.23	−42.41	13.6	44.55	162
B_{CIE}	30.57	1.41	−46.46	46.49	272

	$L^*=L^*_a$	a^*_a	b^*_a	$C^*_{ab,a}$	$h^*_{ab,a}$
r00	48.88	66.47	31.67	73.63	25
r25	55.85	52.39	47.48	70.7	42
r50	65.45	35.22	58.37	68.17	59
r75	75.19	17.82	69.41	71.66	76
g00	87.03	−3.34	82.83	82.9	92
g25	80.72	−25.0	69.5	73.86	110
g50	70.64	−39.53	51.97	65.3	127
g75	61.93	−52.09	36.83	63.8	145
g00	52.8	−65.27	20.93	68.56	162
g25	55.7	−49.57	−8.38	50.28	190
g50	57.82	−38.39	−28.91	48.07	217
g75	55.5	−22.04	−45.94	50.97	244
b00	41.6	1.37	−45.0	45.03	272
b25	29.0	25.08	−43.12	49.89	300
b50	38.04	46.53	−28.38	54.51	329
b75	49.48	72.88	−3.75	72.98	357

Ein und Ausgabe: Farbmetrisches Drucker-Reflektiv-System ORS19_96a für relativen CIELAB-Buntton $h^* = lab^*h^* = h_{ab}/360 = 272/360 = 0.755$ $u^* = b00r$ lab^*rgb^*

Daten für jede Farbe: lab^*tch^* und lab^*icu^*

Elementar-Buntkontext: $u^* = b00r$

Kontrastreduzierungsfaktor: $c_R = 1.0$

Dreiecks-Helligkeit t^*

Daten für Maximalfarbe (Ma): $LAB^*LAB^*_{Ma}$: 42 1 −44 $LAB^*LCH^*_{Ma}$: 42 45 272 $lab^*rgb^*_{Ma}$: 0.0 0.0 1.0 $lab^*ohv^*_{Ma}$: 0.0 0.42 1.0

Dreiecks-Helligkeit t^*

%Umfang $u^*_{rel} = 89$

%Regularität $g^*_{H,rel} = 72$ $g^*_{C,rel} = 57$

ORS19_96a; adaptierte CIELAB-Daten

	$L^*=L^*_a$	a^*_a	b^*_a	$C^*_{ab,a}$	$h^*_{ab,a}$
O_{Ma}	48.75	65.07	39.43	76.08	31
Y_{Ma}	90.92	−10.28	87.24	87.85	97
L_{Ma}	52.69	−65.43	20.75	68.65	162
C_{Ma}	59.61	−28.97	−46.21	54.56	238
V_{Ma}	28.39	23.63	−44.12	50.06	298
M_{Ma}	49.58	73.93	−9.55	74.55	353
N_{Ma}	18.89	0.0	0.0	0.0	0
W_{Ma}	96.9	0.0	0.0	0.0	0
R_{CIE}	39.92	58.74	27.99	65.07	25
J_{CIE}	81.26	−2.88	71.56	71.62	92
G_{CIE}	52.23	−42.41	13.6	44.55	162
B_{CIE}	30.57	1.41	−46.46	46.49	272

	$L^*=L^*_a$	a^*_a	b^*_a	$C^*_{ab,a}$	$h^*_{ab,a}$
r00	48.88	66.47	31.67	73.63	25
r25	55.85	52.39	47.48	70.7	42
r50	65.45	35.22	58.37	68.17	59
r75	75.19	17.82	69.41	71.66	76
g00	87.03	−3.34	82.83	82.9	92
g25	80.72	−25.0	69.5	73.86	110
g50	70.64	−39.53	51.97	65.3	127
g75	61.93	−52.09	36.83	63.8	145
g00	52.8	−65.27	20.93	68.56	162
g25	55.7	−49.57	−8.38	50.28	190
g50	57.82	−38.39	−28.91	48.07	217
g75	55.5	−22.04	−45.94	50.97	244
b00	41.6	1.37	−45.0	45.03	272
b25	29.0	25.08	−43.12	49.89	300
b50	38.04	46.53	−28.38	54.51	329
b75	49.48	72.88	−3.75	72.98	357

Ein und Ausgabe: Farbmetrisches Drucker-Reflektiv-System ORS19_96a für relativen CIELAB-Buntton $h^* = lab^*h^* = h_{ab}/360 = 300/360 = 0.834$ $u^* = b25r$ lab^*rgb^*

Daten für jede Farbe: lab^*tch^* und lab^*icu^*

Elementar-Buntkontext: $u^* = b25r$

Kontrastreduzierungsfaktor: $c_R = 1.0$

Dreiecks-Helligkeit t^*

Daten für Maximalfarbe (Ma): $LAB^*LAB^*_{Ma}$: 29 25 −42 $LAB^*LCH^*_{Ma}$: 29 50 300 $lab^*rgb^*_{Ma}$: 0.5 0.0 1.0 $lab^*ohv^*_{Ma}$: 0.03 0.0 1.0

Dreiecks-Helligkeit t^*

%Umfang $u^*_{rel} = 89$

%Regularität $g^*_{H,rel} = 72$ $g^*_{C,rel} = 57$

ORS19_96a; adaptierte CIELAB-Daten

	$L^*=L^*_a$	a^*_a	b^*_a	$C^*_{ab,a}$	$h^*_{ab,a}$
O_{Ma}	48.75	65.07	39.43	76.08	31
Y_{Ma}	90.92	−10.28	87.24	87.85	97
L_{Ma}	52.69	−65.43	20.75	68.65	162
C_{Ma}	59.61	−28.97	−46.21	54.56	238
V_{Ma}	28.39	23.63	−44.12	50.06	298
M_{Ma}	49.58	73.93	−9.55	74.55	353
N_{Ma}	18.89	0.0	0.0	0.0	0
W_{Ma}	96.9	0.0	0.0	0.0	0
R_{CIE}	39.92	58.74	27.99	65.07	25
J_{CIE}	81.26	−2.88	71.56	71.62	92
G_{CIE}	52.23	−42.41	13.6	44.55	162
B_{CIE}	30.57	1.41	−46.46	46.49	272

	$L^*=L^*_a$	a^*_a	b^*_a	$C^*_{ab,a}$	$h^*_{ab,a}$
r00	48.88	66.47	31.67	73.63	25
r25	55.85	52.39	47.48	70.7	42
r50	65.45	35.22	58.37	68.17	59
r75	75.19	17.82	69.41	71.66	76
g00	87.03	−3.34	82.83	82.9	92
g25	80.72	−25.0	69.5	73.86	110
g50	70.64	−39.53	51.97	65.3	127
g75	61.93	−52.09	36.83	63.8	145
g00	52.8	−65.27	20.93	68.56	162
g25	55.7	−49.57	−8.38	50.28	190
g50	57.82	−38.39	−28.91	48.07	217
g75	55.5	−22.04	−45.94	50.97	244
b00	41.6	1.37	−45.0	45.03	272
b25	29.0	25.08	−43.12	49.89	300
b50	38.04	46.53	−28.38	54.51	329
b75	49.48	72.88	−3.75	72.98	357

Ein und Ausgabe: Farbmetrisches Drucker-Reflektiv-System ORS19_96a für relativen CIELAB-Buntton $h^* = lab^*h^* = h_{ab}/360 = 329/360 = 0.913$ $u^* = b50r$ lab^*rgb^*

Daten für jede Farbe: lab^*tch^* und lab^*icu^*

Elementar-Buntkontext: $u^* = b50r$

Kontrastreduzierungsfaktor: $c_R = 1.0$

Dreiecks-Helligkeit t^*

Daten für Maximalfarbe (Ma): $LAB^*LAB^*_{Ma}$: 38 47 −27 $LAB^*LCH^*_{Ma}$: 38 55 329 $lab^*rgb^*_{Ma}$: 1.0 0.0 1.0 $lab^*ohv^*_{Ma}$: 0.46 0.0 1.0

Dreiecks-Helligkeit t^*

%Umfang $u^*_{rel} = 89$

%Regularität $g^*_{H,rel} = 72$ $g^*_{C,rel} = 57$

ORS19_96a; adaptierte CIELAB-Daten

	$L^*=L^*_a$	a^*_a	b^*_a	$C^*_{ab,a}$	$h^*_{ab,a}$
O_{Ma}	48.75	65.07	39.43	76.08	31
Y_{Ma}	90.92	−10.28	87.24	87.85	97
L_{Ma}	52.69	−65.43	20.75	68.65	162
C_{Ma}	59.61	−28.97	−46.21	54.56	238
V_{Ma}	28.39	23.63	−44.12	50.06	298
M_{Ma}	49.58	73.93	−9.55	74.55	353
N_{Ma}	18.89	0.0	0.0	0.0	0
W_{Ma}	96.9	0.0	0.0	0.0	0
R_{CIE}	39.92	58.74	27.99	65.07	25
J_{CIE}	81.26	−2.88	71.56	71.62	92
G_{CIE}	52.23	−42.41	13.6	44.55	162
B_{CIE}	30.57	1.41	−46.46	46.49	272

	$L^*=L^*_a$	a^*_a	b^*_a	$C^*_{ab,a}$	$h^*_{ab,a}$
r00	48.88	66.47	31.67	73.63	25
r25	55.85	52.39	47.48	70.7	42
r50	65.45	35.22	58.37	68.17	59
r75	75.19	17.82	69.41	71.66	76
g00	87.03	−3.34	82.83	82.9	92
g25	80.72	−25.0	69.5	73.86	110
g50	70.64	−39.53	51.97	65.3	127
g75	61.93	−52.09	36.83	63.8	145
g00	52.8	−65.27	20.93	68.56	162
g25	55.7	−49.57	−8.38	50.28	190
g50	57.82	−38.39	−28.91	48.07	217
g75	55.5	−22.04	−45.94	50.97	244
b00	41.6	1.37	−45.0	45.03	272
b25	29.0	25.08	−43.12	49.89	300
b50	38.04	46.53	−28.38	54.51	329
b75	49.48	72.88	−3.75	72.98	357

Ein und Ausgabe: Farbmetrisches Drucker-Reflektiv-System ORS19_96a für relativen CIELAB-Buntton $h^* = lab^*h^* = h_{ab}/360 = 357/360 = 0.992$ $u^* = b75r$ lab^*rgb^*

Daten für jede Farbe: lab^*tch^* und lab^*icu^*

Elementar-Buntkontext: $u^* = b75r$

Kontrastreduzierungsfaktor: $c_R = 1.0$

Dreiecks-Helligkeit t^*

Daten für Maximalfarbe (Ma): $LAB^*LAB^*_{Ma}$: 49 73 −3 $LAB^*LCH^*_{Ma}$: 49 73 357 $lab^*rgb^*_{Ma}$: 1.0 0.0 0.5 $lab^*ohv^*_{Ma}$: 1.0 0.0 0.88

Dreiecks-Helligkeit t^*

%Umfang $u^*_{rel} = 89$

%Regularität $g^*_{H,rel} = 72$ $g^*_{C,rel} = 57$

ORS19_96a; adaptierte CIELAB-Daten

	$L^*=L^*_a$	a^*_a	b^*_a	$C^*_{ab,a}$	$h^*_{ab,a}$
O_{Ma}	48.75	65.07	39.43	76.08	31
Y_{Ma}	90.92	−10.28	87.24	87.85	97
L_{Ma}	52.69	−65.43	20.75	68.65	162
C_{Ma}	59.61	−28.97	−46.21	54.56	238
V_{Ma}	28.39	23.63	−44.12	50.06	298
M_{Ma}	49.58	73.93	−9.55	74.55	353
N_{Ma}	18.89	0.0	0.0	0.0	0
W_{Ma}	96.9	0.0	0.0	0.0	0
R_{CIE}	39.92	58.74	27.99	65.07	25
J_{CIE}	81.26	−2.88	71.56	71.62	92
G_{CIE}	52.23	−42.41	13.6	44.55	162
B_{CIE}	30.57	1.41	−46.46	46.49	272

	$L^*=L^*_a$	a^*_a	b^*_a	$C^*_{ab,a}$	$h^*_{ab,a}$
r00	48.88	66.47	31.67	73.63	25
r25	55.85	52.39	47.48	70.7	42
r50	65.45	35.22	58.37	68.17	59
r75	75.19	17.82	69.41	71.66	76
g00	87.03	−3.34	82.83	82.9	92
g25	80.72	−25.0	69.5	73.86	110
g50	70.64	−39.53	51.97	65.3	127
g75	61.93	−52.09	36.83	63.8	145
g00	52.8	−65.27	20.93	68.56	162
g25	55.7	−49.57	−8.38	50.28	190
g50	57.82	−38.39	−28.91	48.07	217
g75	55.5	−22.04	−45.94	50.97	244
b00	41.6	1.37	−45.0	45.03	272
b25	29.0	25.08	−43.12	49.89	300
b50	38.04	46.53	−28.38	54.51	329
b75	49.48	72.88	−3.75	72.98	357

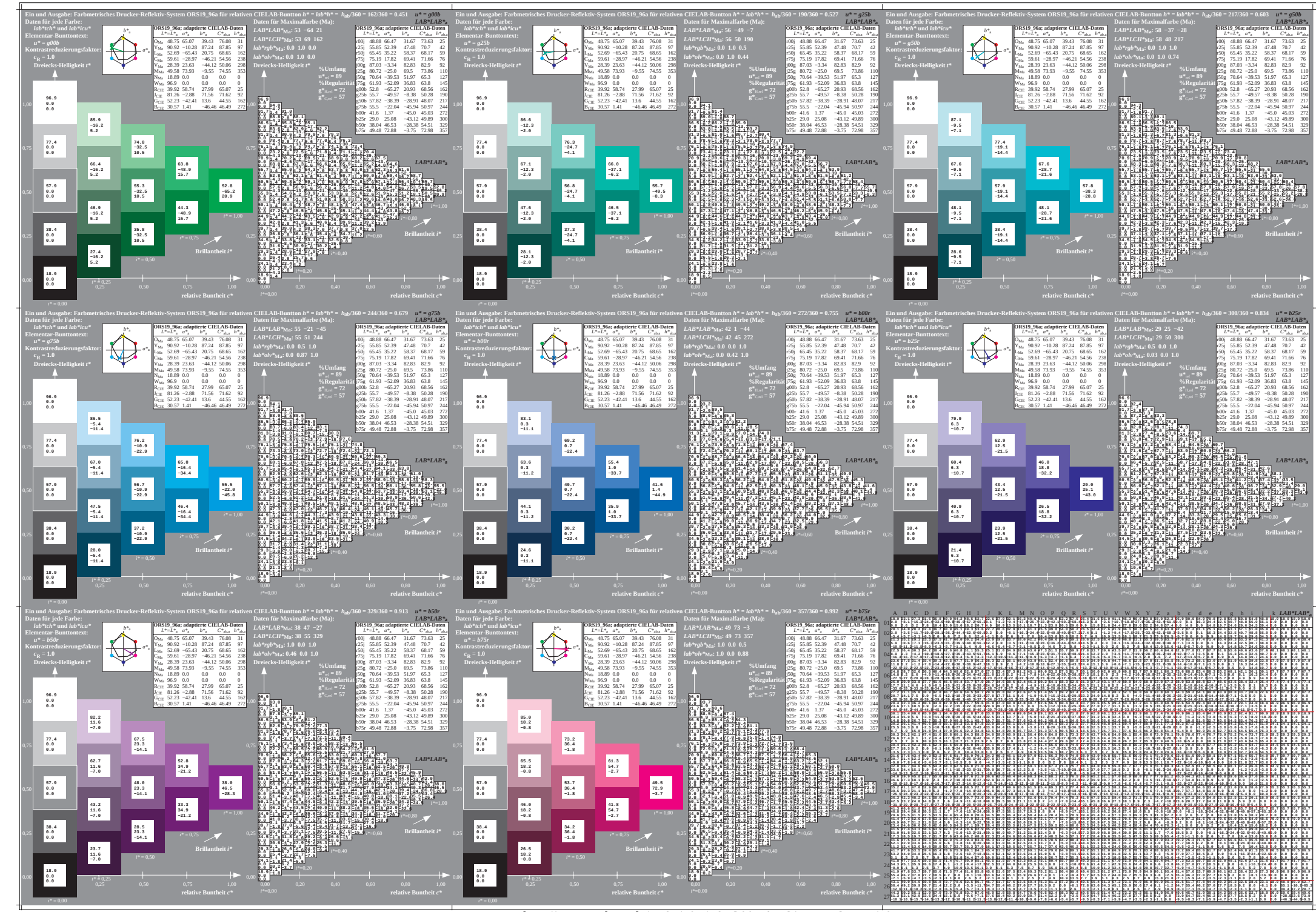
Ein und Ausgabe: Farbmetrisches Drucker-Reflektiv-System ORS19_96a für relativen CIELAB-Buntton h* = lab*b* = hab/360 = 162/360 = 0.451 u* = g00b
Daten für jede Farbe:
lab*tch* und lab*icu*
Elementar-Buntton:
u* = g00b
Kontrastreduzierungsfaktor:
cR = 1.0
Dreiecks-Helligkeit t*
Daten für Maximalfarbe (Ma):
LAB*LAB*Ma: 53 −64 21
LAB*LCH*Ma: 53 69 162
lab*rgb*Ma: 0.0 1.0 0.0
lab*olv*Ma: 0.0 1.0 0.0
ORS19_96a; adaptierte CIELAB-Daten
%Umfang
u*ref = 89
%Regularität
g*R,Ltot = 72
g*R,Cab = 57
LAB*LAB*a
Brillantheit i*
relative Buntheit c*
Ein und Ausgabe: Farbmetrisches Drucker-Reflektiv-System ORS19_96a für relativen CIELAB-Buntton h* = lab*b* = hab/360 = 190/360 = 0.527 u* = g25b
Daten für jede Farbe:
lab*tch* und lab*icu*
Elementar-Buntton:
u* = g25b
Kontrastreduzierungsfaktor:
cR = 1.0
Dreiecks-Helligkeit t*
Daten für Maximalfarbe (Ma):
LAB*LAB*Ma: 56 −49 −7
LAB*LCH*Ma: 56 50 190
lab*rgb*Ma: 0.0 1.0 0.5
lab*olv*Ma: 0.0 1.0 0.44
ORS19_96a; adaptierte CIELAB-Daten
%Umfang
u*ref = 89
%Regularität
g*R,Ltot = 72
g*R,Cab = 57
LAB*LAB*a
Brillantheit i*
relative Buntheit c*
Ein und Ausgabe: Farbmetrisches Drucker-Reflektiv-System ORS19_96a für relativen CIELAB-Buntton h* = lab*b* = hab/360 = 217/360 = 0.603 u* = g50b
Daten für jede Farbe:
lab*tch* und lab*icu*
Elementar-Buntton:
u* = g50b
Kontrastreduzierungsfaktor:
cR = 1.0
Dreiecks-Helligkeit t*
Daten für Maximalfarbe (Ma):
LAB*LAB*Ma: 58 −37 −28
LAB*LCH*Ma: 58 48 217
lab*rgb*Ma: 0.0 1.0 1.0
lab*olv*Ma: 0.0 1.0 0.74
ORS19_96a; adaptierte CIELAB-Daten
%Umfang
u*ref = 89
%Regularität
g*R,Ltot = 72
g*R,Cab = 57
LAB*LAB*a
Brillantheit i*
relative Buntheit c*
Ein und Ausgabe: Farbmetrisches Drucker-Reflektiv-System ORS19_96a für relativen CIELAB-Buntton h* = lab*b* = hab/360 = 244/360 = 0.679 u* = g75b
Daten für jede Farbe:
lab*tch* und lab*icu*
Elementar-Buntton:
u* = g75b
Kontrastreduzierungsfaktor:
cR = 1.0
Dreiecks-Helligkeit t*
Daten für Maximalfarbe (Ma):
LAB*LAB*Ma: 55 −21 −45
LAB*LCH*Ma: 55 51 244
lab*rgb*Ma: 0.0 0.5 1.0
lab*olv*Ma: 0.0 0.87 1.0
ORS19_96a; adaptierte CIELAB-Daten
%Umfang
u*ref = 89
%Regularität
g*R,Ltot = 72
g*R,Cab = 57
LAB*LAB*a
Brillantheit i*
relative Buntheit c*
Ein und Ausgabe: Farbmetrisches Drucker-Reflektiv-System ORS19_96a für relativen CIELAB-Buntton h* = lab*b* = hab/360 = 272/360 = 0.755 u* = b00r
Daten für jede Farbe:
lab*tch* und lab*icu*
Elementar-Buntton:
u* = b00r
Kontrastreduzierungsfaktor:
cR = 1.0
Dreiecks-Helligkeit t*
Daten für Maximalfarbe (Ma):
LAB*LAB*Ma: 42 1 −44
LAB*LCH*Ma: 42 45 272
lab*rgb*Ma: 0.0 0.0 1.0
lab*olv*Ma: 0.0 0.42 1.0
ORS19_96a; adaptierte CIELAB-Daten
%Umfang
u*ref = 89
%Regularität
g*R,Ltot = 72
g*R,Cab = 57
LAB*LAB*a
Brillantheit i*
relative Buntheit c*
Ein und Ausgabe: Farbmetrisches Drucker-Reflektiv-System ORS19_96a für relativen CIELAB-Buntton h* = lab*b* = hab/360 = 300/360 = 0.834 u* = b25r
Daten für jede Farbe:
lab*tch* und lab*icu*
Elementar-Buntton:
u* = b25r
Kontrastreduzierungsfaktor:
cR = 1.0
Dreiecks-Helligkeit t*
Daten für Maximalfarbe (Ma):
LAB*LAB*Ma: 29 25 −42
LAB*LCH*Ma: 29 50 300
lab*rgb*Ma: 0.5 0.0 1.0
lab*olv*Ma: 0.03 0.0 1.0
ORS19_96a; adaptierte CIELAB-Daten
%Umfang
u*ref = 89
%Regularität
g*R,Ltot = 72
g*R,Cab = 57
LAB*LAB*a
Brillantheit i*
relative Buntheit c*
Ein und Ausgabe: Farbmetrisches Drucker-Reflektiv-System ORS19_96a für relativen CIELAB-Buntton h* = lab*b* = hab/360 = 329/360 = 0.913 u* = b50r
Daten für jede Farbe:
lab*tch* und lab*icu*
Elementar-Buntton:
u* = b50r
Kontrastreduzierungsfaktor:
cR = 1.0
Dreiecks-Helligkeit t*
Daten für Maximalfarbe (Ma):
LAB*LAB*Ma: 38 47 −27
LAB*LCH*Ma: 38 55 329
lab*rgb*Ma: 1.0 0.0 0.5
lab*olv*Ma: 0.46 0.0 1.0
ORS19_96a; adaptierte CIELAB-Daten
%Umfang
u*ref = 89
%Regularität
g*R,Ltot = 72
g*R,Cab = 57
LAB*LAB*a
Brillantheit i*
relative Buntheit c*
Ein und Ausgabe: Farbmetrisches Drucker-Reflektiv-System ORS19_96a für relativen CIELAB-Buntton h* = lab*b* = hab/360 = 357/360 = 0.992 u* = b75r
Daten für jede Farbe:
lab*tch* und lab*icu*
Elementar-Buntton:
u* = b75r
Kontrastreduzierungsfaktor:
cR = 1.0
Dreiecks-Helligkeit t*
Daten für Maximalfarbe (Ma):
LAB*LAB*Ma: 49 73 −3
LAB*LCH*Ma: 49 73 357
lab*rgb*Ma: 1.0 0.0 0.5
lab*olv*Ma: 1.0 0.0 0.88
ORS19_96a; adaptierte CIELAB-Daten
%Umfang
u*ref = 89
%Regularität
g*R,Ltot = 72
g*R,Cab = 57
LAB*LAB*a
Brillantheit i*
relative Buntheit c*

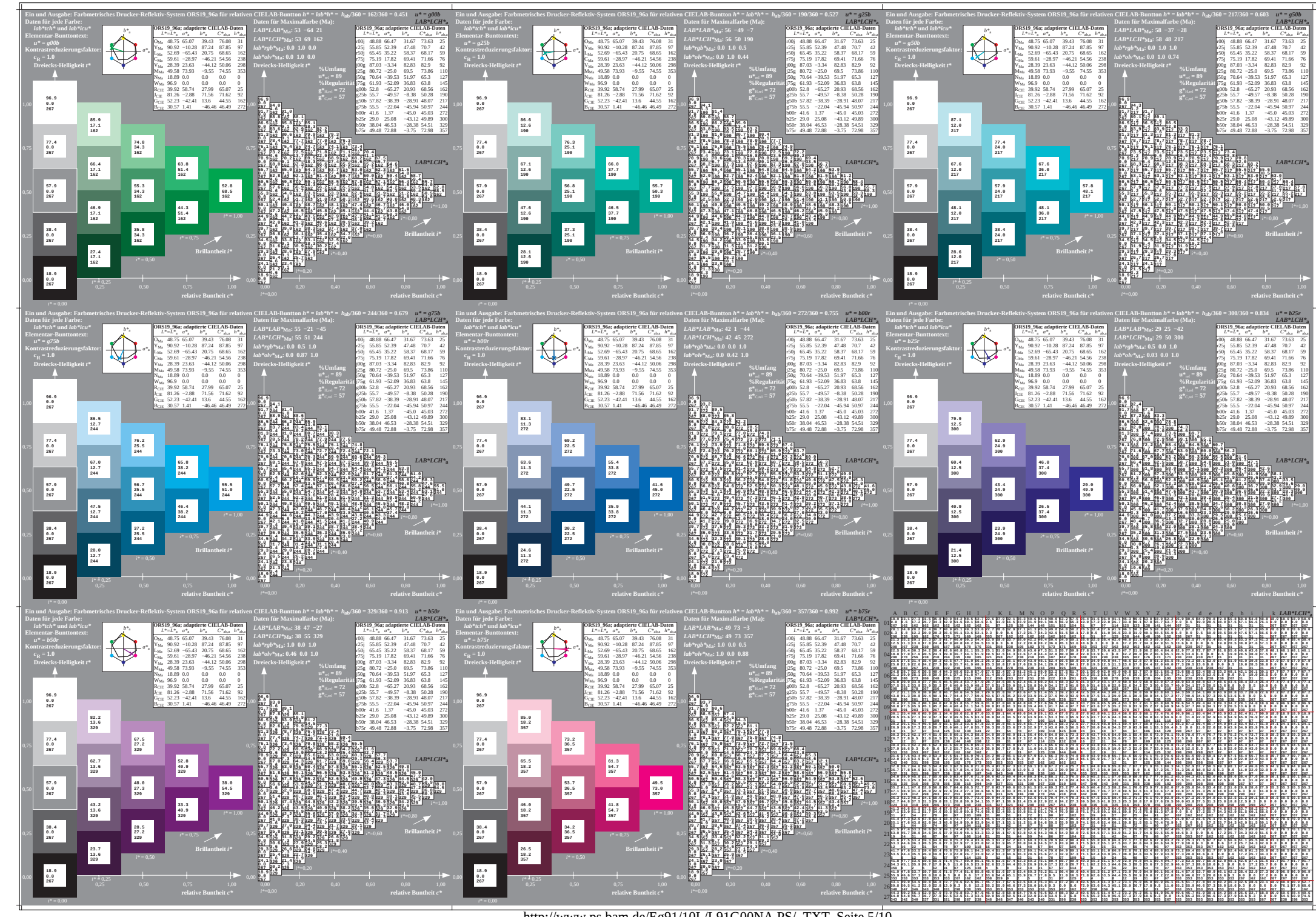
Ein und Ausgabe: Farbmetrisches Drucker-Reflektiv-System ORS19_96a für relativen CIELAB-Buntton h* = lab*h* = hab/360 = 162/360 = 0.451 u* = g00b
Daten für jede Farbe:
lab*tch* und lab*icu*
Elementar-Buntton-text:
u* = g00b
Kontrastreduzierungsfaktor:
cR = 1.0
Dreiecks-Helligkeit t*
Daten für Maximalfarbe (Ma):
LAB*LAB*Ma: 53 −64 21
LAB*LCH*Ma: 53 69 162
lab*rgb*Ma: 0.0 1.0 0.0
lab*olv*Ma: 0.0 1.0 0.0
ORS19_96a; adaptierte CIELAB-Daten
%Umfang
u*-col = 89
%Regularität
g*H,col = 72
g*C,col = 57
LAB*LCH*a
relative Buntheit c*
Brillantheit i*
Ein und Ausgabe: Farbmetrisches Drucker-Reflektiv-System ORS19_96a für relativen CIELAB-Buntton h* = lab*h* = hab/360 = 190/360 = 0.527 u* = g25b
Daten für jede Farbe:
lab*tch* und lab*icu*
Elementar-Buntton-text:
u* = g25b
Kontrastreduzierungsfaktor:
cR = 1.0
Dreiecks-Helligkeit t*
Daten für Maximalfarbe (Ma):
LAB*LAB*Ma: 56 −49 −7
LAB*LCH*Ma: 56 50 190
lab*rgb*Ma: 0.0 1.0 0.5
lab*olv*Ma: 0.0 1.0 0.44
ORS19_96a; adaptierte CIELAB-Daten
%Umfang
u*-col = 89
%Regularität
g*H,col = 72
g*C,col = 57
LAB*LCH*a
relative Buntheit c*
Brillantheit i*
Ein und Ausgabe: Farbmetrisches Drucker-Reflektiv-System ORS19_96a für relativen CIELAB-Buntton h* = lab*h* = hab/360 = 217/360 = 0.603 u* = g50b
Daten für jede Farbe:
lab*tch* und lab*icu*
Elementar-Buntton-text:
u* = g50b
Kontrastreduzierungsfaktor:
cR = 1.0
Dreiecks-Helligkeit t*
Daten für Maximalfarbe (Ma):
LAB*LAB*Ma: 58 −37 −28
LAB*LCH*Ma: 58 48 217
lab*rgb*Ma: 0.0 1.0 0.74
lab*olv*Ma: 0.0 1.0 0.74
ORS19_96a; adaptierte CIELAB-Daten
%Umfang
u*-col = 89
%Regularität
g*H,col = 72
g*C,col = 57
LAB*LCH*a
relative Buntheit c*
Brillantheit i*
Ein und Ausgabe: Farbmetrisches Drucker-Reflektiv-System ORS19_96a für relativen CIELAB-Buntton h* = lab*h* = hab/360 = 244/360 = 0.679 u* = g75b
Daten für jede Farbe:
lab*tch* und lab*icu*
Elementar-Buntton-text:
u* = g75b
Kontrastreduzierungsfaktor:
cR = 1.0
Dreiecks-Helligkeit t*
Daten für Maximalfarbe (Ma):
LAB*LAB*Ma: 55 −21 −45
LAB*LCH*Ma: 55 51 244
lab*rgb*Ma: 0.0 0.5 1.0
lab*olv*Ma: 0.0 0.87 1.0
ORS19_96a; adaptierte CIELAB-Daten
%Umfang
u*-col = 89
%Regularität
g*H,col = 72
g*C,col = 57
LAB*LCH*a
relative Buntheit c*
Brillantheit i*
Ein und Ausgabe: Farbmetrisches Drucker-Reflektiv-System ORS19_96a für relativen CIELAB-Buntton h* = lab*h* = hab/360 = 272/360 = 0.755 u* = b00r
Daten für jede Farbe:
lab*tch* und lab*icu*
Elementar-Buntton-text:
u* = b00r
Kontrastreduzierungsfaktor:
cR = 1.0
Dreiecks-Helligkeit t*
Daten für Maximalfarbe (Ma):
LAB*LAB*Ma: 42 1 −44
LAB*LCH*Ma: 42 45 272
lab*rgb*Ma: 0.0 0.0 1.0
lab*olv*Ma: 0.0 0.42 1.0
ORS19_96a; adaptierte CIELAB-Daten
%Umfang
u*-col = 89
%Regularität
g*H,col = 72
g*C,col = 57
LAB*LCH*a
relative Buntheit c*
Brillantheit i*
Ein und Ausgabe: Farbmetrisches Drucker-Reflektiv-System ORS19_96a für relativen CIELAB-Buntton h* = lab*h* = hab/360 = 300/360 = 0.834 u* = b25r
Daten für jede Farbe:
lab*tch* und lab*icu*
Elementar-Buntton-text:
u* = b25r
Kontrastreduzierungsfaktor:
cR = 1.0
Dreiecks-Helligkeit t*
Daten für Maximalfarbe (Ma):
LAB*LAB*Ma: 29 25 −42
LAB*LCH*Ma: 29 50 300
lab*rgb*Ma: 0.5 0.0 1.0
lab*olv*Ma: 0.03 0.0 1.0
ORS19_96a; adaptierte CIELAB-Daten
%Umfang
u*-col = 89
%Regularität
g*H,col = 72
g*C,col = 57
LAB*LCH*a
relative Buntheit c*
Brillantheit i*
Ein und Ausgabe: Farbmetrisches Drucker-Reflektiv-System ORS19_96a für relativen CIELAB-Buntton h* = lab*h* = hab/360 = 329/360 = 0.913 u* = b50r
Daten für jede Farbe:
lab*tch* und lab*icu*
Elementar-Buntton-text:
u* = b50r
Kontrastreduzierungsfaktor:
cR = 1.0
Dreiecks-Helligkeit t*
Daten für Maximalfarbe (Ma):
LAB*LAB*Ma: 38 47 −27
LAB*LCH*Ma: 38 55 329
lab*rgb*Ma: 1.0 0.0 1.0
lab*olv*Ma: 0.46 0.0 1.0
ORS19_96a; adaptierte CIELAB-Daten
%Umfang
u*-col = 89
%Regularität
g*H,col = 72
g*C,col = 57
LAB*LCH*a
relative Buntheit c*
Brillantheit i*
Ein und Ausgabe: Farbmetrisches Drucker-Reflektiv-System ORS19_96a für relativen CIELAB-Buntton h* = lab*h* = hab/360 = 357/360 = 0.992 u* = b75r
Daten für jede Farbe:
lab*tch* und lab*icu*
Elementar-Buntton-text:
u* = b75r
Kontrastreduzierungsfaktor:
cR = 1.0
Dreiecks-Helligkeit t*
Daten für Maximalfarbe (Ma):
LAB*LAB*Ma: 49 73 −3
LAB*LCH*Ma: 49 73 357
lab*rgb*Ma: 1.0 0.0 0.5
lab*olv*Ma: 1.0 0.0 0.88
ORS19_96a; adaptierte CIELAB-Daten
%Umfang
u*-col = 89
%Regularität
g*H,col = 72
g*C,col = 57
LAB*LCH*a
relative Buntheit c*
Brillantheit i*

Ein und Ausgabe: Farbmetrisches Drucker-Reflektiv-System ORS19_96a für relativen CIELAB-Buntton $h^* = lab^*h^* = h_{ab}/360 = 162/360 = 0.451$ $u^* = g00b$ lab^*tch^*

Daten für jede Farbe: lab^*tch^* und lab^*icu^*

Elementar-Buntton: $u^* = g00b$

Kontrastreduzierungsfaktor: $c_R = 1.0$

Dreiecks-Helligkeit t^*

Daten für Maximalfarbe (Ma): $LAB^*LAB^*_{Ma}$: 53 −64 21 $LAB^*LCH^*_{Ma}$: 53 69 162 $lab^*rgb^*_{Ma}$: 0.0 1.0 0.0 $lab^*olv^*_{Ma}$: 0.0 1.0 0.0

Dreiecks-Helligkeit t^*

%Umfang $u^*_{rel} = 89$

%Regularität $g^*_{H,rel} = 72$ $g^*_{C,rel} = 57$

ORS19_96a; adaptierte CIELAB-Daten

	$L^*=L^*_a$	a^*_a	b^*_a	$C^*_{ab,a}$	$h^*_{ab,a}$
O_{Ma}	48.75	65.07	39.43	76.08	31
Y_{Ma}	90.92	−10.28	87.24	87.85	97
L^*_{Ma}	52.69	−65.43	20.75	68.65	162
C^*_{Ma}	59.61	−28.97	−46.21	54.56	238
V_{Ma}	28.39	23.63	−44.12	50.06	298
M_{Ma}	49.58	73.93	−9.55	74.55	353
N_{Ma}	18.89	0.0	0.0	0.0	0
W_{Ma}	96.9	0.0	0.0	0.0	0
R^*_{CIE}	39.92	58.74	27.99	65.07	25
J^*_{CIE}	81.26	−2.88	71.56	71.62	92
G^*_{CIE}	52.23	−42.41	13.6	44.55	162
B^*_{CIE}	30.57	1.41	−46.46	46.49	272

	$L^*=L^*_a$	a^*_a	b^*_a	$C^*_{ab,a}$	$h^*_{ab,a}$
r00	48.88	66.47	31.67	73.63	25
r25	55.85	52.39	47.48	70.7	42
r50	65.45	35.22	58.37	68.17	59
r75	75.19	17.82	69.41	71.66	76
g00	87.03	−3.34	82.83	82.9	92
g25	80.72	−25.0	69.5	73.86	110
g50	70.64	−39.53	51.97	65.3	127
g75	61.93	−52.09	36.83	63.8	145
g00b	52.8	−65.27	20.93	68.56	162
g25b	55.7	−49.57	−8.38	50.28	190
g50b	57.82	−38.39	−28.91	48.07	217
g75b	55.5	−22.04	−45.94	50.97	244
b00r	41.6	1.37	−45.0	45.03	272
b25r	29.0	25.08	−43.12	49.89	300
b50r	38.04	46.53	−28.38	54.51	329
b75r	49.48	72.88	−3.75	72.98	357

Ein und Ausgabe: Farbmetrisches Drucker-Reflektiv-System ORS19_96a für relativen CIELAB-Buntton $h^* = lab^*h^* = h_{ab}/360 = 190/360 = 0.527$ $u^* = g25b$ lab^*tch^*

Daten für jede Farbe: lab^*tch^* und lab^*icu^*

Elementar-Buntton: $u^* = g25b$

Kontrastreduzierungsfaktor: $c_R = 1.0$

Dreiecks-Helligkeit t^*

Daten für Maximalfarbe (Ma): $LAB^*LAB^*_{Ma}$: 56 −49 −7 $LAB^*LCH^*_{Ma}$: 56 50 190 $lab^*rgb^*_{Ma}$: 0.0 1.0 0.5 $lab^*olv^*_{Ma}$: 0.0 1.0 0.44

Dreiecks-Helligkeit t^*

%Umfang $u^*_{rel} = 89$

%Regularität $g^*_{H,rel} = 72$ $g^*_{C,rel} = 57$

ORS19_96a; adaptierte CIELAB-Daten

	$L^*=L^*_a$	a^*_a	b^*_a	$C^*_{ab,a}$	$h^*_{ab,a}$
O_{Ma}	48.75	65.07	39.43	76.08	31
Y_{Ma}	90.92	−10.28	87.24	87.85	97
L^*_{Ma}	52.69	−65.43	20.75	68.65	162
C^*_{Ma}	59.61	−28.97	−46.21	54.56	238
V_{Ma}	28.39	23.63	−44.12	50.06	298
M_{Ma}	49.58	73.93	−9.55	74.55	353
N_{Ma}	18.89	0.0	0.0	0.0	0
W_{Ma}	96.9	0.0	0.0	0.0	0
R^*_{CIE}	39.92	58.74	27.99	65.07	25
J^*_{CIE}	81.26	−2.88	71.56	71.62	92
G^*_{CIE}	52.23	−42.41	13.6	44.55	162
B^*_{CIE}	30.57	1.41	−46.46	46.49	272

	$L^*=L^*_a$	a^*_a	b^*_a	$C^*_{ab,a}$	$h^*_{ab,a}$
r00	48.88	66.47	31.67	73.63	25
r25	55.85	52.39	47.48	70.7	42
r50	65.45	35.22	58.37	68.17	59
r75	75.19	17.82	69.41	71.66	76
g00	87.03	−3.34	82.83	82.9	92
g25	80.72	−25.0	69.5	73.86	110
g50	70.64	−39.53	51.97	65.3	127
g75	61.93	−52.09	36.83	63.8	145
g00b	52.8	−65.27	20.93	68.56	162
g25b	55.7	−49.57	−8.38	50.28	190
g50b	57.82	−38.39	−28.91	48.07	217
g75b	55.5	−22.04	−45.94	50.97	244
b00r	41.6	1.37	−45.0	45.03	272
b25r	29.0	25.08	−43.12	49.89	300
b50r	38.04	46.53	−28.38	54.51	329
b75r	49.48	72.88	−3.75	72.98	357

Ein und Ausgabe: Farbmetrisches Drucker-Reflektiv-System ORS19_96a für relativen CIELAB-Buntton $h^* = lab^*h^* = h_{ab}/360 = 217/360 = 0.603$ $u^* = g50b$ lab^*tch^*

Daten für jede Farbe: lab^*tch^* und lab^*icu^*

Elementar-Buntton: $u^* = g50b$

Kontrastreduzierungsfaktor: $c_R = 1.0$

Dreiecks-Helligkeit t^*

Daten für Maximalfarbe (Ma): $LAB^*LAB^*_{Ma}$: 58 −37 −28 $LAB^*LCH^*_{Ma}$: 58 48 217 $lab^*rgb^*_{Ma}$: 0.0 1.0 0.74 $lab^*olv^*_{Ma}$: 0.0 1.0 0.74

Dreiecks-Helligkeit t^*

%Umfang $u^*_{rel} = 89$

%Regularität $g^*_{H,rel} = 72$ $g^*_{C,rel} = 57$

ORS19_96a; adaptierte CIELAB-Daten

	$L^*=L^*_a$	a^*_a	b^*_a	$C^*_{ab,a}$	$h^*_{ab,a}$
O_{Ma}	48.75	65.07	39.43	76.08	31
Y_{Ma}	90.92	−10.28	87.24	87.85	97
L^*_{Ma}	52.69	−65.43	20.75	68.65	162
C^*_{Ma}	59.61	−28.97	−46.21	54.56	238
V_{Ma}	28.39	23.63	−44.12	50.06	298
M_{Ma}	49.58	73.93	−9.55	74.55	353
N_{Ma}	18.89	0.0	0.0	0.0	0
W_{Ma}	96.9	0.0	0.0	0.0	0
R^*_{CIE}	39.92	58.74	27.99	65.07	25
J^*_{CIE}	81.26	−2.88	71.56	71.62	92
G^*_{CIE}	52.23	−42.41	13.6	44.55	162
B^*_{CIE}	30.57	1.41	−46.46	46.49	272

	$L^*=L^*_a$	a^*_a	b^*_a	$C^*_{ab,a}$	$h^*_{ab,a}$
r00	48.88	66.47	31.67	73.63	25
r25	55.85	52.39	47.48	70.7	42
r50	65.45	35.22	58.37	68.17	59
r75	75.19	17.82	69.41	71.66	76
g00	87.03	−3.34	82.83	82.9	92
g25	80.72	−25.0	69.5	73.86	110
g50	70.64	−39.53	51.97	65.3	127
g75	61.93	−52.09	36.83	63.8	145
g00b	52.8	−65.27	20.93	68.56	162
g25b	55.7	−49.57	−8.38	50.28	190
g50b	57.82	−38.39	−28.91	48.07	217
g75b	55.5	−22.04	−45.94	50.97	244
b00r	41.6	1.37	−45.0	45.03	272
b25r	29.0	25.08	−43.12	49.89	300
b50r	38.04	46.53	−28.38	54.51	329
b75r	49.48	72.88	−3.75	72.98	357

Ein und Ausgabe: Farbmetrisches Drucker-Reflektiv-System ORS19_96a für relativen CIELAB-Buntton $h^* = lab^*h^* = h_{ab}/360 = 244/360 = 0.679$ $u^* = g75b$ lab^*tch^*

Daten für jede Farbe: lab^*tch^* und lab^*icu^*

Elementar-Buntton: $u^* = g75b$

Kontrastreduzierungsfaktor: $c_R = 1.0$

Dreiecks-Helligkeit t^*

Daten für Maximalfarbe (Ma): $LAB^*LAB^*_{Ma}$: 55 −21 −45 $LAB^*LCH^*_{Ma}$: 55 51 244 $lab^*rgb^*_{Ma}$: 0.0 0.5 1.0 $lab^*olv^*_{Ma}$: 0.0 0.87 1.0

Dreiecks-Helligkeit t^*

%Umfang $u^*_{rel} = 89$

%Regularität $g^*_{H,rel} = 72$ $g^*_{C,rel} = 57$

ORS19_96a; adaptierte CIELAB-Daten

	$L^*=L^*_a$	a^*_a	b^*_a	$C^*_{ab,a}$	$h^*_{ab,a}$
O_{Ma}	48.75	65.07	39.43	76.08	31
Y_{Ma}	90.92	−10.28	87.24	87.85	97
L^*_{Ma}	52.69	−65.43	20.75	68.65	162
C^*_{Ma}	59.61	−28.97	−46.21	54.56	238
V_{Ma}	28.39	23.63	−44.12	50.06	298
M_{Ma}	49.58	73.93	−9.55	74.55	353
N_{Ma}	18.89	0.0	0.0	0.0	0
W_{Ma}	96.9	0.0	0.0	0.0	0
R^*_{CIE}	39.92	58.74	27.99	65.07	25
J^*_{CIE}	81.26	−2.88	71.56	71.62	92
G^*_{CIE}	52.23	−42.41	13.6	44.55	162
B^*_{CIE}	30.57	1.41	−46.46	46.49	272

	$L^*=L^*_a$	a^*_a	b^*_a	$C^*_{ab,a}$	$h^*_{ab,a}$
r00	48.88	66.47	31.67	73.63	25
r25	55.85	52.39	47.48	70.7	42
r50	65.45	35.22	58.37	68.17	59
r75	75.19	17.82	69.41	71.66	76
g00	87.03	−3.34	82.83	82.9	92
g25	80.72	−25.0	69.5	73.86	110
g50	70.64	−39.53	51.97	65.3	127
g75	61.93	−52.09	36.83	63.8	145
g00b	52.8	−65.27	20.93	68.56	162
g25b	55.7	−49.57	−8.38	50.28	190
g50b	57.82	−38.39	−28.91	48.07	217
g75b	55.5	−22.04	−45.94	50.97	244
b00r	41.6	1.37	−45.0	45.03	272
b25r	29.0	25.08	−43.12	49.89	300
b50r	38.04	46.53	−28.38	54.51	329
b75r	49.48	72.88	−3.75	72.98	357

Ein und Ausgabe: Farbmetrisches Drucker-Reflektiv-System ORS19_96a für relativen CIELAB-Buntton $h^* = lab^*h^* = h_{ab}/360 = 272/360 = 0.755$ $u^* = b00r$ lab^*tch^*

Daten für jede Farbe: lab^*tch^* und lab^*icu^*

Elementar-Buntton: $u^* = b00r$

Kontrastreduzierungsfaktor: $c_R = 1.0$

Dreiecks-Helligkeit t^*

Daten für Maximalfarbe (Ma): $LAB^*LAB^*_{Ma}$: 42 1 −44 $LAB^*LCH^*_{Ma}$: 42 45 272 $lab^*rgb^*_{Ma}$: 0.0 0.0 1.0 $lab^*olv^*_{Ma}$: 0.0 0.42 1.0

Dreiecks-Helligkeit t^*

%Umfang $u^*_{rel} = 89$

%Regularität $g^*_{H,rel} = 72$ $g^*_{C,rel} = 57$

ORS19_96a; adaptierte CIELAB-Daten

	$L^*=L^*_a$	a^*_a	b^*_a	$C^*_{ab,a}$	$h^*_{ab,a}$
O_{Ma}	48.75	65.07	39.43	76.08	31
Y_{Ma}	90.92	−10.28	87.24	87.85	97
L^*_{Ma}	52.69	−65.43	20.75	68.65	162
C^*_{Ma}	59.61	−28.97	−46.21	54.56	238
V_{Ma}	28.39	23.63	−44.12	50.06	298
M_{Ma}	49.58	73.93	−9.55	74.55	353
N_{Ma}	18.89	0.0	0.0	0.0	0
W_{Ma}	96.9	0.0	0.0	0.0	0
R^*_{CIE}	39.92	58.74	27.99	65.07	25
J^*_{CIE}	81.26	−2.88	71.56	71.62	92
G^*_{CIE}	52.23	−42.41	13.6	44.55	162
B^*_{CIE}	30.57	1.41	−46.46	46.49	272

	$L^*=L^*_a$	a^*_a	b^*_a	$C^*_{ab,a}$	$h^*_{ab,a}$
r00	48.88	66.47	31.67	73.63	25
r25	55.85	52.39	47.48	70.7	42
r50	65.45	35.22	58.37	68.17	59
r75	75.19	17.82	69.41	71.66	76
g00	87.03	−3.34	82.83	82.9	92
g25	80.72	−25.0	69.5	73.86	110
g50	70.64	−39.53	51.97	65.3	127
g75	61.93	−52.09	36.83	63.8	145
g00b	52.8	−65.27	20.93	68.56	162
g25b	55.7	−49.57	−8.38	50.28	190
g50b	57.82	−38.39	−28.91	48.07	217
g75b	55.5	−22.04	−45.94	50.97	244
b00r	41.6	1.37	−45.0	45.03	272
b25r	29.0	25.08	−43.12	49.89	300
b50r	38.04	46.53	−28.38	54.51	329
b75r	49.48	72.88	−3.75	72.98	357

Ein und Ausgabe: Farbmetrisches Drucker-Reflektiv-System ORS19_96a für relativen CIELAB-Buntton $h^* = lab^*h^* = h_{ab}/360 = 300/360 = 0.834$ $u^* = b25r$ lab^*tch^*

Daten für jede Farbe: lab^*tch^* und lab^*icu^*

Elementar-Buntton: $u^* = b25r$

Kontrastreduzierungsfaktor: $c_R = 1.0$

Dreiecks-Helligkeit t^*

Daten für Maximalfarbe (Ma): $LAB^*LAB^*_{Ma}$: 29 25 −42 $LAB^*LCH^*_{Ma}$: 29 50 300 $lab^*rgb^*_{Ma}$: 0.5 0.0 1.0 $lab^*olv^*_{Ma}$: 0.03 0.0 1.0

Dreiecks-Helligkeit t^*

%Umfang $u^*_{rel} = 89$

%Regularität $g^*_{H,rel} = 72$ $g^*_{C,rel} = 57$

ORS19_96a; adaptierte CIELAB-Daten

	$L^*=L^*_a$	a^*_a	b^*_a	$C^*_{ab,a}$	$h^*_{ab,a}$
O_{Ma}	48.75	65.07	39.43	76.08	31
Y_{Ma}	90.92	−10.28	87.24	87.85	97
L^*_{Ma}	52.69	−65.43	20.75	68.65	162
C^*_{Ma}	59.61	−28.97	−46.21	54.56	238
V_{Ma}	28.39	23.63	−44.12	50.06	298
M_{Ma}	49.58	73.93	−9.55	74.55	353
N_{Ma}	18.89	0.0	0.0	0.0	0
W_{Ma}	96.9	0.0	0.0	0.0	0
R^*_{CIE}	39.92	58.74	27.99	65.07	25
J^*_{CIE}	81.26	−2.88	71.56	71.62	92
G^*_{CIE}	52.23	−42.41	13.6	44.55	162
B^*_{CIE}	30.57	1.41	−46.46	46.49	272

	$L^*=L^*_a$	a^*_a	b^*_a	$C^*_{ab,a}$	$h^*_{ab,a}$
r00	48.88	66.47	31.67	73.63	25
r25	55.85	52.39	47.48	70.7	42
r50	65.45	35.22	58.37	68.17	59
r75	75.19	17.82	69.41	71.66	76
g00	87.03	−3.34	82.83	82.9	92
g25	80.72	−25.0	69.5	73.86	110
g50	70.64	−39.53	51.97	65.3	127
g75	61.93	−52.09	36.83	63.8	145
g00b	52.8	−65.27	20.93	68.56	162
g25b	55.7	−49.57	−8.38	50.28	190
g50b	57.82	−38.39	−28.91	48.07	217
g75b	55.5	−22.04	−45.94	50.97	244
b00r	41.6	1.37	−45.0	45.03	272
b25r	29.0	25.08	−43.12	49.89	300
b50r	38.04	46.53	−28.38	54.51	329
b75r	49.48	72.88	−3.75	72.98	357

Ein und Ausgabe: Farbmetrisches Drucker-Reflektiv-System ORS19_96a für relativen CIELAB-Buntton $h^* = lab^*h^* = h_{ab}/360 = 329/360 = 0.913$ $u^* = b50r$ lab^*tch^*

Daten für jede Farbe: lab^*tch^* und lab^*icu^*

Elementar-Buntton: $u^* = b50r$

Kontrastreduzierungsfaktor: $c_R = 1.0$

Dreiecks-Helligkeit t^*

Daten für Maximalfarbe (Ma): $LAB^*LAB^*_{Ma}$: 38 47 −27 $LAB^*LCH^*_{Ma}$: 38 55 329 $lab^*rgb^*_{Ma}$: 1.0 0.0 1.0 $lab^*olv^*_{Ma}$: 0.46 0.0 1.0

Dreiecks-Helligkeit t^*

%Umfang $u^*_{rel} = 89$

%Regularität $g^*_{H,rel} = 72$ $g^*_{C,rel} = 57$

ORS19_96a; adaptierte CIELAB-Daten

	$L^*=L^*_a$	a^*_a	b^*_a	$C^*_{ab,a}$	$h^*_{ab,a}$
O_{Ma}	48.75	65.07	39.43	76.08	31
Y_{Ma}	90.92	−10.28	87.24	87.85	97
L^*_{Ma}	52.69	−65.43	20.75	68.65	162
C^*_{Ma}	59.61	−28.97	−46.21	54.56	238
V_{Ma}	28.39	23.63	−44.12	50.06	298
M_{Ma}	49.58	73.93	−9.55	74.55	353
N_{Ma}	18.89	0.0	0.0	0.0	0
W_{Ma}	96.9	0.0	0.0	0.0	0
R^*_{CIE}	39.92	58.74	27.99	65.07	25
J^*_{CIE}	81.26	−2.88	71.56	71.62	92
G^*_{CIE}	52.23	−42.41	13.6	44.55	162
B^*_{CIE}	30.57	1.41	−46.46	46.49	272

	$L^*=L^*_a$	a^*_a	b^*_a	$C^*_{ab,a}$	$h^*_{ab,a}$
r00	48.88	66.47	31.67	73.63	25
r25	55.85	52.39	47.48	70.7	42
r50	65.45	35.22	58.37	68.17	59
r75	75.19	17.82	69.41	71.66	76
g00	87.03	−3.34	82.83	82.9	92
g25	80.72	−25.0	69.5	73.86	110
g50	70.64	−39.53	51.97	65.3	127
g75	61.93	−52.09	36.83	63.8	145
g00b	52.8	−65.27	20.93	68.56	162
g25b	55.7	−49.57	−8.38	50.28	190
g50b	57.82	−38.39	−28.91	48.07	217
g75b	55.5	−22.04	−45.94	50.97	244
b00r	41.6	1.37	−45.0	45.03	272
b25r	29.0	25.08	−43.12	49.89	300
b50r	38.04	46.53	−28.38	54.51	329
b75r	49.48	72.88	−3.75	72.98	357

Ein und Ausgabe: Farbmetrisches Drucker-Reflektiv-System ORS19_96a für relativen CIELAB-Buntton $h^* = lab^*h^* = h_{ab}/360 = 357/360 = 0.992$ $u^* = b75r$ lab^*tch^*

Daten für jede Farbe: lab^*tch^* und lab^*icu^*

Elementar-Buntton: $u^* = b75r$

Kontrastreduzierungsfaktor: $c_R = 1.0$

Dreiecks-Helligkeit t^*

Daten für Maximalfarbe (Ma): $LAB^*LAB^*_{Ma}$: 49 73 −3 $LAB^*LCH^*_{Ma}$: 49 73 357 $lab^*rgb^*_{Ma}$: 1.0 0.0 0.5 $lab^*olv^*_{Ma}$: 1.0 0.0 0.88

Dreiecks-Helligkeit t^*

%Umfang $u^*_{rel} = 89$

%Regularität $g^*_{H,rel} = 72$ $g^*_{C,rel} = 57$

ORS19_96a; adaptierte CIELAB-Daten

	$L^*=L^*_a$	a^*_a	b^*_a	$C^*_{ab,a}$	$h^*_{ab,a}$
O_{Ma}	48.75	65.07	39.43	76.08	31
Y_{Ma}	90.92	−10.28	87.24	87.85	97
L^*_{Ma}	52.69	−65.43	20.75	68.65	162
C^*_{Ma}	59.61	−28.97	−46.21	54.56	238
V_{Ma}	28.39	23.63	−44.12	50.06	298
M_{Ma}	49.58	73.93	−9.55	74.55	353
N_{Ma}	18.89	0.0	0.0	0.0	0
W_{Ma}	96.9	0.0	0.0	0.0	0
R^*_{CIE}	39.92	58.74	27.99	65.07	25
J^*_{CIE}	81.26	−2.88	71.56	71.62	92
G^*_{CIE}	52.23	−42.41	13.6	44.55	162
B^*_{CIE}	30.57	1.41	−46.46	46.49	272

	$L^*=L^*_a$	a^*_a	b^*_a	$C^*_{ab,a}$	$h^*_{ab,a}$
r00	48.88	66.47	31.67	73.63	25
r25	55.85	52.39	47.48	70.7	42
r50	65.45	35.22	58.37	68.17	59
r75	75.19	17.82	69.41	71.66	76
g00	87.03	−3.34	82.83	82.9	92
g25	80.72	−25.0	69.5	73.86	110
g50	70.64	−39.53	51.97	65.3	127
g75	61.93	−52.09	36.83	63.8	145
g00b	52.8	−65.27	20.93	68.56	162
g25b	55.7	−49.57	−8.38	50.28	190
g50b	57.82	−38.39	−28.91	48.07	217
g75b	55.5	−22.04	−45.94	50.97	244
b00r	41.6	1.37	−45.0	45.03	272
b25r	29.0	25.08	−43.12	49.89	300
b50r	38.04	46.53	−28.38	54.51	329
b75r	49.48	72.88	−3.75	72.98	357

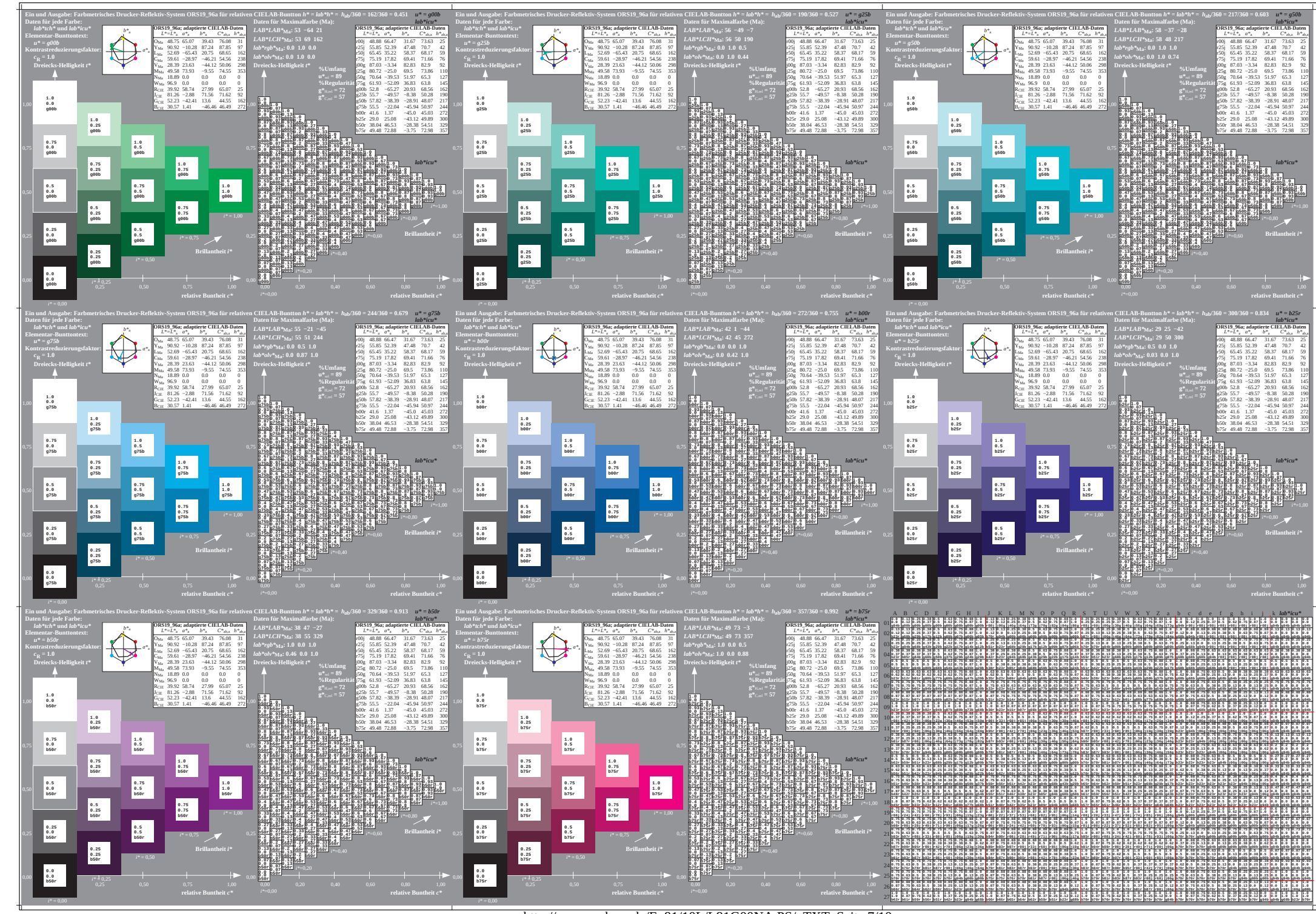
Ein und Ausgabe: Farbmetrisches Drucker-Reflektiv-System ORS19_96a für relativen CIELAB-Buntton h* = lab*h* = hab/360 = 162/360 = 0.451 u* = g00b
Daten für jede Farbe:
lab*tch* und lab*icu*
Elementar-Buntkontext:
u* = g00b
Kontrastreduzierungsfaktor:
cR = 1.0
Dreiecks-Helligkeit t*
Daten für Maximalfarbe (Ma):
LAB*LAB*Ma: 53 −64 21
LAB*LCH*Ma: 53 69 162
lab*rgb*Ma: 0.0 1.0 0.0
lab*olv*Ma: 0.0 1.0 0.0
ORS19_96a; adaptierte CIELAB-Daten
%Umfang u*=cl = 89
%Regularität g*R,Unif = 72
g*R,Cont = 57
Brillantheit i*
relative Buntheit c*
Ein und Ausgabe: Farbmetrisches Drucker-Reflektiv-System ORS19_96a für relativen CIELAB-Buntton h* = lab*h* = hab/360 = 190/360 = 0.527 u* = g25b
Daten für jede Farbe:
lab*tch* und lab*icu*
Elementar-Buntkontext:
u* = g25b
Kontrastreduzierungsfaktor:
cR = 1.0
Dreiecks-Helligkeit t*
Daten für Maximalfarbe (Ma):
LAB*LAB*Ma: 56 −49 −7
LAB*LCH*Ma: 56 50 190
lab*rgb*Ma: 0.0 1.0 0.5
lab*olv*Ma: 0.0 1.0 0.44
ORS19_96a; adaptierte CIELAB-Daten
%Umfang u*=cl = 89
%Regularität g*R,Unif = 72
g*R,Cont = 57
Brillantheit i*
relative Buntheit c*
Ein und Ausgabe: Farbmetrisches Drucker-Reflektiv-System ORS19_96a für relativen CIELAB-Buntton h* = lab*h* = hab/360 = 217/360 = 0.603 u* = g50b
Daten für jede Farbe:
lab*tch* und lab*icu*
Elementar-Buntkontext:
u* = g50b
Kontrastreduzierungsfaktor:
cR = 1.0
Dreiecks-Helligkeit t*
Daten für Maximalfarbe (Ma):
LAB*LAB*Ma: 58 −37 −28
LAB*LCH*Ma: 58 48 217
lab*rgb*Ma: 0.0 1.0 0.74
lab*olv*Ma: 0.0 1.0 0.74
ORS19_96a; adaptierte CIELAB-Daten
%Umfang u*=cl = 89
%Regularität g*R,Unif = 72
g*R,Cont = 57
Brillantheit i*
relative Buntheit c*
Ein und Ausgabe: Farbmetrisches Drucker-Reflektiv-System ORS19_96a für relativen CIELAB-Buntton h* = lab*h* = hab/360 = 244/360 = 0.679 u* = g75b
Daten für jede Farbe:
lab*tch* und lab*icu*
Elementar-Buntkontext:
u* = g75b
Kontrastreduzierungsfaktor:
cR = 1.0
Dreiecks-Helligkeit t*
Daten für Maximalfarbe (Ma):
LAB*LAB*Ma: 55 −21 −45
LAB*LCH*Ma: 55 51 244
lab*rgb*Ma: 0.0 0.5 1.0
lab*olv*Ma: 0.0 0.87 1.0
ORS19_96a; adaptierte CIELAB-Daten
%Umfang u*=cl = 89
%Regularität g*R,Unif = 72
g*R,Cont = 57
Brillantheit i*
relative Buntheit c*
Ein und Ausgabe: Farbmetrisches Drucker-Reflektiv-System ORS19_96a für relativen CIELAB-Buntton h* = lab*h* = hab/360 = 272/360 = 0.755 u* = b00r
Daten für jede Farbe:
lab*tch* und lab*icu*
Elementar-Buntkontext:
u* = b00r
Kontrastreduzierungsfaktor:
cR = 1.0
Dreiecks-Helligkeit t*
Daten für Maximalfarbe (Ma):
LAB*LAB*Ma: 42 1 −44
LAB*LCH*Ma: 42 45 272
lab*rgb*Ma: 0.0 0.0 1.0
lab*olv*Ma: 0.0 0.42 1.0
ORS19_96a; adaptierte CIELAB-Daten
%Umfang u*=cl = 89
%Regularität g*R,Unif = 72
g*R,Cont = 57
Brillantheit i*
relative Buntheit c*
Ein und Ausgabe: Farbmetrisches Drucker-Reflektiv-System ORS19_96a für relativen CIELAB-Buntton h* = lab*h* = hab/360 = 300/360 = 0.834 u* = b25r
Daten für jede Farbe:
lab*tch* und lab*icu*
Elementar-Buntkontext:
u* = b25r
Kontrastreduzierungsfaktor:
cR = 1.0
Dreiecks-Helligkeit t*
Daten für Maximalfarbe (Ma):
LAB*LAB*Ma: 29 25 −42
LAB*LCH*Ma: 29 50 300
lab*rgb*Ma: 0.5 0.0 1.0
lab*olv*Ma: 0.03 0.0 1.0
ORS19_96a; adaptierte CIELAB-Daten
%Umfang u*=cl = 89
%Regularität g*R,Unif = 72
g*R,Cont = 57
Brillantheit i*
relative Buntheit c*
Ein und Ausgabe: Farbmetrisches Drucker-Reflektiv-System ORS19_96a für relativen CIELAB-Buntton h* = lab*h* = hab/360 = 329/360 = 0.913 u* = b50r
Daten für jede Farbe:
lab*tch* und lab*icu*
Elementar-Buntkontext:
u* = b50r
Kontrastreduzierungsfaktor:
cR = 1.0
Dreiecks-Helligkeit t*
Daten für Maximalfarbe (Ma):
LAB*LAB*Ma: 38 47 −27
LAB*LCH*Ma: 38 55 329
lab*rgb*Ma: 1.0 0.0 1.0
lab*olv*Ma: 0.46 0.0 1.0
ORS19_96a; adaptierte CIELAB-Daten
%Umfang u*=cl = 89
%Regularität g*R,Unif = 72
g*R,Cont = 57
Brillantheit i*
relative Buntheit c*
Ein und Ausgabe: Farbmetrisches Drucker-Reflektiv-System ORS19_96a für relativen CIELAB-Buntton h* = lab*h* = hab/360 = 357/360 = 0.992 u* = b75r
Daten für jede Farbe:
lab*tch* und lab*icu*
Elementar-Buntkontext:
u* = b75r
Kontrastreduzierungsfaktor:
cR = 1.0
Dreiecks-Helligkeit t*
Daten für Maximalfarbe (Ma):
LAB*LAB*Ma: 49 73 −3
LAB*LCH*Ma: 49 73 357
lab*rgb*Ma: 1.0 0.0 0.5
lab*olv*Ma: 1.0 0.0 0.88
ORS19_96a; adaptierte CIELAB-Daten
%Umfang u*=cl = 89
%Regularität g*R,Unif = 72
g*R,Cont = 57
Brillantheit i*
relative Buntheit c*

Ein und Ausgabe: Farbmetrisches Drucker-Reflektiv-System ORS19_96a für relativen CIELAB-Buntton $h^* = lab^*h^* = h_{ab}/360 = 162/360 = 0.451$ $u^* = g00b$ LAB^*LAB^*

Daten für jede Farbe: lab^*tch^* und lab^*icu^*

Elementar-Buntton: $u^* = g00b$

Kontrastreduzierungsfaktor: $c_R = 1.0$

Dreiecks-Helligkeit t^*

Daten für Maximalfarbe (Ma): $LAB^*LAB^*_{Ma}$: 53 −64 21; $LAB^*LCH^*_{Ma}$: 53 69 162; $lab^*rgb^*_{Ma}$: 0.0 1.0 0.0; $lab^*olv^*_{Ma}$: 0.0 1.0 0.0

Dreiecks-Helligkeit t^*

%Umfang $u^*_{rel} = 89$; %Regularität $g^*_{H,rel} = 72$; $g^*_{C,rel} = 57$

ORS19_96; CIELAB-Daten

	$L^*=L^*$	a^*	b^*	C^*_{ab}	h^*_{ab}
O_M	48.75	65.16	40.76	76.86	32
Y_M	90.92	−10.77	89.36	90.01	97
L_M	52.69	−65.39	22.15	69.05	161
C_M	59.61	−29.03	−44.68	53.3	237
V_M	28.39	24.0	−43.17	49.4	299
M_M	49.58	74.01	−8.21	74.47	354
N_M	18.89	0.5	0.77	0.92	57
W_M	96.9	−0.56	2.23	2.3	104
R_{CIE}	39.92	58.74	27.99	65.07	25
J_{CIE}	81.26	−2.88	71.56	71.62	92
G_{CIE}	52.23	−42.41	13.6	44.55	162
B_{CIE}	30.57	1.41	−46.46	46.49	272

ORS19_96a; adaptierte CIELAB-Daten

	$L^*=L^*_a$	a^*_a	b^*_a	$C^*_{ab,a}$	$h^*_{ab,a}$
r00	48.88	66.47	31.67	73.63	25
r25	55.85	52.39	47.48	70.7	42
r50	65.45	35.22	58.37	68.17	59
r75	75.19	17.82	69.41	71.66	76
g00	87.03	−3.34	82.83	82.9	92
g25	80.72	−25.0	69.5	73.86	110
g50	70.64	−39.53	51.97	65.3	127
g75	61.93	−52.09	36.83	63.8	145
g00	52.8	−65.27	20.93	68.56	162
g25	55.7	−49.57	−8.38	50.28	190
g50	57.82	−38.39	−28.91	48.07	217
g75	55.5	−22.04	−45.94	50.97	244
b00	41.6	1.37	−45.0	45.03	272
b25	29.0	25.08	−43.12	49.89	300
b50	38.04	46.53	−28.38	54.51	329
b75	49.48	72.88	−3.75	72.98	357

Ein und Ausgabe: Farbmetrisches Drucker-Reflektiv-System ORS19_96a für relativen CIELAB-Buntton $h^* = lab^*h^* = h_{ab}/360 = 190/360 = 0.527$ $u^* = g25b$ LAB^*LAB^*

Daten für jede Farbe: lab^*tch^* und lab^*icu^*

Elementar-Buntton: $u^* = g25b$

Kontrastreduzierungsfaktor: $c_R = 1.0$

Dreiecks-Helligkeit t^*

Daten für Maximalfarbe (Ma): $LAB^*LAB^*_{Ma}$: 56 −49 −7; $LAB^*LCH^*_{Ma}$: 56 50 190; $lab^*rgb^*_{Ma}$: 0.0 1.0 0.5; $lab^*olv^*_{Ma}$: 0.0 1.0 0.44

Dreiecks-Helligkeit t^*

%Umfang $u^*_{rel} = 89$; %Regularität $g^*_{H,rel} = 72$; $g^*_{C,rel} = 57$

ORS19_96; CIELAB-Daten

	$L^=L^*$	a^*	b^*	C^*_{ab}	h^*_{ab}
O_M	48.75	65.16	40.76	76.86	32
Y_M	90.92	−10.77	89.36	90.01	97
L_M	52.69	−65.39	22.15	69.05	161
C_M	59.61	−29.03	−44.68	53.3	237
V_M	28.39	24.0	−43.17	49.4	299
M_M	49.58	74.01	−8.21	74.47	354
N_M	18.89	0.5	0.77	0.92	57
W_M	96.9	−0.56	2.23	2.3	104
R_{CIE}	39.92	58.74	27.99	65.07	25
J_{CIE}	81.26	−2.88	71.56	71.62	92
G_{CIE}	52.23	−42.41	13.6	44.55	162
B_{CIE}	30.57	1.41	−46.46	46.49	272

ORS19_96a; adaptierte CIELAB-Daten

	$L^=L^*_a$	a^*_a	b^*_a	$C^*_{ab,a}$	$h^*_{ab,a}$
r00	48.88	66.47	31.67	73.63	25
r25	55.85	52.39	47.48	70.7	42
r50	65.45	35.22	58.37	68.17	59
r75	75.19	17.82	69.41	71.66	76
g00	87.03	−3.34	82.83	82.9	92
g25	80.72	−25.0	69.5	73.86	110
g50	70.64	−39.53	51.97	65.3	127
g75	61.93	−52.09	36.83	63.8	145
g00	52.8	−65.27	20.93	68.56	162
g25	55.7	−49.57	−8.38	50.28	190
g50	57.82	−38.39	−28.91	48.07	217
g75	55.5	−22.04	−45.94	50.97	244
b00	41.6	1.37	−45.0	45.03	272
b25	29.0	25.08	−43.12	49.89	300
b50	38.04	46.53	−28.38	54.51	329
b75	49.48	72.88	−3.75	72.98	357

Ein und Ausgabe: Farbmetrisches Drucker-Reflektiv-System ORS19_96a für relativen CIELAB-Buntton $h^* = lab^*h^* = h_{ab}/360 = 217/360 = 0.603$ $u^* = g50b$ LAB^*LAB^*

Daten für jede Farbe: lab^*tch^* und lab^*icu^*

Elementar-Buntton: $u^* = g50b$

Kontrastreduzierungsfaktor: $c_R = 1.0$

Dreiecks-Helligkeit t^*

Daten für Maximalfarbe (Ma): $LAB^*LAB^*_{Ma}$: 58 −37 −28; $LAB^*LCH^*_{Ma}$: 58 48 217; $lab^*rgb^*_{Ma}$: 0.0 1.0 0.74; $lab^*olv^*_{Ma}$: 0.0 1.0 0.74

Dreiecks-Helligkeit t^*

%Umfang $u^*_{rel} = 89$; %Regularität $g^*_{H,rel} = 72$; $g^*_{C,rel} = 57$

ORS19_96; CIELAB-Daten

	$L^=L^*$	a^*	b^*	C^*_{ab}	h^*_{ab}
O_M	48.75	65.16	40.76	76.86	32
Y_M	90.92	−10.77	89.36	90.01	97
L_M	52.69	−65.39	22.15	69.05	161
C_M	59.61	−29.03	−44.68	53.3	237
V_M	28.39	24.0	−43.17	49.4	299
M_M	49.58	74.01	−8.21	74.47	354
N_M	18.89	0.5	0.77	0.92	57
W_M	96.9	−0.56	2.23	2.3	104
R_{CIE}	39.92	58.74	27.99	65.07	25
J_{CIE}	81.26	−2.88	71.56	71.62	92
G_{CIE}	52.23	−42.41	13.6	44.55	162
B_{CIE}	30.57	1.41	−46.46	46.49	272

ORS19_96a; adaptierte CIELAB-Daten

	$L^=L^*_a$	a^*_a	b^*_a	$C^*_{ab,a}$	$h^*_{ab,a}$
r00	48.88	66.47	31.67	73.63	25
r25	55.85	52.39	47.48	70.7	42
r50	65.45	35.22	58.37	68.17	59
r75	75.19	17.82	69.41	71.66	76
g00	87.03	−3.34	82.83	82.9	92
g25	80.72	−25.0	69.5	73.86	110
g50	70.64	−39.53	51.97	65.3	127
g75	61.93	−52.09	36.83	63.8	145
g00	52.8	−65.27	20.93	68.56	162
g25	55.7	−49.57	−8.38	50.28	190
g50	57.82	−38.39	−28.91	48.07	217
g75	55.5	−22.04	−45.94	50.97	244
b00	41.6	1.37	−45.0	45.03	272
b25	29.0	25.08	−43.12	49.89	300
b50	38.04	46.53	−28.38	54.51	329
b75	49.48	72.88	−3.75	72.98	357

Ein und Ausgabe: Farbmetrisches Drucker-Reflektiv-System ORS19_96a für relativen CIELAB-Buntton $h^* = lab^*h^* = h_{ab}/360 = 244/360 = 0.679$ $u^* = g75b$ LAB^*LAB^*

Daten für jede Farbe: lab^*tch^* und lab^*icu^*

Elementar-Buntton: $u^* = g75b$

Kontrastreduzierungsfaktor: $c_R = 1.0$

Dreiecks-Helligkeit t^*

Daten für Maximalfarbe (Ma): $LAB^*LAB^*_{Ma}$: 55 −21 −45; $LAB^*LCH^*_{Ma}$: 55 51 244; $lab^*rgb^*_{Ma}$: 0.0 0.5 1.0; $lab^*olv^*_{Ma}$: 0.0 0.87 1.0

Dreiecks-Helligkeit t^*

%Umfang $u^*_{rel} = 89$; %Regularität $g^*_{H,rel} = 72$; $g^*_{C,rel} = 57$

ORS19_96; CIELAB-Daten

	$L^=L^*$	a^*	b^*	C^*_{ab}	h^*_{ab}
O_M	48.75	65.16	40.76	76.86	32
Y_M	90.92	−10.77	89.36	90.01	97
L_M	52.69	−65.39	22.15	69.05	161
C_M	59.61	−29.03	−44.68	53.3	237
V_M	28.39	24.0	−43.17	49.4	299
M_M	49.58	74.01	−8.21	74.47	354
N_M	18.89	0.5	0.77	0.92	57
W_M	96.9	−0.56	2.23	2.3	104
R_{CIE}	39.92	58.74	27.99	65.07	25
J_{CIE}	81.26	−2.88	71.56	71.62	92
G_{CIE}	52.23	−42.41	13.6	44.55	162
B_{CIE}	30.57	1.41	−46.46	46.49	272

ORS19_96a; adaptierte CIELAB-Daten

	$L^=L^*_a$	a^*_a	b^*_a	$C^*_{ab,a}$	$h^*_{ab,a}$
r00	48.88	66.47	31.67	73.63	25
r25	55.85	52.39	47.48	70.7	42
r50	65.45	35.22	58.37	68.17	59
r75	75.19	17.82	69.41	71.66	76
g00	87.03	−3.34	82.83	82.9	92
g25	80.72	−25.0	69.5	73.86	110
g50	70.64	−39.53	51.97	65.3	127
g75	61.93	−52.09	36.83	63.8	145
g00	52.8	−65.27	20.93	68.56	162
g25	55.7	−49.57	−8.38	50.28	190
g50	57.82	−38.39	−28.91	48.07	217
g75	55.5	−22.04	−45.94	50.97	244
b00	41.6	1.37	−45.0	45.03	272
b25	29.0	25.08	−43.12	49.89	300
b50	38.04	46.53	−28.38	54.51	329
b75	49.48	72.88	−3.75	72.98	357

Ein und Ausgabe: Farbmetrisches Drucker-Reflektiv-System ORS19_96a für relativen CIELAB-Buntton $h^* = lab^*h^* = h_{ab}/360 = 272/360 = 0.755$ $u^* = b00r$ LAB^*LAB^*

Daten für jede Farbe: lab^*tch^* und lab^*icu^*

Elementar-Buntton: $u^* = b00r$

Kontrastreduzierungsfaktor: $c_R = 1.0$

Dreiecks-Helligkeit t^*

Daten für Maximalfarbe (Ma): $LAB^*LAB^*_{Ma}$: 42 1 −44; $LAB^*LCH^*_{Ma}$: 42 45 272; $lab^*rgb^*_{Ma}$: 0.0 0.0 1.0; $lab^*olv^*_{Ma}$: 0.0 0.42 1.0

Dreiecks-Helligkeit t^*

%Umfang $u^*_{rel} = 89$; %Regularität $g^*_{H,rel} = 72$; $g^*_{C,rel} = 57$

ORS19_96; CIELAB-Daten

	$L^=L^*$	a^*	b^*	C^*_{ab}	h^*_{ab}
O_M	48.75	65.16	40.76	76.86	32
Y_M	90.92	−10.77	89.36	90.01	97
L_M	52.69	−65.39	22.15	69.05	161
C_M	59.61	−29.03	−44.68	53.3	237
V_M	28.39	24.0	−43.17	49.4	299
M_M	49.58	74.01	−8.21	74.47	354
N_M	18.89	0.5	0.77	0.92	57
W_M	96.9	−0.56	2.23	2.3	104
R_{CIE}	39.92	58.74	27.99	65.07	25
J_{CIE}	81.26	−2.88	71.56	71.62	92
G_{CIE}	52.23	−42.41	13.6	44.55	162
B_{CIE}	30.57	1.41	−46.46	46.49	272

ORS19_96a; adaptierte CIELAB-Daten

	$L^=L^*_a$	a^*_a	b^*_a	$C^*_{ab,a}$	$h^*_{ab,a}$
r00	48.88	66.47	31.67	73.63	25
r25	55.85	52.39	47.48	70.7	42
r50	65.45	35.22	58.37	68.17	59
r75	75.19	17.82	69.41	71.66	76
g00	87.03	−3.34	82.83	82.9	92
g25	80.72	−25.0	69.5	73.86	110
g50	70.64	−39.53	51.97	65.3	127
g75	61.93	−52.09	36.83	63.8	145
g00	52.8	−65.27	20.93	68.56	162
g25	55.7	−49.57	−8.38	50.28	190
g50	57.82	−38.39	−28.91	48.07	217
g75	55.5	−22.04	−45.94	50.97	244
b00	41.6	1.37	−45.0	45.03	272
b25	29.0	25.08	−43.12	49.89	300
b50	38.04	46.53	−28.38	54.51	329
b75	49.48	72.88	−3.75	72.98	357

Ein und Ausgabe: Farbmetrisches Drucker-Reflektiv-System ORS19_96a für relativen CIELAB-Buntton $h^* = lab^*h^* = h_{ab}/360 = 300/360 = 0.834$ $u^* = b25r$ LAB^*LAB^*

Daten für jede Farbe: lab^*tch^* und lab^*icu^*

Elementar-Buntton: $u^* = b25r$

Kontrastreduzierungsfaktor: $c_R = 1.0$

Dreiecks-Helligkeit t^*

Daten für Maximalfarbe (Ma): $LAB^*LAB^*_{Ma}$: 29 25 −42; $LAB^*LCH^*_{Ma}$: 29 50 300; $lab^*rgb^*_{Ma}$: 0.5 0.0 1.0; $lab^*olv^*_{Ma}$: 0.03 0.0 1.0

Dreiecks-Helligkeit t^*

%Umfang $u^*_{rel} = 89$; %Regularität $g^*_{H,rel} = 72$; $g^*_{C,rel} = 57$

ORS19_96; CIELAB-Daten

	$L^=L^*$	a^*	b^*	C^*_{ab}	h^*_{ab}
O_M	48.75	65.16	40.76	76.86	32
Y_M	90.92	−10.77	89.36	90.01	97
L_M	52.69	−65.39	22.15	69.05	161
C_M	59.61	−29.03	−44.68	53.3	237
V_M	28.39	24.0	−43.17	49.4	299
M_M	49.58	74.01	−8.21	74.47	354
N_M	18.89	0.5	0.77	0.92	57
W_M	96.9	−0.56	2.23	2.3	104
R_{CIE}	39.92	58.74	27.99	65.07	25
J_{CIE}	81.26	−2.88	71.56	71.62	92
G_{CIE}	52.23	−42.41	13.6	44.55	162
B_{CIE}	30.57	1.41	−46.46	46.49	272

ORS19_96a; adaptierte CIELAB-Daten

	$L^=L^*_a$	a^*_a	b^*_a	$C^*_{ab,a}$	$h^*_{ab,a}$
r00	48.88	66.47	31.67	73.63	25
r25	55.85	52.39	47.48	70.7	42
r50	65.45	35.22	58.37	68.17	59
r75	75.19	17.82	69.41	71.66	76
g00	87.03	−3.34	82.83	82.9	92
g25	80.72	−25.0	69.5	73.86	110
g50	70.64	−39.53	51.97	65.3	127
g75	61.93	−52.09	36.83	63.8	145
g00	52.8	−65.27	20.93	68.56	162
g25	55.7	−49.57	−8.38	50.28	190
g50	57.82	−38.39	−28.91	48.07	217
g75	55.5	−22.04	−45.94	50.97	244
b00	41.6	1.37	−45.0	45.03	272
b25	29.0	25.08	−43.12	49.89	300
b50	38.04	46.53	−28.38	54.51	329
b75	49.48	72.88	−3.75	72.98	357

Ein und Ausgabe: Farbmetrisches Drucker-Reflektiv-System ORS19_96a für relativen CIELAB-Buntton $h^* = lab^*h^* = h_{ab}/360 = 329/360 = 0.913$ $u^* = b50r$ LAB^*LAB^*

Daten für jede Farbe: lab^*tch^* und lab^*icu^*

Elementar-Buntton: $u^* = b50r$

Kontrastreduzierungsfaktor: $c_R = 1.0$

Dreiecks-Helligkeit t^*

Daten für Maximalfarbe (Ma): $LAB^*LAB^*_{Ma}$: 38 47 −27; $LAB^*LCH^*_{Ma}$: 38 55 329; $lab^*rgb^*_{Ma}$: 1.0 0.0 0.5; $lab^*olv^*_{Ma}$: 0.46 0.0 1.0

Dreiecks-Helligkeit t^*

%Umfang $u^*_{rel} = 89$; %Regularität $g^*_{H,rel} = 72$; $g^*_{C,rel} = 57$

ORS19_96; CIELAB-Daten

	$L^=L^*$	a^*	b^*	C^*_{ab}	h^*_{ab}
O_M	48.75	65.16	40.76	76.86	32
Y_M	90.92	−10.77	89.36	90.01	97
L_M	52.69	−65.39	22.15	69.05	161
C_M	59.61	−29.03	−44.68	53.3	237
V_M	28.39	24.0	−43.17	49.4	299
M_M	49.58	74.01	−8.21	74.47	354
N_M	18.89	0.5	0.77	0.92	57
W_M	96.9	−0.56	2.23	2.3	104
R_{CIE}	39.92	58.74	27.99	65.07	25
J_{CIE}	81.26	−2.88	71.56	71.62	92
G_{CIE}	52.23	−42.41	13.6	44.55	162
B_{CIE}	30.57	1.41	−46.46	46.49	272

ORS19_96a; adaptierte CIELAB-Daten

	$L^=L^*_a$	a^*_a	b^*_a	$C^*_{ab,a}$	$h^*_{ab,a}$
r00	48.88	66.47	31.67	73.63	25
r25	55.85	52.39	47.48	70.7	42
r50	65.45	35.22	58.37	68.17	59
r75	75.19	17.82	69.41	71.66	76
g00	87.03	−3.34	82.83	82.9	92
g25	80.72	−25.0	69.5	73.86	110
g50	70.64	−39.53	51.97	65.3	127
g75	61.93	−52.09	36.83	63.8	145
g00	52.8	−65.27	20.93	68.56	162
g25	55.7	−49.57	−8.38	50.28	190
g50	57.82	−38.39	−28.91	48.07	217
g75	55.5	−22.04	−45.94	50.97	244
b00	41.6	1.37	−45.0	45.03	272
b25	29.0	25.08	−43.12	49.89	300
b50	38.04	46.53	−28.38	54.51	329
b75	49.48	72.88	−3.75	72.98	357

Ein und Ausgabe: Farbmetrisches Drucker-Reflektiv-System ORS19_96a für relativen CIELAB-Buntton $h^* = lab^*h^* = h_{ab}/360 = 357/360 = 0.992$ $u^* = b75r$ LAB^*LAB^*

Daten für jede Farbe: lab^*tch^* und lab^*icu^*

Elementar-Buntton: $u^* = b75r$

Kontrastreduzierungsfaktor: $c_R = 1.0$

Dreiecks-Helligkeit t^*

Daten für Maximalfarbe (Ma): $LAB^*LAB^*_{Ma}$: 49 73 −3; $LAB^*LCH^*_{Ma}$: 49 73 357; $lab^*rgb^*_{Ma}$: 1.0 0.0 0.5; $lab^*olv^*_{Ma}$: 1.0 0.0 0.88

Dreiecks-Helligkeit t^*

%Umfang $u^*_{rel} = 89$; %Regularität $g^*_{H,rel} = 72$; $g^*_{C,rel} = 57$

ORS19_96; CIELAB-Daten

	$L^=L^*$	a^*	b^*	C^*_{ab}	h^*_{ab}
O_M	48.75	65.16	40.76	76.86	32
Y_M	90.92	−10.77	89.36	90.01	97
L_M	52.69	−65.39	22.15	69.05	161
C_M	59.61	−29.03	−44.68	53.3	237
V_M	28.39	24.0	−43.17	49.4	299
M_M	49.58	74.01	−8.21	74.47	354
N_M	18.89	0.5	0.77	0.92	57
W_M	96.9	−0.56	2.23	2.3	104
R_{CIE}	39.92	58.74	27.99	65.07	25
J_{CIE}	81.26	−2.88	71.56	71.62	92
G_{CIE}	52.23	−42.41	13.6	44.55	162
B_{CIE}	30.57	1.41	−46.46	46.49	272

ORS19_96a; adaptierte CIELAB-Daten

	$L^=L^*_a$	a^*_a	b^*_a	$C^*_{ab,a}$	$h^*_{ab,a}$
r00	48.88	66.47	31.67	73.63	25
r25	55.85	52.39	47.48	70.7	42
r50	65.45	35.22	58.37	68.17	59
r75	75.19	17.82	69.41	71.66	76
g00	87.03	−3.34	82.83	82.9	92
g25	80.72	−25.0	69.5	73.86	110
g50	70.64	−39.53	51.97	65.3	127
g75	61.93	−52.09	36.83	63.8	145
g00	52.8	−65.27	20.93	68.56	162
g25	55.7	−49.57	−8.38	50.28	190
g50	57.82	−38.39	−28.91	48.07	217
g75	55.5	−22.04	−45.94	50.97	244
b00	41.6	1.37	−45.0	45.03	272
b25	29.0	25.08	−43.12	49.89	300
b50	38.04	46.53	−28.38	54.51	329
b75	49.48	72.88	−3.75	72.98	357

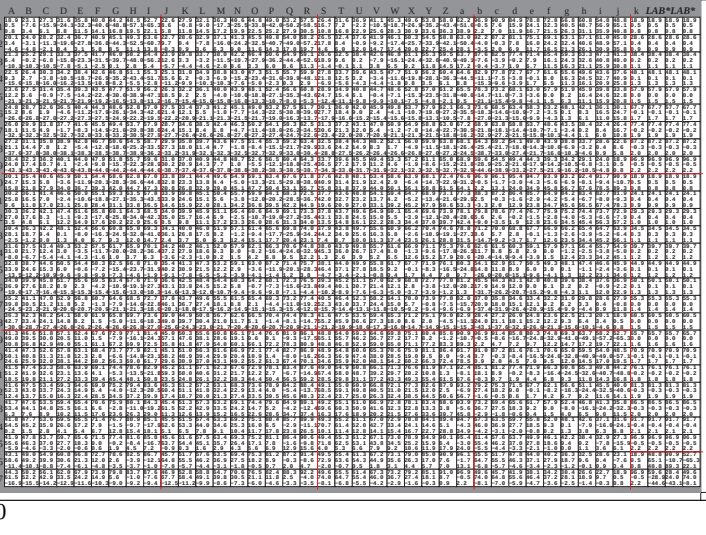

Ein und Ausgabe: Farbmetrisches Drucker-Reflektiv-System ORS19_96a für relativen CIELAB-Buntton $h^* = lab^*h^* = h_{ab}/360 = 162/360 = 0.451$ $u^* = g00b$

Daten für jede Farbe:
*lab*tch** und *lab*icu**
Elementar-Buntkontext:
$u^* = g00b$
Kontrastreduzierungsfaktor:
$c_R = 1.0$
Dreiecks-Helligkeit i^*

Daten für Maximalfarbe (Ma):
$LAB^*LAB^*_{Ma}$: 53 −64 21
$LAB^*LCH^*_{Ma}$: 53 69 162
$lab^*rgb^*_{Ma}$: 0.0 1.0 0.0
$lab^*olv^*_{Ma}$: 0.0 1.0 0.0
Dreiecks-Helligkeit i^*

%Umfang $u^*_{rel} = 89$
%Regularität $g^*_{H,rel} = 72$ $g^*_{C,rel} = 57$

ORS19_96a; CIELAB-Daten

	$L^*=L^*$	a^*	b^*	C^*_{ab}	h^*_{ab}
O_M	48.75	65.16	40.76	76.86	32
Y_M	90.92	−10.77	89.36	90.01	97
L_M	52.69	−65.39	22.15	69.05	161
C_M	59.61	−29.03	−44.68	53.3	237
V_M	28.39	24.0	−43.17	49.4	299
M_M	49.58	74.01	−8.21	74.47	354
N_M	18.89	0.5	0.77	0.92	57
W_M	96.9	−0.56	2.23	2.3	104
R_{CIE}	39.92	58.74	27.99	65.07	25
J_{CIE}	81.26	−2.88	71.56	71.62	92
G_{CIE}	52.23	−42.41	13.6	44.55	162
B_{CIE}	30.57	1.41	−46.46	46.49	272

ORS19_96a; adaptierte CIELAB-Daten

	$L^*=L^*_a$	a^*_a	b^*_a	$C^*_{ab,a}$	$h^*_{ab,a}$
r00	48.88	66.47	31.67	73.63	25
r25	55.85	52.39	47.48	70.7	42
r50	65.45	35.22	58.37	68.17	59
r75	75.19	17.82	69.41	71.66	76
g00	87.03	−3.34	82.83	82.9	92
g25	80.72	−25.0	69.5	73.86	110
g50	70.64	−39.53	51.97	65.3	127
g75	61.93	−52.09	36.83	63.8	145
g00b	52.8	−65.27	20.93	68.56	162
g25b	55.7	−49.57	−8.38	50.28	190
g50b	57.82	−38.39	−28.91	48.07	217
g75b	55.5	−22.04	−45.94	50.97	244
b00r	41.6	1.37	−45.0	45.03	272
b25r	29.0	25.08	−43.12	49.89	300
b50r	38.04	46.53	−28.38	54.51	329
b75r	49.48	72.88	−3.75	72.98	357

Ein und Ausgabe: Farbmetrisches Drucker-Reflektiv-System ORS19_96a für relativen CIELAB-Buntton $h^* = lab^*h^* = h_{ab}/360 = 190/360 = 0.527$ $u^* = g25b$

Daten für jede Farbe:
*lab*tch** und *lab*icu**
Elementar-Buntkontext:
$u^* = g25b$
Kontrastreduzierungsfaktor:
$c_R = 1.0$
Dreiecks-Helligkeit i^*

Daten für Maximalfarbe (Ma):
$LAB^*LAB^*_{Ma}$: 56 −49 −7
$LAB^*LCH^*_{Ma}$: 56 50 190
$lab^*rgb^*_{Ma}$: 0.0 1.0 0.5
$lab^*olv^*_{Ma}$: 0.0 1.0 0.44
Dreiecks-Helligkeit i^*

%Umfang $u^*_{rel} = 89$
%Regularität $g^*_{H,rel} = 72$ $g^*_{C,rel} = 57$

ORS19_96a; CIELAB-Daten

	$L^*=L^*$	a^*	b^*	C^*_{ab}	h^*_{ab}
O_M	48.75	65.16	40.76	76.86	32
Y_M	90.92	−10.77	89.36	90.01	97
L_M	52.69	−65.39	22.15	69.05	161
C_M	59.61	−29.03	−44.68	53.3	237
V_M	28.39	24.0	−43.17	49.4	299
M_M	49.58	74.01	−8.21	74.47	354
N_M	18.89	0.5	0.77	0.92	57
W_M	96.9	−0.56	2.23	2.3	104
R_{CIE}	39.92	58.74	27.99	65.07	25
J_{CIE}	81.26	−2.88	71.56	71.62	92
G_{CIE}	52.23	−42.41	13.6	44.55	162
B_{CIE}	30.57	1.41	−46.46	46.49	272

ORS19_96a; adaptierte CIELAB-Daten

	$L^*=L^*_a$	a^*_a	b^*_a	$C^*_{ab,a}$	$h^*_{ab,a}$
r00	48.88	66.47	31.67	73.63	25
r25	55.85	52.39	47.48	70.7	42
r50	65.45	35.22	58.37	68.17	59
r75	75.19	17.82	69.41	71.66	76
g00	87.03	−3.34	82.83	82.9	92
g25	80.72	−25.0	69.5	73.86	110
g50	70.64	−39.53	51.97	65.3	127
g75	61.93	−52.09	36.83	63.8	145
g00b	52.8	−65.27	20.93	68.56	162
g25b	55.7	−49.57	−8.38	50.28	190
g50b	57.82	−38.39	−28.91	48.07	217
g75b	55.5	−22.04	−45.94	50.97	244
b00r	41.6	1.37	−45.0	45.03	272
b25r	29.0	25.08	−43.12	49.89	300
b50r	38.04	46.53	−28.38	54.51	329
b75r	49.48	72.88	−3.75	72.98	357

Ein und Ausgabe: Farbmetrisches Drucker-Reflektiv-System ORS19_96a für relativen CIELAB-Buntton $h^* = lab^*h^* = h_{ab}/360 = 217/360 = 0.603$ $u^* = g50b$

Daten für jede Farbe:
*lab*tch** und *lab*icu**
Elementar-Buntkontext:
$u^* = g50b$
Kontrastreduzierungsfaktor:
$c_R = 1.0$
Dreiecks-Helligkeit i^*

Daten für Maximalfarbe (Ma):
$LAB^*LAB^*_{Ma}$: 58 −37 −28
$LAB^*LCH^*_{Ma}$: 58 48 217
$lab^*rgb^*_{Ma}$: 0.0 1.0 0.74
$lab^*olv^*_{Ma}$: 0.0 1.0 0.44
Dreiecks-Helligkeit i^*

%Umfang $u^*_{rel} = 89$
%Regularität $g^*_{H,rel} = 72$ $g^*_{C,rel} = 57$

ORS19_96a; CIELAB-Daten

	$L^*=L^*$	a^*	b^*	C^*_{ab}	h^*_{ab}
O_M	48.75	65.16	40.76	76.86	32
Y_M	90.92	−10.77	89.36	90.01	97
L_M	52.69	−65.39	22.15	69.05	161
C_M	59.61	−29.03	−44.68	53.3	237
V_M	28.39	24.0	−43.17	49.4	299
M_M	49.58	74.01	−8.21	74.47	354
N_M	18.89	0.5	0.77	0.92	57
W_M	96.9	−0.56	2.23	2.3	104
R_{CIE}	39.92	58.74	27.99	65.07	25
J_{CIE}	81.26	−2.88	71.56	71.62	92
G_{CIE}	52.23	−42.41	13.6	44.55	162
B_{CIE}	30.57	1.41	−46.46	46.49	272

ORS19_96a; adaptierte CIELAB-Daten

	$L^*=L^*_a$	a^*_a	b^*_a	$C^*_{ab,a}$	$h^*_{ab,a}$
r00	48.88	66.47	31.67	73.63	25
r25	55.85	52.39	47.48	70.7	42
r50	65.45	35.22	58.37	68.17	59
r75	75.19	17.82	69.41	71.66	76
g00	87.03	−3.34	82.83	82.9	92
g25	80.72	−25.0	69.5	73.86	110
g50	70.64	−39.53	51.97	65.3	127
g75	61.93	−52.09	36.83	63.8	145
g00b	52.8	−65.27	20.93	68.56	162
g25b	55.7	−49.57	−8.38	50.28	190
g50b	57.82	−38.39	−28.91	48.07	217
g75b	55.5	−22.04	−45.94	50.97	244
b00r	41.6	1.37	−45.0	45.03	272
b25r	29.0	25.08	−43.12	49.89	300
b50r	38.04	46.53	−28.38	54.51	329
b75r	49.48	72.88	−3.75	72.98	357

Ein und Ausgabe: Farbmetrisches Drucker-Reflektiv-System ORS19_96a für relativen CIELAB-Buntton $h^* = lab^*h^* = h_{ab}/360 = 244/360 = 0.679$ $u^* = g75b$

Daten für jede Farbe:
*lab*tch** und *lab*icu**
Elementar-Buntkontext:
$u^* = g75b$
Kontrastreduzierungsfaktor:
$c_R = 1.0$
Dreiecks-Helligkeit i^*

Daten für Maximalfarbe (Ma):
$LAB^*LAB^*_{Ma}$: 55 −21 −45
$LAB^*LCH^*_{Ma}$: 55 51 244
$lab^*rgb^*_{Ma}$: 0.0 0.5 1.0
$lab^*olv^*_{Ma}$: 0.0 0.87 1.0
Dreiecks-Helligkeit i^*

%Umfang $u^*_{rel} = 89$
%Regularität $g^*_{H,rel} = 72$ $g^*_{C,rel} = 57$

ORS19_96a; CIELAB-Daten

	$L^*=L^*$	a^*	b^*	C^*_{ab}	h^*_{ab}
O_M	48.75	65.16	40.76	76.86	32
Y_M	90.92	−10.77	89.36	90.01	97
L_M	52.69	−65.39	22.15	69.05	161
C_M	59.61	−29.03	−44.68	53.3	237
V_M	28.39	24.0	−43.17	49.4	299
M_M	49.58	74.01	−8.21	74.47	354
N_M	18.89	0.5	0.77	0.92	57
W_M	96.9	−0.56	2.23	2.3	104
R_{CIE}	39.92	58.74	27.99	65.07	25
J_{CIE}	81.26	−2.88	71.56	71.62	92
G_{CIE}	52.23	−42.41	13.6	44.55	162
B_{CIE}	30.57	1.41	−46.46	46.49	272

ORS19_96a; adaptierte CIELAB-Daten

	$L^*=L^*_a$	a^*_a	b^*_a	$C^*_{ab,a}$	$h^*_{ab,a}$
r00	48.88	66.47	31.67	73.63	25
r25	55.85	52.39	47.48	70.7	42
r50	65.45	35.22	58.37	68.17	59
r75	75.19	17.82	69.41	71.66	76
g00	87.03	−3.34	82.83	82.9	92
g25	80.72	−25.0	69.5	73.86	110
g50	70.64	−39.53	51.97	65.3	127
g75	61.93	−52.09	36.83	63.8	145
g00b	52.8	−65.27	20.93	68.56	162
g25b	55.7	−49.57	−8.38	50.28	190
g50b	57.82	−38.39	−28.91	48.07	217
g75b	55.5	−22.04	−45.94	50.97	244
b00r	41.6	1.37	−45.0	45.03	272
b25r	29.0	25.08	−43.12	49.89	300
b50r	38.04	46.53	−28.38	54.51	329
b75r	49.48	72.88	−3.75	72.98	357

Ein und Ausgabe: Farbmetrisches Drucker-Reflektiv-System ORS19_96a für relativen CIELAB-Buntton $h^* = lab^*h^* = h_{ab}/360 = 272/360 = 0.755$ $u^* = b00r$

Daten für jede Farbe:
*lab*tch** und *lab*icu**
Elementar-Buntkontext:
$u^* = b00r$
Kontrastreduzierungsfaktor:
$c_R = 1.0$
Dreiecks-Helligkeit i^*

Daten für Maximalfarbe (Ma):
$LAB^*LAB^*_{Ma}$: 42 1 −44
$LAB^*LCH^*_{Ma}$: 42 45 272
$lab^*rgb^*_{Ma}$: 0.0 0.0 1.0
$lab^*olv^*_{Ma}$: 0.0 0.42 1.0
Dreiecks-Helligkeit i^*

%Umfang $u^*_{rel} = 89$
%Regularität $g^*_{H,rel} = 72$ $g^*_{C,rel} = 57$

ORS19_96a; CIELAB-Daten

	$L^*=L^*$	a^*	b^*	C^*_{ab}	h^*_{ab}
O_M	48.75	65.16	40.76	76.86	32
Y_M	90.92	−10.77	89.36	90.01	97
L_M	52.69	−65.39	22.15	69.05	161
C_M	59.61	−29.03	−44.68	53.3	237
V_M	28.39	24.0	−43.17	49.4	299
M_M	49.58	74.01	−8.21	74.47	354
N_M	18.89	0.5	0.77	0.92	57
W_M	96.9	−0.56	2.23	2.3	104
R_{CIE}	39.92	58.74	27.99	65.07	25
J_{CIE}	81.26	−2.88	71.56	71.62	92
G_{CIE}	52.23	−42.41	13.6	44.55	162
B_{CIE}	30.57	1.41	−46.46	46.49	272

ORS19_96a; adaptierte CIELAB-Daten

	$L^*=L^*_a$	a^*_a	b^*_a	$C^*_{ab,a}$	$h^*_{ab,a}$
r00	48.88	66.47	31.67	73.63	25
r25	55.85	52.39	47.48	70.7	42
r50	65.45	35.22	58.37	68.17	59
r75	75.19	17.82	69.41	71.66	76
g00	87.03	−3.34	82.83	82.9	92
g25	80.72	−25.0	69.5	73.86	110
g50	70.64	−39.53	51.97	65.3	127
g75	61.93	−52.09	36.83	63.8	145
g00b	52.8	−65.27	20.93	68.56	162
g25b	55.7	−49.57	−8.38	50.28	190
g50b	57.82	−38.39	−28.91	48.07	217
g75b	55.5	−22.04	−45.94	50.97	244
b00r	41.6	1.37	−45.0	45.03	272
b25r	29.0	25.08	−43.12	49.89	300
b50r	38.04	46.53	−28.38	54.51	329
b75r	49.48	72.88	−3.75	72.98	357

Ein und Ausgabe: Farbmetrisches Drucker-Reflektiv-System ORS19_96a für relativen CIELAB-Buntton $h^* = lab^*h^* = h_{ab}/360 = 300/360 = 0.834$ $u^* = b25r$

Daten für jede Farbe:
*lab*tch** und *lab*icu**
Elementar-Buntkontext:
$u^* = b25r$
Kontrastreduzierungsfaktor:
$c_R = 1.0$
Dreiecks-Helligkeit i^*

Daten für Maximalfarbe (Ma):
$LAB^*LAB^*_{Ma}$: 29 25 −42
$LAB^*LCH^*_{Ma}$: 29 50 300
$lab^*rgb^*_{Ma}$: 0.5 0.0 1.0
$lab^*olv^*_{Ma}$: 0.03 0.0 1.0
Dreiecks-Helligkeit i^*

%Umfang $u^*_{rel} = 89$
%Regularität $g^*_{H,rel} = 72$ $g^*_{C,rel} = 57$

ORS19_96a; CIELAB-Daten

	$L^*=L^*$	a^*	b^*	C^*_{ab}	h^*_{ab}
O_M	48.75	65.16	40.76	76.86	32
Y_M	90.92	−10.77	89.36	90.01	97
L_M	52.69	−65.39	22.15	69.05	161
C_M	59.61	−29.03	−44.68	53.3	237
V_M	28.39	24.0	−43.17	49.4	299
M_M	49.58	74.01	−8.21	74.47	354
N_M	18.89	0.5	0.77	0.92	57
W_M	96.9	−0.56	2.23	2.3	104
R_{CIE}	39.92	58.74	27.99	65.07	25
J_{CIE}	81.26	−2.88	71.56	71.62	92
G_{CIE}	52.23	−42.41	13.6	44.55	162
B_{CIE}	30.57	1.41	−46.46	46.49	272

ORS19_96a; adaptierte CIELAB-Daten

	$L^*=L^*_a$	a^*_a	b^*_a	$C^*_{ab,a}$	$h^*_{ab,a}$
r00	48.88	66.47	31.67	73.63	25
r25	55.85	52.39	47.48	70.7	42
r50	65.45	35.22	58.37	68.17	59
r75	75.19	17.82	69.41	71.66	76
g00	87.03	−3.34	82.83	82.9	92
g25	80.72	−25.0	69.5	73.86	110
g50	70.64	−39.53	51.97	65.3	127
g75	61.93	−52.09	36.83	63.8	145
g00b	52.8	−65.27	20.93	68.56	162
g25b	55.7	−49.57	−8.38	50.28	190
g50b	57.82	−38.39	−28.91	48.07	217
g75b	55.5	−22.04	−45.94	50.97	244
b00r	41.6	1.37	−45.0	45.03	272
b25r	29.0	25.08	−43.12	49.89	300
b50r	38.04	46.53	−28.38	54.51	329
b75r	49.48	72.88	−3.75	72.98	357

Ein und Ausgabe: Farbmetrisches Drucker-Reflektiv-System ORS19_96a für relativen CIELAB-Buntton $h^* = lab^*h^* = h_{ab}/360 = 329/360 = 0.913$ $u^* = b50r$

Daten für jede Farbe:
*lab*tch** und *lab*icu**
Elementar-Buntkontext:
$u^* = b50r$
Kontrastreduzierungsfaktor:
$c_R = 1.0$
Dreiecks-Helligkeit i^*

Daten für Maximalfarbe (Ma):
$LAB^*LAB^*_{Ma}$: 38 47 −27
$LAB^*LCH^*_{Ma}$: 38 55 329
$lab^*rgb^*_{Ma}$: 1.0 0.0 1.0
$lab^*olv^*_{Ma}$: 0.46 0.0 1.0
Dreiecks-Helligkeit i^*

%Umfang $u^*_{rel} = 89$
%Regularität $g^*_{H,rel} = 72$ $g^*_{C,rel} = 57$

ORS19_96a; CIELAB-Daten

	$L^*=L^*$	a^*	b^*	C^*_{ab}	h^*_{ab}
O_M	48.75	65.16	40.76	76.86	32
Y_M	90.92	−10.77	89.36	90.01	97
L_M	52.69	−65.39	22.15	69.05	161
C_M	59.61	−29.03	−44.68	53.3	237
V_M	28.39	24.0	−43.17	49.4	299
M_M	49.58	74.01	−8.21	74.47	354
N_M	18.89	0.5	0.77	0.92	57
W_M	96.9	−0.56	2.23	2.3	104
R_{CIE}	39.92	58.74	27.99	65.07	25
J_{CIE}	81.26	−2.88	71.56	71.62	92
G_{CIE}	52.23	−42.41	13.6	44.55	162
B_{CIE}	30.57	1.41	−46.46	46.49	272

ORS19_96a; adaptierte CIELAB-Daten

	$L^*=L^*_a$	a^*_a	b^*_a	$C^*_{ab,a}$	$h^*_{ab,a}$
r00	48.88	66.47	31.67	73.63	25
r25	55.85	52.39	47.48	70.7	42
r50	65.45	35.22	58.37	68.17	59
r75	75.19	17.82	69.41	71.66	76
g00	87.03	−3.34	82.83	82.9	92
g25	80.72	−25.0	69.5	73.86	110
g50	70.64	−39.53	51.97	65.3	127
g75	61.93	−52.09	36.83	63.8	145
g00b	52.8	−65.27	20.93	68.56	162
g25b	55.7	−49.57	−8.38	50.28	190
g50b	57.82	−38.39	−28.91	48.07	217
g75b	55.5	−22.04	−45.94	50.97	244
b00r	41.6	1.37	−45.0	45.03	272
b25r	29.0	25.08	−43.12	49.89	300
b50r	38.04	46.53	−28.38	54.51	329
b75r	49.48	72.88	−3.75	72.98	357

Ein und Ausgabe: Farbmetrisches Drucker-Reflektiv-System ORS19_96a für relativen CIELAB-Buntton $h^* = lab^*h^* = h_{ab}/360 = 357/360 = 0.992$ $u^* = b75r$

Daten für jede Farbe:
*lab*tch** und *lab*icu**
Elementar-Buntkontext:
$u^* = b75r$
Kontrastreduzierungsfaktor:
$c_R = 1.0$
Dreiecks-Helligkeit i^*

Daten für Maximalfarbe (Ma):
$LAB^*LAB^*_{Ma}$: 49 73 −3
$LAB^*LCH^*_{Ma}$: 49 73 357
$lab^*rgb^*_{Ma}$: 1.0 0.0 0.5
$lab^*olv^*_{Ma}$: 1.0 0.0 0.88
Dreiecks-Helligkeit i^*

%Umfang $u^*_{rel} = 89$
%Regularität $g^*_{H,rel} = 72$ $g^*_{C,rel} = 57$

ORS19_96a; CIELAB-Daten

	$L^*=L^*$	a^*	b^*	C^*_{ab}	h^*_{ab}
O_M	48.75	65.16	40.76	76.86	32
Y_M	90.92	−10.77	89.36	90.01	97
L_M	52.69	−65.39	22.15	69.05	161
C_M	59.61	−29.03	−44.68	53.3	237
V_M	28.39	24.0	−43.17	49.4	299
M_M	49.58	74.01	−8.21	74.47	354
N_M	18.89	0.5	0.77	0.92	57
W_M	96.9	−0.56	2.23	2.3	104
R_{CIE}	39.92	58.74	27.99	65.07	25
J_{CIE}	81.26	−2.88	71.56	71.62	92
G_{CIE}	52.23	−42.41	13.6	44.55	162
B_{CIE}	30.57	1.41	−46.46	46.49	272

ORS19_96a; adaptierte CIELAB-Daten

	$L^*=L^*_a$	a^*_a	b^*_a	$C^*_{ab,a}$	$h^*_{ab,a}$
r00	48.88	66.47	31.67	73.63	25
r25	55.85	52.39	47.48	70.7	42
r50	65.45	35.22	58.37	68.17	59
r75	75.19	17.82	69.41	71.66	76
g00	87.03	−3.34	82.83	82.9	92
g25	80.72	−25.0	69.5	73.86	110
g50	70.64	−39.53	51.97	65.3	127
g75	61.93	−52.09	36.83	63.8	145
g00b	52.8	−65.27	20.93	68.56	162
g25b	55.7	−49.57	−8.38	50.28	190
g50b	57.82	−38.39	−28.91	48.07	217
g75b	55.5	−22.04	−45.94	50.97	244
b00r	41.6	1.37	−45.0	45.03	272
b25r	29.0	25.08	−43.12	49.89	300
b50r	38.04	46.53	−28.38	54.51	329
b75r	49.48	72.88	−3.75	72.98	357

Ein und Ausgabe: Farbmetrisches Drucker-Reflektiv-System ORS19_96a für relativen CIELAB-Buntton $h^* = lab^*h^* = h_{ab}/360 = 162/360 = 0.451$ $u^* = g00b$ $LAB^*cmyn'^*$

Daten für jede Farbe: lab^*tch^* und lab^*icu^*

Elementar-Buntkontext: $u^* = g00b$

Kontrastreduzierungsfaktor: $c_R = 1.0$

Dreiecks-Helligkeit t^*

Daten für Maximalfarbe (Ma): $LAB^*LAB^*_{Ma}$: 53 −64 21; $LAB^*LCH^*_{Ma}$: 53 69 162; $lab^*rgb^*_{Ma}$: 0.0 1.0 0.0; $lab^*olv^*_{Ma}$: 0.0 1.0 0.0

%Umfang $u^*_{rel} = 89$; %Regularität $g^*_{H,rel} = 72$; $g^*_{C,rel} = 57$

ORS19_96a; CIELAB-Daten

	$L^*=L^*$	a^*	b^*	C^*_{ab}	h^*_{ab}
O_M	48.75	65.16	40.76	76.86	32
Y_M	90.92	−10.77	89.36	90.01	97
L_M	52.69	−65.39	22.15	69.05	161
C_M	59.61	−29.03	−44.68	53.3	237
V_M	28.39	24.0	−43.17	49.4	299
M_M	49.58	74.01	−8.21	74.47	354
N_M	18.89	0.5	0.77	0.92	57
W_M	96.9	−0.56	2.23	2.3	104
R_{CIE}	39.92	58.74	27.99	65.07	25
J_{CIE}	81.26	−2.88	71.56	71.62	92
C_{CIE}	52.23	−42.41	13.6	44.55	162
B_{CIE}	30.57	1.41	−46.46	46.49	272

ORS19_96a; adaptierte CIELAB-Daten

	$L^*=L^*_a$	a^*_a	b^*_a	$C^*_{ab,a}$	$h^*_{ab,a}$
r00	48.88	66.47	31.67	73.63	25
r25	55.85	52.39	47.48	70.7	42
r50	65.45	35.22	58.37	68.17	59
r75	75.19	17.82	69.41	71.66	76
g00	87.03	−3.34	82.83	82.9	92
g25	80.72	−25.0	69.5	73.86	110
g50	70.64	−39.53	51.97	65.3	127
g75	61.93	−52.09	36.83	63.8	145
g00b	52.8	−65.27	20.93	68.56	162
g25b	55.7	−49.57	−8.38	50.28	190
g50b	57.82	−38.39	−28.91	48.07	217
g75b	55.5	−22.04	−45.94	50.97	244
b00r	41.6	1.37	−45.0	45.03	272
b25r	29.0	25.08	−43.12	49.89	300
b50r	38.04	46.53	−28.38	54.51	329
b75r	49.48	72.88	−3.75	72.98	357

Ein und Ausgabe: Farbmetrisches Drucker-Reflektiv-System ORS19_96a für relativen CIELAB-Buntton $h^* = lab^*h^* = h_{ab}/360 = 190/360 = 0.527$ $u^* = g25b$ $LAB^*cmyn'^*$

Daten für jede Farbe: lab^*tch^* und lab^*icu^*

Elementar-Buntkontext: $u^* = g25b$

Kontrastreduzierungsfaktor: $c_R = 1.0$

Dreiecks-Helligkeit t^*

Daten für Maximalfarbe (Ma): $LAB^*LAB^*_{Ma}$: 56 −49 −7; $LAB^*LCH^*_{Ma}$: 56 50 190; $lab^*rgb^*_{Ma}$: 0.0 1.0 0.5; $lab^*olv^*_{Ma}$: 0.0 1.0 0.44

%Umfang $u^*_{rel} = 89$; %Regularität $g^*_{H,rel} = 72$; $g^*_{C,rel} = 57$

ORS19_96a; CIELAB-Daten

	$L^*=L^*$	a^*	b^*	C^*_{ab}	h^*_{ab}
O_M	48.75	65.16	40.76	76.86	32
Y_M	90.92	−10.77	89.36	90.01	97
L_M	52.69	−65.39	22.15	69.05	161
C_M	59.61	−29.03	−44.68	53.3	237
V_M	28.39	24.0	−43.17	49.4	299
M_M	49.58	74.01	−8.21	74.47	354
N_M	18.89	0.5	0.77	0.92	57
W_M	96.9	−0.56	2.23	2.3	104
R_{CIE}	39.92	58.74	27.99	65.07	25
J_{CIE}	81.26	−2.88	71.56	71.62	92
C_{CIE}	52.23	−42.41	13.6	44.55	162
B_{CIE}	30.57	1.41	−46.46	46.49	272

ORS19_96a; adaptierte CIELAB-Daten

	$L^*=L^*_a$	a^*_a	b^*_a	$C^*_{ab,a}$	$h^*_{ab,a}$
r00	48.88	66.47	31.67	73.63	25
r25	55.85	52.39	47.48	70.7	42
r50	65.45	35.22	58.37	68.17	59
r75	75.19	17.82	69.41	71.66	76
g00	87.03	−3.34	82.83	82.9	92
g25	80.72	−25.0	69.5	73.86	110
g50	70.64	−39.53	51.97	65.3	127
g75	61.93	−52.09	36.83	63.8	145
g00b	52.8	−65.27	20.93	68.56	162
g25b	55.7	−49.57	−8.38	50.28	190
g50b	57.82	−38.39	−28.91	48.07	217
g75b	55.5	−22.04	−45.94	50.97	244
b00r	41.6	1.37	−45.0	45.03	272
b25r	29.0	25.08	−43.12	49.89	300
b50r	38.04	46.53	−28.38	54.51	329
b75r	49.48	72.88	−3.75	72.98	357

Ein und Ausgabe: Farbmetrisches Drucker-Reflektiv-System ORS19_96a für relativen CIELAB-Buntton $h^* = lab^*h^* = h_{ab}/360 = 217/360 = 0.603$ $u^* = g50b$ $LAB^*cmyn'^*$

Daten für jede Farbe: lab^*tch^* und lab^*icu^*

Elementar-Buntkontext: $u^* = g50b$

Kontrastreduzierungsfaktor: $c_R = 1.0$

Dreiecks-Helligkeit t^*

Daten für Maximalfarbe (Ma): $LAB^*LAB^*_{Ma}$: 58 −37 −28; $LAB^*LCH^*_{Ma}$: 58 48 217; $lab^*rgb^*_{Ma}$: 0.0 1.0 1.0; $lab^*olv^*_{Ma}$: 0.0 1.0 0.74

%Umfang $u^*_{rel} = 89$; %Regularität $g^*_{H,rel} = 72$; $g^*_{C,rel} = 57$

ORS19_96a; CIELAB-Daten

	$L^*=L^*$	a^*	b^*	C^*_{ab}	h^*_{ab}
O_M	48.75	65.16	40.76	76.86	32
Y_M	90.92	−10.77	89.36	90.01	97
L_M	52.69	−65.39	22.15	69.05	161
C_M	59.61	−29.03	−44.68	53.3	237
V_M	28.39	24.0	−43.17	49.4	299
M_M	49.58	74.01	−8.21	74.47	354
N_M	18.89	0.5	0.77	0.92	57
W_M	96.9	−0.56	2.23	2.3	104
R_{CIE}	39.92	58.74	27.99	65.07	25
J_{CIE}	81.26	−2.88	71.56	71.62	92
C_{CIE}	52.23	−42.41	13.6	44.55	162
B_{CIE}	30.57	1.41	−46.46	46.49	272

ORS19_96a; adaptierte CIELAB-Daten

	$L^*=L^*_a$	a^*_a	b^*_a	$C^*_{ab,a}$	$h^*_{ab,a}$
r00	48.88	66.47	31.67	73.63	25
r25	55.85	52.39	47.48	70.7	42
r50	65.45	35.22	58.37	68.17	59
r75	75.19	17.82	69.41	71.66	76
g00	87.03	−3.34	82.83	82.9	92
g25	80.72	−25.0	69.5	73.86	110
g50	70.64	−39.53	51.97	65.3	127
g75	61.93	−52.09	36.83	63.8	145
g00b	52.8	−65.27	20.93	68.56	162
g25b	55.7	−49.57	−8.38	50.28	190
g50b	57.82	−38.39	−28.91	48.07	217
g75b	55.5	−22.04	−45.94	50.97	244
b00r	41.6	1.37	−45.0	45.03	272
b25r	29.0	25.08	−43.12	49.89	300
b50r	38.04	46.53	−28.38	54.51	329
b75r	49.48	72.88	−3.75	72.98	357

Ein und Ausgabe: Farbmetrisches Drucker-Reflektiv-System ORS19_96a für relativen CIELAB-Buntton $h^* = lab^*h^* = h_{ab}/360 = 244/360 = 0.679$ $u^* = g75b$ $LAB^*cmyn'^*$

Daten für jede Farbe: lab^*tch^* und lab^*icu^*

Elementar-Buntkontext: $u^* = g75b$

Kontrastreduzierungsfaktor: $c_R = 1.0$

Dreiecks-Helligkeit t^*

Daten für Maximalfarbe (Ma): $LAB^*LAB^*_{Ma}$: 55 −21 −45; $LAB^*LCH^*_{Ma}$: 55 51 244; $lab^*rgb^*_{Ma}$: 0.0 0.5 1.0; $lab^*olv^*_{Ma}$: 0.0 0.87 1.0

%Umfang $u^*_{rel} = 89$; %Regularität $g^*_{H,rel} = 72$; $g^*_{C,rel} = 57$

ORS19_96a; CIELAB-Daten

	$L^*=L^*$	a^*	b^*	C^*_{ab}	h^*_{ab}
O_M	48.75	65.16	40.76	76.86	32
Y_M	90.92	−10.77	89.36	90.01	97
L_M	52.69	−65.39	22.15	69.05	161
C_M	59.61	−29.03	−44.68	53.3	237
V_M	28.39	24.0	−43.17	49.4	299
M_M	49.58	74.01	−8.21	74.47	354
N_M	18.89	0.5	0.77	0.92	57
W_M	96.9	−0.56	2.23	2.3	104
R_{CIE}	39.92	58.74	27.99	65.07	25
J_{CIE}	81.26	−2.88	71.56	71.62	92
C_{CIE}	52.23	−42.41	13.6	44.55	162
B_{CIE}	30.57	1.41	−46.46	46.49	272

ORS19_96a; adaptierte CIELAB-Daten

	$L^*=L^*_a$	a^*_a	b^*_a	$C^*_{ab,a}$	$h^*_{ab,a}$
r00	48.88	66.47	31.67	73.63	25
r25	55.85	52.39	47.48	70.7	42
r50	65.45	35.22	58.37	68.17	59
r75	75.19	17.82	69.41	71.66	76
g00	87.03	−3.34	82.83	82.9	92
g25	80.72	−25.0	69.5	73.86	110
g50	70.64	−39.53	51.97	65.3	127
g75	61.93	−52.09	36.83	63.8	145
g00b	52.8	−65.27	20.93	68.56	162
g25b	55.7	−49.57	−8.38	50.28	190
g50b	57.82	−38.39	−28.91	48.07	217
g75b	55.5	−22.04	−45.94	50.97	244
b00r	41.6	1.37	−45.0	45.03	272
b25r	29.0	25.08	−43.12	49.89	300
b50r	38.04	46.53	−28.38	54.51	329
b75r	49.48	72.88	−3.75	72.98	357

Ein und Ausgabe: Farbmetrisches Drucker-Reflektiv-System ORS19_96a für relativen CIELAB-Buntton $h^* = lab^*h^* = h_{ab}/360 = 272/360 = 0.755$ $u^* = b00r$ $LAB^*cmyn'^*$

Daten für jede Farbe: lab^*tch^* und lab^*icu^*

Elementar-Buntkontext: $u^* = b00r$

Kontrastreduzierungsfaktor: $c_R = 1.0$

Dreiecks-Helligkeit t^*

Daten für Maximalfarbe (Ma): $LAB^*LAB^*_{Ma}$: 42 1 −44; $LAB^*LCH^*_{Ma}$: 42 45 272; $lab^*rgb^*_{Ma}$: 0.0 0.0 1.0; $lab^*olv^*_{Ma}$: 0.0 0.42 1.0

%Umfang $u^*_{rel} = 89$; %Regularität $g^*_{H,rel} = 72$; $g^*_{C,rel} = 57$

ORS19_96a; CIELAB-Daten

	$L^*=L^*$	a^*	b^*	C^*_{ab}	h^*_{ab}
O_M	48.75	65.16	40.76	76.86	32
Y_M	90.92	−10.77	89.36	90.01	97
L_M	52.69	−65.39	22.15	69.05	161
C_M	59.61	−29.03	−44.68	53.3	237
V_M	28.39	24.0	−43.17	49.4	299
M_M	49.58	74.01	−8.21	74.47	354
N_M	18.89	0.5	0.77	0.92	57
W_M	96.9	−0.56	2.23	2.3	104
R_{CIE}	39.92	58.74	27.99	65.07	25
J_{CIE}	81.26	−2.88	71.56	71.62	92
C_{CIE}	52.23	−42.41	13.6	44.55	162
B_{CIE}	30.57	1.41	−46.46	46.49	272

ORS19_96a; adaptierte CIELAB-Daten

	$L^*=L^*_a$	a^*_a	b^*_a	$C^*_{ab,a}$	$h^*_{ab,a}$
r00	48.88	66.47	31.67	73.63	25
r25	55.85	52.39	47.48	70.7	42
r50	65.45	35.22	58.37	68.17	59
r75	75.19	17.82	69.41	71.66	76
g00	87.03	−3.34	82.83	82.9	92
g25	80.72	−25.0	69.5	73.86	110
g50	70.64	−39.53	51.97	65.3	127
g75	61.93	−52.09	36.83	63.8	145
g00b	52.8	−65.27	20.93	68.56	162
g25b	55.7	−49.57	−8.38	50.28	190
g50b	57.82	−38.39	−28.91	48.07	217
g75b	55.5	−22.04	−45.94	50.97	244
b00r	41.6	1.37	−45.0	45.03	272
b25r	29.0	25.08	−43.12	49.89	300
b50r	38.04	46.53	−28.38	54.51	329
b75r	49.48	72.88	−3.75	72.98	357

Ein und Ausgabe: Farbmetrisches Drucker-Reflektiv-System ORS19_96a für relativen CIELAB-Buntton $h^* = lab^*h^* = h_{ab}/360 = 300/360 = 0.834$ $u^* = b25r$ $LAB^*cmyn'^*$

Daten für jede Farbe: lab^*tch^* und lab^*icu^*

Elementar-Buntkontext: $u^* = b25r$

Kontrastreduzierungsfaktor: $c_R = 1.0$

Dreiecks-Helligkeit t^*

Daten für Maximalfarbe (Ma): $LAB^*LAB^*_{Ma}$: 29 25 −42; $LAB^*LCH^*_{Ma}$: 29 50 300; $lab^*rgb^*_{Ma}$: 0.5 0.0 1.0; $lab^*olv^*_{Ma}$: 0.03 0.0 1.0

%Umfang $u^*_{rel} = 89$; %Regularität $g^*_{H,rel} = 72$; $g^*_{C,rel} = 57$

ORS19_96a; CIELAB-Daten

	$L^*=L^*$	a^*	b^*	C^*_{ab}	h^*_{ab}
O_M	48.75	65.16	40.76	76.86	32
Y_M	90.92	−10.77	89.36	90.01	97
L_M	52.69	−65.39	22.15	69.05	161
C_M	59.61	−29.03	−44.68	53.3	237
V_M	28.39	24.0	−43.17	49.4	299
M_M	49.58	74.01	−8.21	74.47	354
N_M	18.89	0.5	0.77	0.92	57
W_M	96.9	−0.56	2.23	2.3	104
R_{CIE}	39.92	58.74	27.99	65.07	25
J_{CIE}	81.26	−2.88	71.56	71.62	92
C_{CIE}	52.23	−42.41	13.6	44.55	162
B_{CIE}	30.57	1.41	−46.46	46.49	272

ORS19_96a; adaptierte CIELAB-Daten

	$L^*=L^*_a$	a^*_a	b^*_a	$C^*_{ab,a}$	$h^*_{ab,a}$
r00	48.88	66.47	31.67	73.63	25
r25	55.85	52.39	47.48	70.7	42
r50	65.45	35.22	58.37	68.17	59
r75	75.19	17.82	69.41	71.66	76
g00	87.03	−3.34	82.83	82.9	92
g25	80.72	−25.0	69.5	73.86	110
g50	70.64	−39.53	51.97	65.3	127
g75	61.93	−52.09	36.83	63.8	145
g00b	52.8	−65.27	20.93	68.56	162
g25b	55.7	−49.57	−8.38	50.28	190
g50b	57.82	−38.39	−28.91	48.07	217
g75b	55.5	−22.04	−45.94	50.97	244
b00r	41.6	1.37	−45.0	45.03	272
b25r	29.0	25.08	−43.12	49.89	300
b50r	38.04	46.53	−28.38	54.51	329
b75r	49.48	72.88	−3.75	72.98	357

Ein und Ausgabe: Farbmetrisches Drucker-Reflektiv-System ORS19_96a für relativen CIELAB-Buntton $h^* = lab^*h^* = h_{ab}/360 = 329/360 = 0.913$ $u^* = b50r$ $LAB^*cmyn'^*$

Daten für jede Farbe: lab^*tch^* und lab^*icu^*

Elementar-Buntkontext: $u^* = b50r$

Kontrastreduzierungsfaktor: $c_R = 1.0$

Dreiecks-Helligkeit t^*

Daten für Maximalfarbe (Ma): $LAB^*LAB^*_{Ma}$: 38 47 −27; $LAB^*LCH^*_{Ma}$: 38 55 329; $lab^*rgb^*_{Ma}$: 1.0 0.0 1.0; $lab^*olv^*_{Ma}$: 0.46 0.0 1.0

%Umfang $u^*_{rel} = 89$; %Regularität $g^*_{H,rel} = 72$; $g^*_{C,rel} = 57$

ORS19_96a; CIELAB-Daten

	$L^*=L^*$	a^*	b^*	C^*_{ab}	h^*_{ab}
O_M	48.75	65.16	40.76	76.86	32
Y_M	90.92	−10.77	89.36	90.01	97
L_M	52.69	−65.39	22.15	69.05	161
C_M	59.61	−29.03	−44.68	53.3	237
V_M	28.39	24.0	−43.17	49.4	299
M_M	49.58	74.01	−8.21	74.47	354
N_M	18.89	0.5	0.77	0.92	57
W_M	96.9	−0.56	2.23	2.3	104
R_{CIE}	39.92	58.74	27.99	65.07	25
J_{CIE}	81.26	−2.88	71.56	71.62	92
C_{CIE}	52.23	−42.41	13.6	44.55	162
B_{CIE}	30.57	1.41	−46.46	46.49	272

ORS19_96a; adaptierte CIELAB-Daten

	$L^*=L^*_a$	a^*_a	b^*_a	$C^*_{ab,a}$	$h^*_{ab,a}$
r00	48.88	66.47	31.67	73.63	25
r25	55.85	52.39	47.48	70.7	42
r50	65.45	35.22	58.37	68.17	59
r75	75.19	17.82	69.41	71.66	76
g00	87.03	−3.34	82.83	82.9	92
g25	80.72	−25.0	69.5	73.86	110
g50	70.64	−39.53	51.97	65.3	127
g75	61.93	−52.09	36.83	63.8	145
g00b	52.8	−65.27	20.93	68.56	162
g25b	55.7	−49.57	−8.38	50.28	190
g50b	57.82	−38.39	−28.91	48.07	217
g75b	55.5	−22.04	−45.94	50.97	244
b00r	41.6	1.37	−45.0	45.03	272
b25r	29.0	25.08	−43.12	49.89	300
b50r	38.04	46.53	−28.38	54.51	329
b75r	49.48	72.88	−3.75	72.98	357

Ein und Ausgabe: Farbmetrisches Drucker-Reflektiv-System ORS19_96a für relativen CIELAB-Buntton $h^* = lab^*h^* = h_{ab}/360 = 357/360 = 0.992$ $u^* = b75r$ $LAB^*cmyn'^*$

Daten für jede Farbe: lab^*tch^* und lab^*icu^*

Elementar-Buntkontext: $u^* = b75r$

Kontrastreduzierungsfaktor: $c_R = 1.0$

Dreiecks-Helligkeit t^*

Daten für Maximalfarbe (Ma): $LAB^*LAB^*_{Ma}$: 49 73 −3; $LAB^*LCH^*_{Ma}$: 49 73 357; $lab^*rgb^*_{Ma}$: 1.0 0.0 0.5; $lab^*olv^*_{Ma}$: 1.0 0.0 0.88

%Umfang $u^*_{rel} = 89$; %Regularität $g^*_{H,rel} = 72$; $g^*_{C,rel} = 57$

ORS19_96a; CIELAB-Daten

	$L^*=L^*$	a^*	b^*	C^*_{ab}	h^*_{ab}
O_M	48.75	65.16	40.76	76.86	32
Y_M	90.92	−10.77	89.36	90.01	97
L_M	52.69	−65.39	22.15	69.05	161
C_M	59.61	−29.03	−44.68	53.3	237
V_M	28.39	24.0	−43.17	49.4	299
M_M	49.58	74.01	−8.21	74.47	354
N_M	18.89	0.5	0.77	0.92	57
W_M	96.9	−0.56	2.23	2.3	104
R_{CIE}	39.92	58.74	27.99	65.07	25
J_{CIE}	81.26	−2.88	71.56	71.62	92
C_{CIE}	52.23	−42.41	13.6	44.55	162
B_{CIE}	30.57	1.41	−46.46	46.49	272

ORS19_96a; adaptierte CIELAB-Daten

	$L^*=L^*_a$	a^*_a	b^*_a	$C^*_{ab,a}$	$h^*_{ab,a}$
r00	48.88	66.47	31.67	73.63	25
r25	55.85	52.39	47.48	70.7	42
r50	65.45	35.22	58.37	68.17	59
r75	75.19	17.82	69.41	71.66	76
g00	87.03	−3.34	82.83	82.9	92
g25	80.72	−25.0	69.5	73.86	110
g50	70.64	−39.53	51.97	65.3	127
g75	61.93	−52.09	36.83	63.8	145
g00b	52.8	−65.27	20.93	68.56	162
g25b	55.7	−49.57	−8.38	50.28	190
g50b	57.82	−38.39	−28.91	48.07	217
g75b	55.5	−22.04	−45.94	50.97	244
b00r	41.6	1.37	−45.0	45.03	272
b25r	29.0	25.08	−43.12	49.89	300
b50r	38.04	46.53	−28.38	54.51	329
b75r	49.48	72.88	−3.75	72.98	357